



Eine vom Bund und den Ländern gemeinsam getragene Anstalt des öffentlichen Rechts

Europäische Technische Bewertungsstelle für Bauprodukte



Europäische Technische Bewertung

ETA-17/0196 vom 15. September 2025

Allgemeiner Teil

Technische Bewertungsstelle, die die Europäische Technische Bewertung ausstellt

Handelsname des Bauprodukts

Produktfamilie, zu der das Bauprodukt gehört

Hersteller

Herstellungsbetrieb

Diese Europäische Technische Bewertung enthält

Diese Europäische Technische Bewertung wird ausgestellt gemäß der Verordnung (EU) Nr. 305/2011, auf der Grundlage von

Diese Fassung ersetzt

Deutsches Institut für Bautechnik

Injektionssystem HB-VMU plus für Mauerwerk

Metall-Injektionsdübel zur Verankerung im Mauerwerk

Leviat GmbH Liebigstraße 14 40764 Langenfeld DEUTSCHLAND

Leviat Herstellwerke HB1, HB3

81 Seiten, davon 3 Anhänge, die fester Bestandteil dieser Bewertung sind.

EAD 330076-01-0604, Edition 10/2022

ETA-17/0196 vom 10. März 2017

DIBt | Kolonnenstraße 30 B | D-10829 Berlin | Tel.: +49 30 78730-0 | Fax: +49 30 78730-320 | E-Mail: dibt@dibt.de | www.dibt.de Z208597.25



Seite 2 von 81 | 15. September 2025

Die Europäische Technische Bewertung wird von der Technischen Bewertungsstelle in ihrer Amtssprache ausgestellt. Übersetzungen dieser Europäischen Technischen Bewertung in andere Sprachen müssen dem Original vollständig entsprechen und müssen als solche gekennzeichnet sein.

Diese Europäische Technische Bewertung darf, auch bei elektronischer Übermittlung, nur vollständig und ungekürzt wiedergegeben werden. Nur mit schriftlicher Zustimmung der ausstellenden Technischen Bewertungsstelle kann eine teilweise Wiedergabe erfolgen. Jede teilweise Wiedergabe ist als solche zu kennzeichnen.

Die ausstellende Technische Bewertungsstelle kann diese Europäische Technische Bewertung widerrufen, insbesondere nach Unterrichtung durch die Kommission gemäß Artikel 25 Absatz 3 der Verordnung (EU) Nr. 305/2011.



Seite 3 von 81 | 15. September 2025

Besonderer Teil

1 Technische Beschreibung des Produkts

Der "Injektionssystem HB-VMU plus für Mauerwerk" ist ein Verbunddübel (Injektionstyp), der aus einer Mörtelkartusche mit Injektionsmörtel HB-VMU plus oder HB-VMU plus Polar, einer Siebhülse und einer Gewindestange mit Sechskantmutter und Unterlegscheibe oder einer Innengewindeankerstange besteht. Die Stahlteile bestehen aus verzinktem Stahl, nichtrostendem Stahl oder hochkorrosionsbeständigem Stahl.

Die Ankerstange wird in ein mit Injektionsmörtel gefülltes Bohrloch gesetzt und durch den Verbund und/oder Formschluss zwischen Stahlteil, Injektionsmörtel und Mauerwerk verankert. Die Produktbeschreibung ist in Anhang A angegeben.

2 Spezifizierung des Verwendungszwecks gemäß dem anwendbaren Europäischen Bewertungsdokument

Von den Leistungen in Abschnitt 3 kann nur ausgegangen werden, wenn der Dübel entsprechend den Angaben und Bedingungen nach Anhang B verwendet wird.

Die Prüf- und Bewertungsmethoden, die dieser Europäischen Technischen Bewertung zu Grunde liegen, führen zur Annahme einer Nutzungsdauer des Dübels von mindestens 50 Jahren. Die Angabe zur Nutzungsdauer kann nicht als Garantie des Herstellers ausgelegt werden, sondern ist lediglich ein Hilfsmittel zur Auswahl des richtigen Produkts in Bezug auf die erwartete wirtschaftlich angemessene Nutzungsdauer des Bauwerks.

3 Leistung des Produkts und Angaben der Methoden ihrer Bewertung

3.1 Mechanische Festigkeit und Standsicherheit (BWR 1)

Wesentliches Merkmal	Leistung
Charakteristischer Widerstand für statische und quasistatische Einwirkungen	Siehe Anhang B6, B7 C1 bis C60
Charakteristischer Widerstand und Verschiebungen für seismische Einwirkung	Leistung nicht bewertet

3.2 Brandschutz (BWR 2)

Wesentliches Merkmal	Leistung
Brandverhalten	Klasse A1
Feuerwiderstand unter Zug- und Querbeanspruchung mit und ohne Hebelarm. Minimale Achs- und Randabstände	Siehe Anhang C4, C9, C10, C15, C16, C19, C21, C22, C23, C40, C42, C47, C48, C49, C50, C55 und C56

3.3 Hygiene, Gesundheit und Umweltschutz (BWR 3)

Wesentliches Merkmal	Leistung
Inhalt, Emission und/oder Freisetzung von gefährlichen Stoffen	Leistung nicht bewertet



Seite 4 von 81 | 15. September 2025

4 Angewandtes System zur Bewertung und Überprüfung der Leistungsbeständigkeit mit der Angabe der Rechtsgrundlage

Gemäß dem Europäischen Bewertungsdokument EAD 330076-01-0604 gilt folgende Rechtsgrundlage: [97/177/EG].

Folgendes System ist anzuwenden: 1

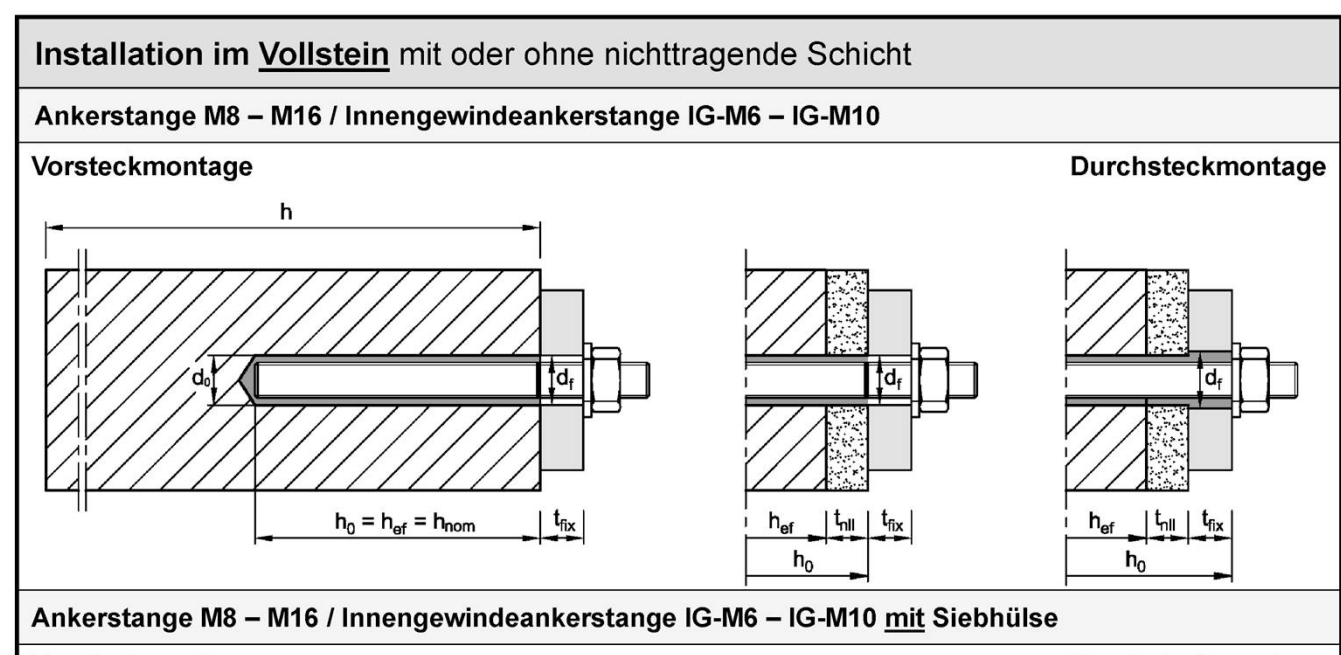
Für die Durchführung des Systems zur Bewertung und Überprüfung der Leistungsbeständigkeit erforderliche technische Einzelheiten gemäß anwendbarem Europäischen Bewertungsdokument

Technische Einzelheiten, die für die Durchführung des Systems zur Bewertung und Überprüfung der Leistungsbeständigkeit notwendig sind, sind Bestandteil des Prüfplans, der beim Deutschen Institut für Bautechnik hinterlegt ist.

Ausgestellt in Berlin am 15. September 2025 vom Deutschen Institut für Bautechnik

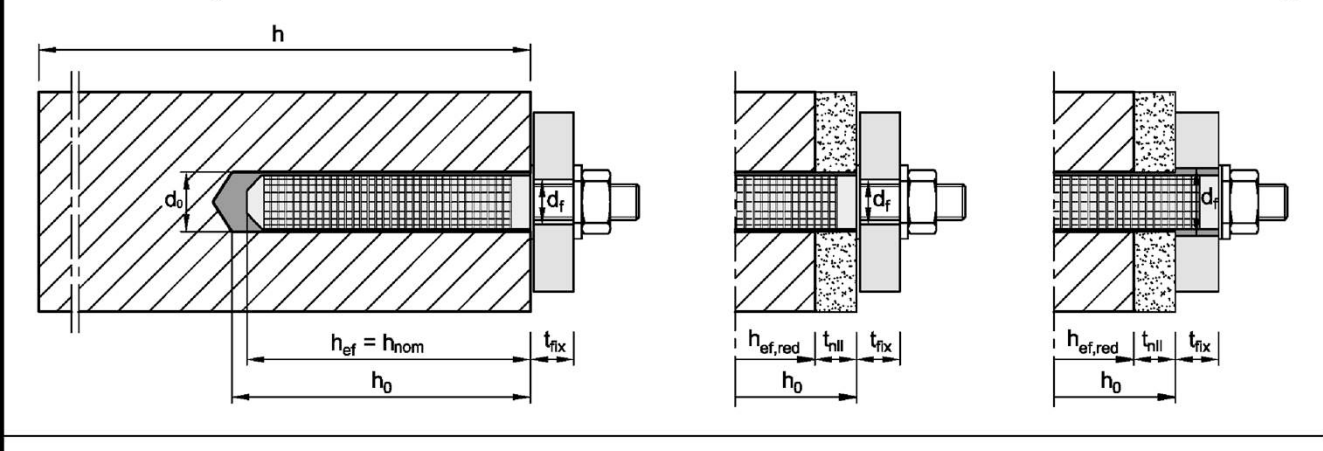
Dipl.-Ing. Beatrix Wittstock Referatsleiterin Beglaubigt Baderschneider





Vorsteckmontage

Durchsteckmontage



Bei Durchsteckmontage muss der Ringspalt zwischen Ankerstange und Anbauteil mit Mörtel verfüllt sein.

Legende (Anhang A1 und Anhang A2):

h_{ef} = effektive Verankerungstiefe

h_{nom} = nominelle Verankerungstiefe

h₀ = Bohrlochtiefe h = Bauteildicke

d₀ = Bohrlochdurchmesser

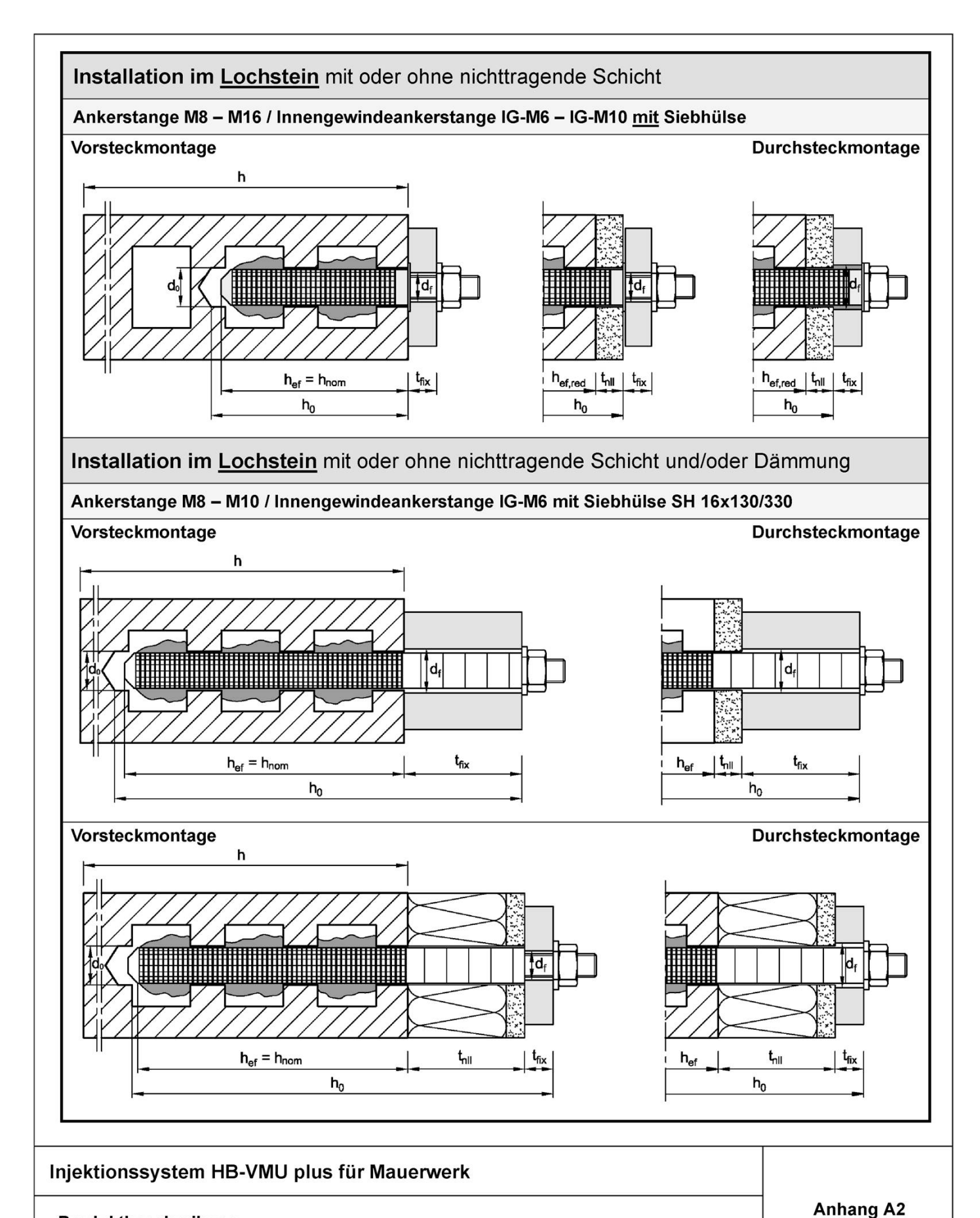
d_f = Durchgangsloch im Anbauteil

t_{fix} = Dicke des Anbauteils

 t_{nll} = Dicke der nichttragenden Schicht



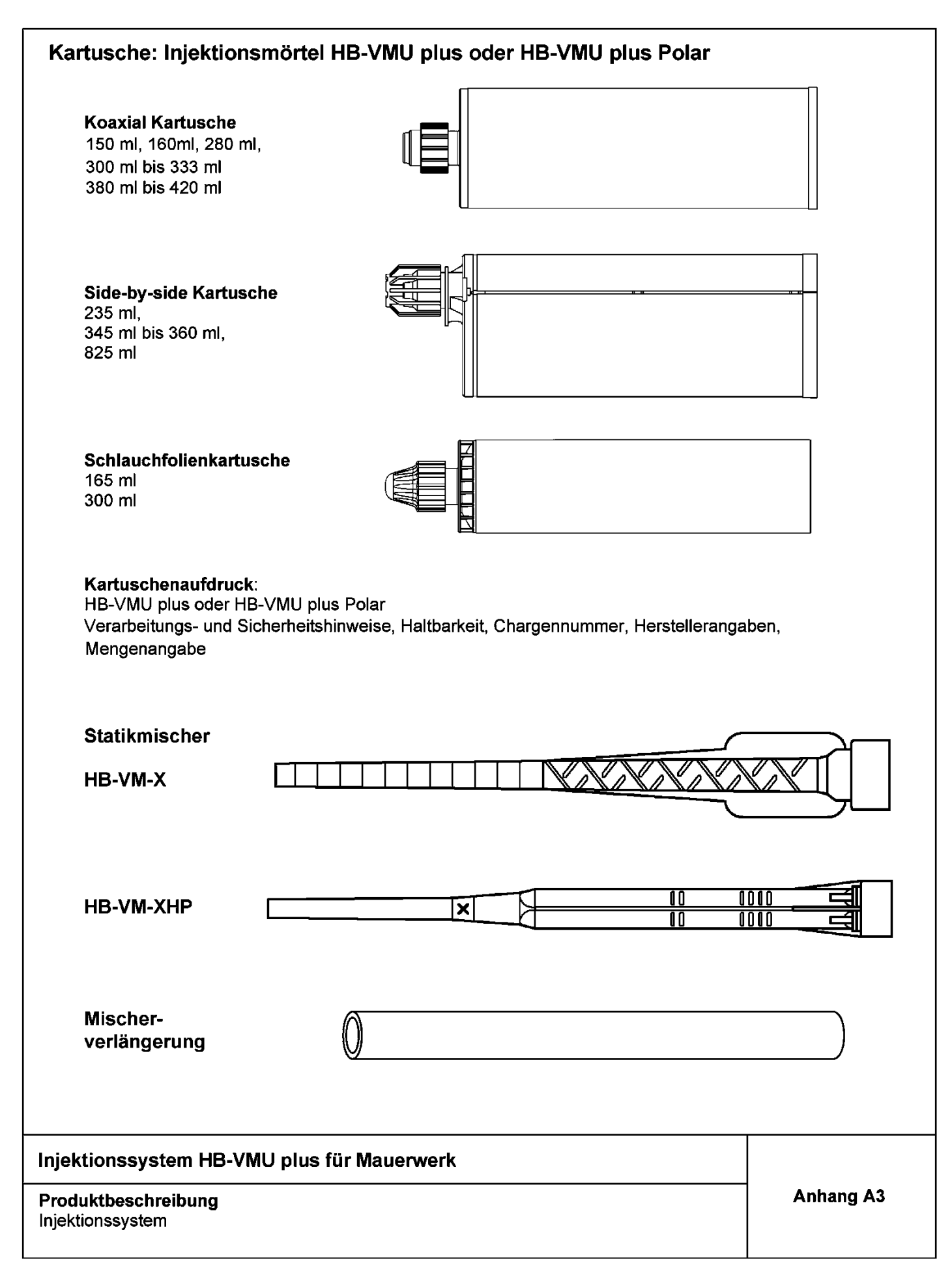




ProduktbeschreibungEinbauzustand - Lochstein

8.06.04-163/25



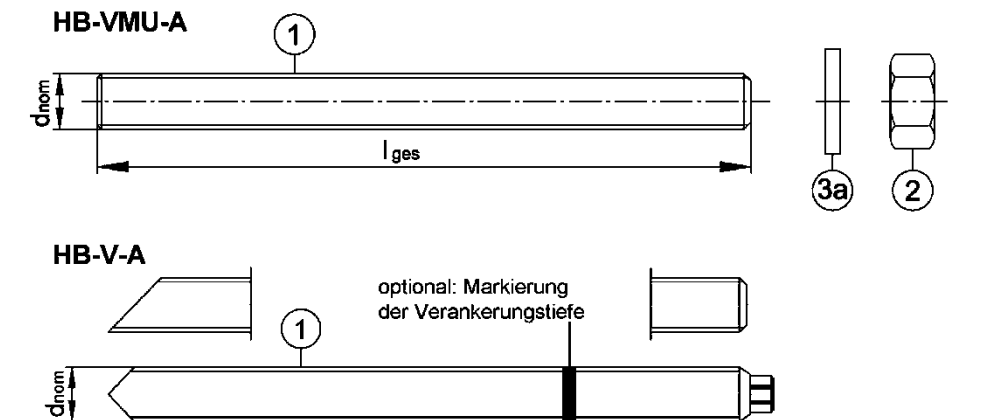




Ankerstangen

Ankerstangen HB-VMU-A und HB-V-A

M8, M10, M12, M16 (verzinkt, A4, HCR) mit Unterlegscheibe und Sechskantmutter



Prägung z.B.: ♦ M10

Werkzeichen
M10 Gewindegröße

zusätzliche Kennung:

-8 Festigkeitsklasse 8.8A4 nichtrostender Stahl

HC hochkorrosionsbeständiger

Stahl

Ankerstange HB-VM-A (Meterware zum Ablängen)

M8, M10, M12, M16 (verzinkt, A2, A4, HCR)

- Werkstoff, Abmessungen und mechanische Eigenschaften gemäß Tabelle A1

Handelsübliche Gewindestangen

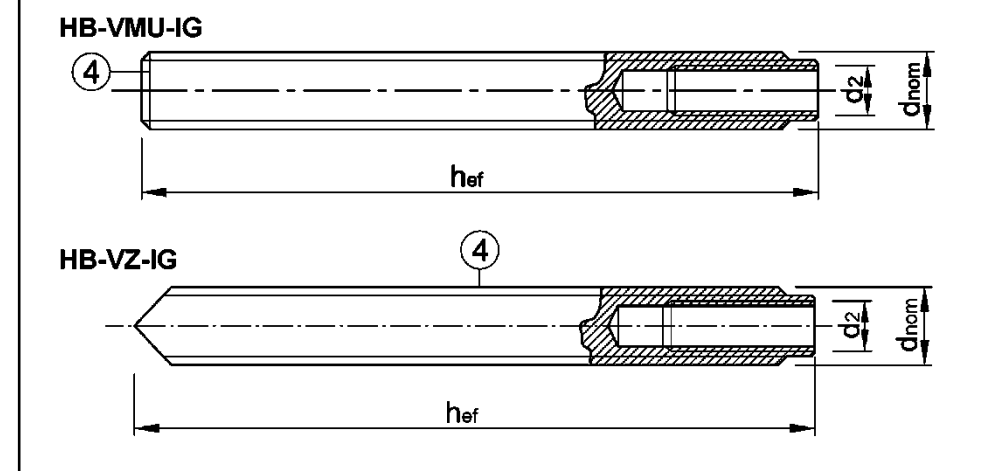
M8, M10, M12, M16 (verzinkt, A2, A4, HCR)

- Werkstoff, Abmessungen und mechanische Eigenschaften gemäß Tabelle A1
- Abnahmeprüfzeugnis 3.1 gemäß EN 10204:2004 (Dokumente sind aufzubewahren)

Innengewindeankerstange HB-VMU-IG und HB-VZ-IG

IG M6. IG M8. IG M10

(verzinkt, A4, HCR)



Prägung z.B.: ♦ M8

Werkzeichen

I Innengewinde (optional)

M8 Gewindegröße (Innengewinde)

zusätzliche Kennung:

-8 Festigkeitsklasse 8.8A4 nichtrostender Stahl

HCR hochkorrosionsbeständiger

Stahl

Injektionssystem HB-VMU plus für Mauerwerk

Produktbeschreibung

Ankerstangen und Innengewindeankerstangen

Anhang A4



Tabelle A1: Werkstoffe

Teil	Benennung		Werkstoffe und mechanische Eigenschaften						
galva feuer	, verzinkt nisch verzinkt verzinkt ionsverzinkt	≥ 5 µm gemä ≥ 50 µm im Mit ≥ 45 µm gemä	ttel gemäß l	EN ISO	1461:2022	, EN ISC	10684:2004	+AC:2009 oder	
		Festigkeits- klasse	Charakteristische Zugfestigkeit Charakteristische Streckgrenze				Bruch- dehnung	EN ISO 683-4:2018,	
		4.6		400		240	A ₅ > 8 %	EN 10263:2017	
1	Ankerstange	4.8		400		320	A ₅ > 8 %	handelsübliche	
		5.6	f _{uk} [N/mm²]	500	f _{yk} [N/mm²]	300	A ₅ > 8 %	Gewindestangen:	
		5.8	[14/11111]	500	[13/11111]	400	A ₅ > 8 %	EN ISO 898-1:2013	
		8.8		800		640	A ₅ > 8 %		
		4	für Ankers	tangen (der Klasse	4.6, 4.8			
2	Sechskantmutter	5	für Ankers	tangen (der Klasse	4.6, 4.8,	5.6, 5.8	EN ISO 898-2:2022	
		8	für Ankers	tangen (der Klasse	4.6, 4.8,	5.6, 5.8, 8.8		
3	Unterlegscheibe		z.B.: EN ISO 7089:2000, EN ISO 7093:2000, EN ISO 7094:2000, EN ISO 887:2006						
4	Innengewinde- ankerstange ³⁾	5.8 8.8	Stahl, galv		EN ISO 683-4:2018				
Nicht	rostender Stahl A rostender Stahl A korrosionsbestä	۸4	С	RC III (1		404 / 1.4	311 / 1.4567 571 / 1.4578		
		Festigkeits- klasse	Charakteri Zugfesti		Charakte Strecks		Bruch- dehnung		
١,	A 1	50		500		210	A ₅ > 8%	EN 10088-1:2014	
1	Ankerstange	70	f _{uk} [N/mm²]	700	f _{yk} [N/mm²]	450 (560) ²⁾	A ₅ > 8 %	EN ISO 3506-1:2020	
		80		800		600 (640) ²⁾	A ₅ > 8 %		
		50	für Ankers	tangen (der Klasse	50		EN 10088-1:2014	
2	Sechskantmutter	70	für Ankers		EN ISO 3506-2:2020				
		80	für Ankerstangen der Klasse 50, 70, 80						
3	Unterlegscheibe		z.B.: EN ISO 7089:2000, EN ISO 7093:2000, EN ISO 7094:2000; EN ISO 887:2006					EN 10088-1:2014	
4	Innengewinde- ankerstange ³⁾	70	nichtrostender Stahl A4; hochkorrosionsbest. Stahl HCR					EN 10088-1:2014	
Siebhülse HB-VM-SH Polyprophylen (PP)									

³⁾ Bei HB-VMU-IG bzw. HB-VZ-IG müssen die verwendeten Schrauben oder Gewindestangen (inkl. Mutter und Unterlegscheibe) mindestens dem Material und der Festigkeitsklasse der Ankerstange entsprechen.

Injektionssystem HB-VMU plus für Mauerwerk	
Produktbeschreibung Werkstoffe	Anhang A5

¹⁾ Festigkeitsklasse 50 und 70 2) Wert in Klammern für HB-VMU-A und HB-V-A



Tabelle A2: Abmessungen der Ankerstangen und Innengewindeankerstangen

Ankerstangen			M8	M10	M12	M16
Durchmesser	$d = d_{nom}$	[mm]	8	10	12	16
Gesamtlänge I _{ges} [mm]		h_{ef} + t_{fix} + 9,5	h _{ef} + t _{fix} + 11,5	h _{ef} + t _{fix} + 17,5	$h_{ef} + t_{fix} + 20,0$	
Innengewindeankerstange		•	IG M6	IG M8	IG M10	
Innendurchmesser	d_2	[mm]	-	6	8	10
Außendurchmesser	$d = d_{nom}$	[mm]	ī	10	12	16
min. Einschraubtiefe	$L_{IG,min}$	[mm]	Ī	8	10	10
Gesamtlänge	I _{ges}	[mm]	-	mit Siebhülse: h _{ef} – 5mm ohne Siebhülse: h _{ef}		

Tabelle A3: Abmessungen der Siebhülsen HB-VM-SH

Тур	Größe	d _s [mm]	L _s	$h_{ef} = h_{nom}$ [mm]
$L_s = h_{ef} = h_{nom}$	HB-VM-SH 12x80	12	80	80
ds	HB-VM-SH 16x85	16	85	85
	HB-VM-SH 20x85	20	85	85
L _s = h _{ef} = h _{nom}	HB-VM-SH 16x130	16	130	130
ds	HB-VM-SH 20x130	20	130	130
	HB-VM-SH 20x200	20	200	200
L _s h _{ef} = h _{nom} d _s zur Montage durch bis zu 20cm Wärmedämmung oder zur Durchsteckmontage	HB-VM-SH 16x130/330 ¹⁾	16	330	130

¹⁾ Im Anhang C ist diese Siebhülse mit der HB-VM-SH 16x130 abgedeckt

Injektionssystem HB-VMU plus für Mauerwerk	
Produktbeschreibung Abmessungen der Ankerstangen und Siebhülsen	Anhang A6



Spezifizierung des Verwendungszwecks

Beanspruchung der	Statische und quasi-	statische Lasten	M8 – M16			
Verankerung	Brandeinwirkung		IG M6 – IG M10			
	Zug- und Querlast		(mit und ohne Siebhülse)			
Verankerungsgrund	Mauerwerksgruppe k	: Vollsteine	Anhang B 3			
	Mauerwerksgruppe o	: Hohl- und Lochsteine	Anhang B 3 bis B 5			
	Mauerwerksgruppe o	: Porenbeton	Anhang B 3			
	Bei anderen Steinen Porenbeton darf die Baustellenversuche	in Vollsteinmauerwerk, Lo charakteristische Tragfähi entsprechend EOTA TR 0	ns M2,5 gemäß EN 998-2:2016 ochsteinmauerwerk oder in gkeit des Dübels durch 53, Fassung Juli 2022 unter C1, Tabelle C1 ermittelt werden.			
Temperaturbereich	T _a : - 40°C bis +40°C (max. Kurzzeittemperatur +40°C und max. Langzeittemperatur +24°C) T _b : - 40°C bis +80°C (max. Kurzzeittemperatur +80°C und max. Langzeittemperatur +50°C) T _o : - 40°C bis +120°C (max. Kurzzeittemperatur +120°C und max. Langzeittemperatur +72°C)					
Bohrlocherstellung	Siehe Anhang C					
Anwendungsbedingungen (Umweltbedingungen):	Bauteile unter den Bedingungen trockener Innenräume (alle Materialien). Für alle anderen Bedingungen entsprechend EN 1993-1-4:2006+A2:2020 Korrosionsbeständigkeitsklasse Tabelle A1 (nichtrostende und hochkorrosionsbeständige Stähle)					
Nutzungsbedingungen	Bedingung d/d Bedingung w/w Bedingu					

Bemerkung: Der charakteristische Widerstand für Vollsteine und Porenbetonsteine gilt auch für größere Steindurchmesser und höhere Steindruckfestigkeiten.

Injektionssystem HB-VMU plus für Mauerwerk	
Verwendungszweck Spezifikationen	Anhang B1



Spezifizierung des Verwendungszwecks

Bemessung:

- Unter Berücksichtigung des Mauerwerks im Verankerungsbereich, der zu verankernden Lasten und der Weiterleitung der Lasten sind prüfbare Berechnungen und Konstruktionszeichnungen anzufertigen. Auf den Konstruktionszeichnungen ist die Lage des Dübels anzugeben
- Die Bemessung der Verankerungen erfolgt gemäß EOTA TR 054, Fassung Juli 2022, unter der Verantwortung eines auf dem Gebiet der Verankerungen und des Mauerwerksbaus erfahrenen Ingenieurs
- Gültig für alle Steine, falls keine anderen Werte spezifiziert sind:
 - $N_{Rk} = N_{Rk,b} = N_{Rk,p} = N_{Rk,b,c} = N_{Rk,p,c}$
 - $V_{Rk} = V_{Rk,b} = V_{Rk,c,II} = V_{Rk,c,\perp}$
- Für die Berechnung für das Herausziehen eines Steines unter Zugbeanspruchung NRK,pb oder das Herausdrücken eines Steines unter Querbeanspruchung VRk,pb siehe EOTA Technical Report TR 054, Fassung Juli 2022.
- NRk,s, VRk,s und M⁰Rk,s siehe Anhang C2 C4.
- Bei Anwendungen mit Siebhülse mit Bohrlochdurchmessern ≤15mm, installiert in nichtgefüllte Fugen:
 - NRk,p,j = 0,18 * NRk,p und NRk,b,j = 0,18 * NRk,b (NRk,p = NRk,b siehe Anhang C)
 - VRk,c,j = 0,15 * VRk,c und VRk,b,j = 0,15 * VRk,b (VRk,b siehe Anhang C; VRk,c siehe Anhang C5)
- Anwendungen ohne Siebhülse installiert in nichtgefüllte Fugen sind nicht erlaubt.

Einbau:

- · Einbau durch entsprechend geschultes Personal unter Aufsicht des Bauleiters
- Bei Verwendung von Ankerstangen mit Innengewinde (HB-VMU-IG bzw. HB-VZ-IG) müssen Schrauben oder Gewindestangen (inkl. Mutter und Unterlegscheibe) dem Material und der Festigkeitsklasse der Ankerstange entsprechen.

Injektionssystem HB-VMU plus für Mauerwerk

Verwendungszweck
Spezifikationen

Anhang B2



Bezeichnung Rohdichte [kg/dm³] Maße LxBxH [mm]	Foto	Siebhülse HB-VM-SH	Brand- widerstände	Anhang	Bezeichnung Rohdichte [kg/dm³] Maße LxBxH [mm]	Foto	Siebhülse HB-VM-SH	Brand- widerstände	Anhang
Porenbeto	n gemäß EN 771-4	:2011+A1:	2015		Leichtbetonvo	Ilstein gemäß EN	771-3:201	1+A1	:2015
AAC ρ = 0,35-0,60 ≥ 499x240x249		12x80 16x85 16x130 20x85 20x130 20x200	_	C6 - C8	VBL ρ≥0,6 ≥240x300x113		12x80 16x85 16x130 20x85 20x130 20x200	_	C59 - C60
	Leicht	betonloch	stein	e gemä	iß EN 771-3:2011	+A1:2015			
HBL 16DF ρ≥1,0 500x250x240		16x85 16x130 20x85 20x130 20x200	✓	C55 - C56	Bloc creux B40 ρ ≥ 0,8 495x195x190	EE	16x130 20x130	_	C57 - C58
	Kal	ksandste	ine ge	emäß E	N 771-2:2011+A	1:2015			
KS-NF ρ ≥ 2,0 ≥ 240x115x71		12x80 16x85 16x130 20x85 20x130 20x200	✓	C9 - C10	KSL-3DF ρ ≥ 1,4 240x175x113	***	16x85 16x130 20x85 20x130	1	C11 - C12
KSL-8DF ρ≥ 1,4 248x240x238		16x130 20x130 20x200	_	C13 - C14	KSL-12DF ρ≥1,4 498x175x238		16x130 20x130	~	C15
		Vollziege	l gem	äß EN	771-1:2011+A1:2	2015			
MZ-1DF ρ ≥ 2,0 ≥ 240x115x55		12x80 16x85 16x130 20x85 20x130 20x200	-	C17 - C18	MZ – 2 DF ρ ≥ 2,0 ≥ 240x115x113		12x80 16x85 16x130 20x85 20x130 20x200	✓	C19 - C21

Injektionssystem HB-VMU plus für Mauerwerk	
Verwendungszweck Steintyp und Eigenschaften	Anhang B3



Bezeichnung Rohdichte [kg/dm³] Maße LxBxH [mm]	Foto	Siebhülse HB-VM-SH	Brand- widerstände	Anhang	Bezeichnung Rohdichte [kg/dm³] Maße LxBxH [mm]	Foto	Siebhülse HB-VM-SH	Brand- widerstände	Anhand
* *		_ ~ _			l 771-1:2011+A1	:2015	37 <u>T</u>		
HIz-10DF ρ≥1,25 300x240x249		12x80 16x85 16x130 20x85 20x130 20x200	✓	C22 - C23	Porotherm Homebric ρ≥0,7 500x200x299		12x80 16x85 16x130 20x85 20x130	_	C2 - C2
BGV Thermo ρ ≥ 0,6 500x200x314		12x80 16x85 16x130 20x85 20x130	_7	C26 - C27	Brique creuse C40 ρ≥0,7 500x200x200		12x80 16x85 16x130 20x85 20x130	-	C3 - C3
Calibric R+ ρ ≥ 0,6 500x200x314		12x80 16x85 16x130 20x85 20x130	_	C28 - C29	Blocchi Leggeri ρ≥0,6 250x120x250		12x80 16x85 16x130 20x85 20x130	_	C3
Urbanbric ρ ≥ 0,7 560x200x274		12x80 16x85 16x130 20x85 20x130	_	C30 - C31	Doppio Uni ρ≥0,9 250x120x120		12x80 16x85 16x130 20x85 20x130	_	C3
	Lochziege	el mit Wär	medä	mmun	g gemäß EN 771	-1:2011+A1:2015			
Coriso WS07 ρ ≥ 0,55 248x365x249 Mineralwolle		12x80 16x85 16x130 20x85 20x130 20x200	_	C38 - C39	T8P ρ ≥ 0,56 248x365x249 Perlite		12x80 16x85 16x130 20x85 20x130 20x200	_	C4 - C4
T7MW ρ ≥ 0,59 248x365x249 Mineralwolle		12x80 16x85 16x130 20x85 20x130 20x200	✓	C40 - C42	MZ90-G ρ ≥ 0,68 248x365x249 Mineralwolle		12x80 16x85 16x130 20x85 20x130 20x200	I	C4

Injektionssystem HB-VMU plus für Mauerwerk	Anhana B4
Verwendungszweck Steintyp und Eigenschaften	- Anhang B4



Fortsetzung Tabelle B1: Übersicht der Mauersteine und Eigenschaften

Bezeichnung Rohdichte [kg/dm³] Maße LxBxH [mm]	Foto	Siebhülse HB-VM-SH	Brand- widerstände	Anhang	Bezeichnung Rohdichte [kg/dm³] Maße LxBxH [mm]	Foto	Siebhülse HB-VM-SH	Brand- widerstände	Anhang
	Lochziege	l mit Wärr	nedär	nmung	gemäß EN 771	-1:2011+A1:2015			
Poroton FZ7,5 ρ ≥ 0,90 248x365x249 Mineralwolle		12x80 16x85 16x130 20x85 20x130 20x200	✓	C47 - C48	Poroton FZ9 ρ ≥ 0,90 248x365x249 Mineralwolle	1 2 2 2 2 2 2 2 2 2 2 2 2 2 2 2 2 2 2 2	12x80 16x85 16x130 20x85 20x130 20x200	*	C49 - C50
Poroton S9 ρ ≥ 0,85 248x365x249 Perlite		12x80 16x85 16x130 20x85 20x130 20x200	_	C51 - C52	Thermopor TV8+ ρ ≥ 0,7 248x365x249 Mineralwolle		12x80 16x85 16x130 20x85 20x130 20x200	1	C53 - C54

Verwendungszweck Steintyp und Eigenschaften **Anhang B5**



Tabelle B2: Montagekennwerte für Porenbeton AAC und Vollstein (<u>ohne</u> Siebhülse) bei Vor- und Durchsteckmontage

Ankerstange				M8	M10 IG-M6	M12 IG-M8	M16 IG-M10		
Bohrernenndur	chmesser	d₀	[mm]	10	12	14	18		
Bohrlochtiefe		h ₀	[mm]		h _{ef}	+ t _{fix} 1)			
Effektive Verar	nkerungstiefe	h _{ef}	[mm]	80	≥ 90	≥ 100	≥ 100		
Durchgangs-	Vorsteck- montage	d _f ≤	[mm]	9	7 (IG-M6) 12 (M10)	9 (IG-M8) 14 (M12)	12 (IG-M10) 18 (M16)		
Anbauteil	Durchsteck- montage	d₁≤	[mm]	12	14	16	20		
Reinigungsbür	ste		[-]	HB-RB 10	HB-RB 12	HB-RB 14	HB-RB 18		
Min. Bürstendu	ırchmesser	d♭	[mm]	10,5	12,5	14,5	18,5		
Max. Montageo	Max. Montagedrehmoment Tinst [1			siehe Anhang C					
Minimale Bauteildicke h _{min}		[mm]		h _{ef} + 30					
Minimaler Achsabstand s _{min} [m			[mm]	siehe Anhang C					
Minimaler Ran	dabstand	Cmin	[mm]		siehe Anhang C				

¹⁾ Bei der Durchsteckmontage t_{fix} berücksichtigen

Tabelle B3: Montagekennwerte in Voll- und Lochstein (<u>mit</u> Siebhülse) bei Vorsteckmontage

Ankerstange			M8	M8 / M10 IG-M6			M12 / M16 IG-M8 / IG-M10		
Siebhülse HB-VM-SH	Siebhülse HB-VM-SH			16x85	16x130	16x130 /330	20x85	20x130	20x200
Bohrernenndurchmesser	d o	[mm]	12		16			20	
Bohrlochtiefe	h o	[mm]	85	90	135	330	90	135	205
Effektive Verankerungstiefe	h _{ef}	[mm]	80	85	130	130	85	130	200
Durchgangsloch im Anbauteil	d _f ≤	[mm]	9	7 (IG-M6) 9 (IG-M 9 (M8) 12 (IG-M 12 (M10) 14 (M12) 18 (M16)		M10) 2)			
Reinigungsbürste	Reinigungsbürste [-		HB-RB 12	HB-RB 16		HB-RB 20			
Min. Bürstendurchmesser	dь	[mm]	12,5		16,5		20,5		
Max. Montagedrehmoment	Max. Montagedrehmoment T _{inst} [Nm			siehe Anhang C					
Minimale Bauteildicke	Ninimale Bauteildicke h _{min} [mm] 115 11		115	195	195	115	195	240	
Minimaler Achsabstand	Minimaler Achsabstand s _{min} [mm]		siehe Anhang C						
Minimaler Randabstand	C _{min}	[mm]		siehe Anhang C					

Injektionssystem HB-VMU plus für Mauerwerk	
Verwendungszweck Montagekennwerte	Anhang B6



Tabelle B4: Montagekennwerte in Voll- und Lochstein (<u>mit</u> Siebhülse) bei Vorsteckmontage durch nichttragende Schichten und/oder Durchsteckmontage

Ankerstange				M8 / M10 M12 / M16 IG-M6 IG-M8 / IG-M1			
Siebhülse HB-VI	M-SH			16x130	16x130/330	20x130	20x200
Bohrernenndurch	messer	d ₀	[mm]	1	6	2	0
Bohrlochtiefe		h o	[mm]		h _{ef} + 5mm	+ t_{nll} + t_{fix} 1)	
Effektive Verankerungs-	Vorsteck- montage	h _{ef}	[mm]	130	130	130	200
tiefe	Durchsteck- montage	h _{ef}	[mm]	85	130	85	85
Maximale Dicke on nichttragenden Se	ma	ıx. t _{nll}	[mm]	45	200	45	115
Durchgangsloch im Anbauteil	Vorsteck- montage	d _f ≤	[mm]	7 9 12	(IG-M6) (M8) (M10)	9 12 14 18	(IG-M8) (IG-M10) (M12) (M16)
	Durchsteck- montage	d _f ≤	[mm]	18		22	
Bürste			[-]	HB-RB 16		HB-RB 20	
Min. Bürstendurchmesser d _b		[mm]	16,5		20,5		
Max. Montagedre	Max. Montagedrehmoment T _{inst}		[Nm]	siehe Ar		nhang C	
Minimale Bauteilo	Minimale Bauteildicke h _{min}		[mm]	195 (115)	195	195 (115)	240 (115)
Minimaler Achsabstand s _{min}		[mm]	siehe Anhang C				
Minimaler Randal	bstand	C _{min}	[mm]	siehe Anhang C			

¹⁾ Bei nichttragenden Schichten und/oder Durchsteckmontage t_{fix} und/oder t_{nll} berücksichtigen.

Reinigungs- und Installationszubehör

Druckluftpistole (min 6 bar)



Reinigungsbürste HB-RB



Handausblaspumpe (Volumen ≥ 750 ml)



Bürstenverlängerung



Injektionssystem HB-VMU plus für Mauerwerk

Verwendungszweck

Montagekennwerte und Reinigungs- und Installationszubehör

Anhang B7



Tabelle B5: Verarbeitungs- und Aushärtezeiten – HB-VMU plus

Tom	Temperatur im Verankerungsgrund		Maximale	Minimale Aushärtezeit			
			Verarbeitungszeit	trockener Verankerungsgrund	feuchter Verankerungsgrund		
- 10°C	bis	- 6°C	90 min	24 h	48 h		
- 5°C	bis	- 1°C	90 min	14 h	28 h		
0°C	bis	+ 4°C	45 min	7 h	14 h		
+ 5°C	bis	+ 9°C	25 min	2 h	4 h		
+ 10°C	bis	+ 19°C	15 min	80 min	160 min		
+ 20°C	bis	+ 29°C	6 min	45 min	90 min		
+ 30°C	bis	+ 34°C	4 min	25 min	50 min		
+ 35°C	bis	+ 39°C	2 min	20 min	40 min		
-	+ 40°C		1,5 min	15 min	30 min		
Kartusch	entem	nperatur ¹⁾		+5°C bis +40°C			

¹⁾ Bei Temperaturen im Verankerungsgrund von -10°C bis -6°C muss die Kartuschentemperatur mindestens +15°C betragen.

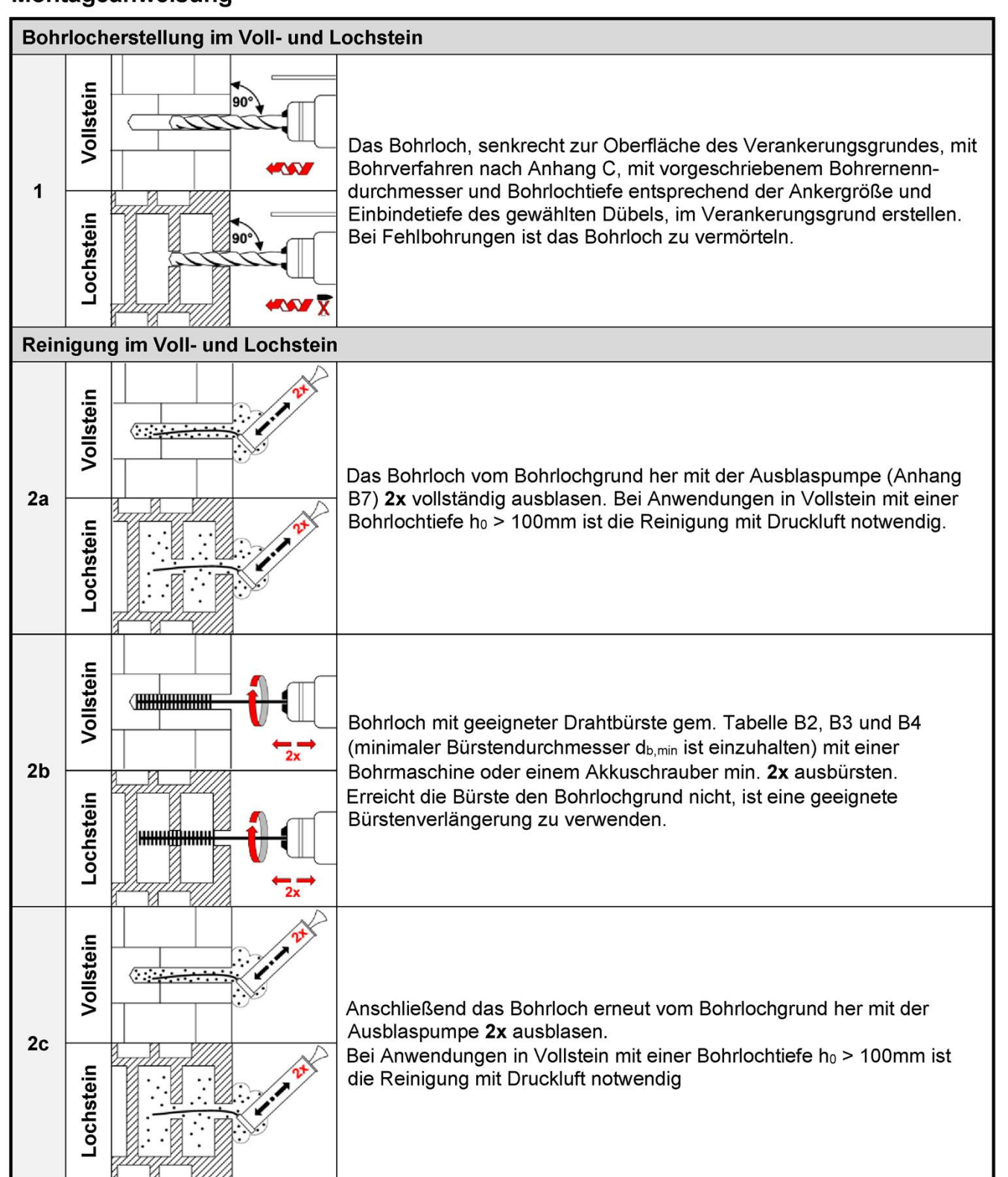
Tabelle B6: Verarbeitungs- und Aushärtezeiten - HB-VMU plus Polar

Tomporatur im	Maximale	Minimale Aushärtezeit				
Temperatur im Verankerungsgrund	Verarbeitungszeit	trockener Verankerungsgrund	feuchter Verankerungsgrund			
- 20°C bis - 16°C	75 min	24 h	48 h			
- 15°C bis - 11°C	55 min	16 h	32 h			
- 10°C bis - 6°C	35 min	10 h	20 h			
- 5°C bis - 1°C	20 min	5 h	10 h			
0°C bis +4°C	10 min	2,5 h	5 h			
+5°C bis +9°C	6 min	80 min	160 min			
+ 10°C	6 min	60 min	2 h			
Kartuschentemperatur	-20°C bis +10°C					

Injektionssystem HB-VMU plus für Mauerwerk	
Verwendungszweck	Anhang B8
Verarbeitungs- und Aushärtezeit	
Volar beliangs- and Adshartezett	



Montageanweisung



Injektionssystem HB-VMU plus für Mauerwerk

Verwendungszweck

Montageanweisung: Bohrlochherstellung / Reinigung im Voll- und Lochstein

Anhang B9



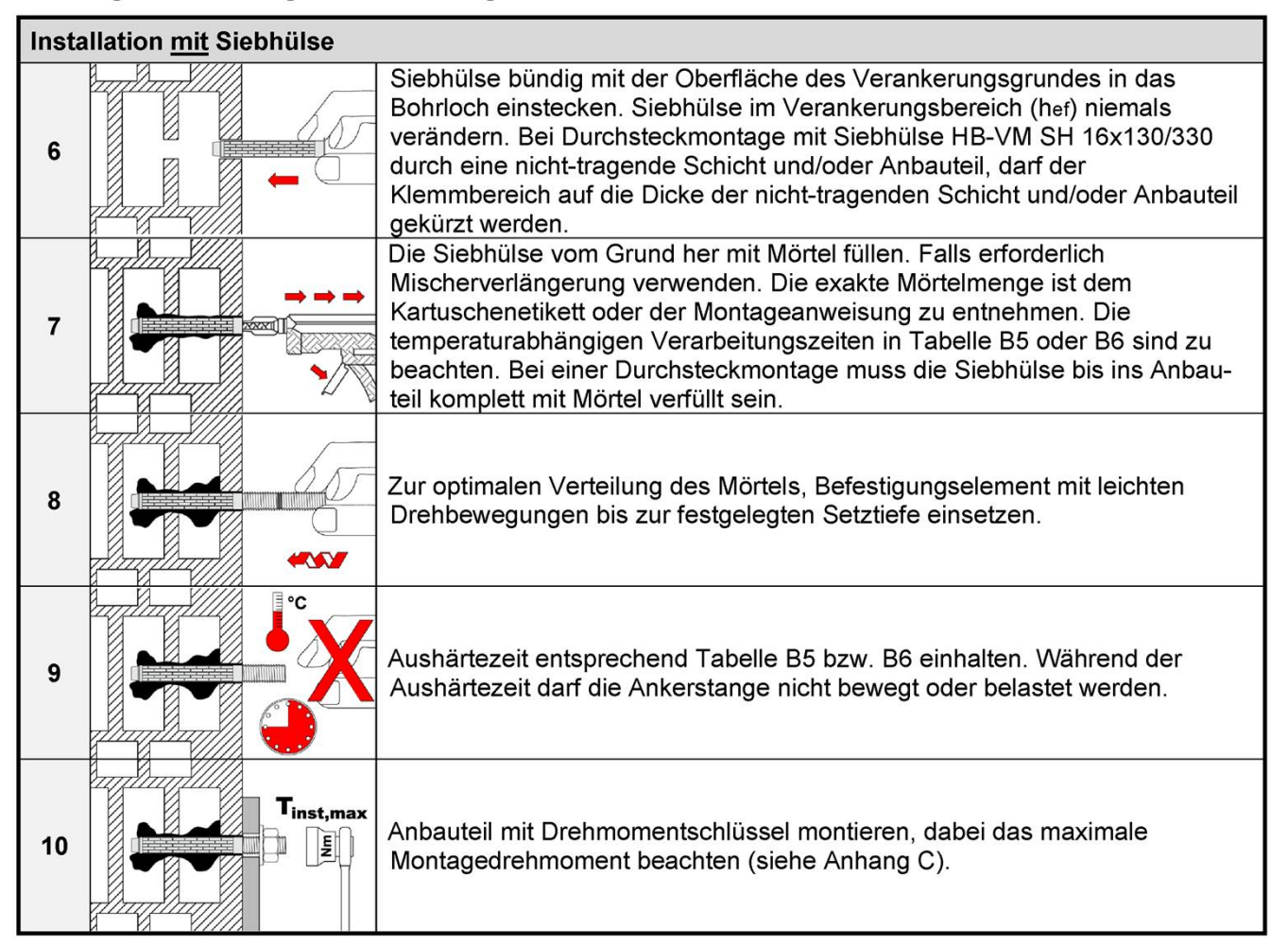
Montageanweisung - Fortsetzung

Vorb	Vorbereitung Injektion								
3	W III III S	Den mitgelieferten Statikmischer fest auf die Kartuschen aufschrauben und Kartusche in eine geeignete Auspresspistole einlegen. Bei Schlauchfolien den Clip vor der Verwendung abschneiden. Bei jeder Arbeitsunterbrechung länger als die empfohlene Verarbeitungszeit (Tabelle B5 oder B6) und bei jeder neuen Kartusche ist der Statikmischer zu erneuern.							
4	h _{ef} +(t _{nII})+(t _{fix})	Verankerungstiefe auf der Ankerstange markieren. Bei nichttragenden Schichten und/oder Durchsteckmontage tfix und/oder tnll berücksichtigen. Die Ankerstange muss frei von Schmutz-, Fett, Öl und anderen Fremdmaterialien sein.							
5	min.3x	Mörtelvorlauf so lange auspressen (min. 3 volle Hübe, bei Schlauchfoliengebinden 6 volle Hübe), bis der austretende Injektionsmörtel eine gleichmäßige graue Farbe aufweist. Dieser Vorlauf darf nicht verwendet werden.							
Insta	allation <u>ohne</u> Siebhülse								
6		Bohrloch vom Bohrlochgrund her mindestens 2/3 mit Verbundmörtel befüllen. Langsames Zurückziehen des Statikmischers aus dem Bohrloch verhindert die Bildung von Lufteinschlüssen. Falls erforderlich Mischerverlängerung verwenden. Die temperaturabhängigen Verarbeitungszeiten (Tabelle B5 bzw. B6) sind zu beachten.							
7		Befestigungselement mit leichten Drehbewegungen bis zur festgelegten Setztiefe einsetzen.							
8		Nach der Installation des Ankers muss der Ringspalt zwischen Ankerstange und Mauerwerk, bei Durchsteckmontage zusätzlich auch im Anbauteil, komplett mit Mörtel ausgefüllt sein. Andernfalls Anwendung vor Beendigung der Verarbeitungszeit ab Schritt 6 wiederholen.							
9	· · · · · · · · · · · · · · · · · · ·	Aushärtezeit entsprechend Tabelle B5 bzw. B6 einhalten. Während der Aushärtezeit darf die Ankerstange nicht bewegt oder belastet werden. Nach Ablauf der Aushärtezeit ausgetretenen Mörtel entfernen.							
10	T _{inst} ,max	Anbauteil mit Drehmomentschlüssel montieren, dabei das maximale Montagedrehmoment beachten (siehe Anhang C).							

Injektionssystem HB-VMU plus für Mauerwerk	
Verwendungszweck Montageanweisung: Vorbereitung Injektion / Installation ohne Siebhülse	Anhang B10



Montageanweisung - Fortsetzung



Injektionssystem HB-VMU plus für Mauerwerk	
Verwendungszweck Montageanweisung: Installation mit Siebhülse	Anhang B11



Tabelle C1: β - Faktoren für Baustellenversuche unter Zugbelastung

			ANTONIO MOS			β-Fa	ktor	4	
Steintyp	Ankergröße	Siebhülse HB-VM-SH	Veranke- rungs- tiefe	T _a : 24°C / 40°C		Т _ь : 50°C / 80°C		T₀: 72°C/120°C	
			h _{ef}		w/d w/w	d/d	w/d w/w	d/d	w/d w/w
Porenbeton	alle Größen	mit oder ohne HB-VM-SH	alle	0,95	0,86	0,81	0,73	0,81	0,73
	d ₀ ≤ 14 mm	HB-VM-SH	alle	0,93	0,80	0,87	0,74	0,65	0,56
	d₀ ≥ 16 mm	UP-AIAI-2U	alle	0,93	0,93	0,87	0,87	0,65	0,65
Kalksand- steine	d₀ ≤ 14 mm	_	400	0,93	0,80	0,87	0,74	0,65	0,56
	d₀ ≥ 16 mm		≤ 100mm	0,93	0,93	0,87	0,87	0,65	0,65
	alle Größen		> 100mm	0,93	0,56	0,87	0,52	0,65	0,40
		HB-VM-SH	alle	0,86	0,86	0,86	0,86	0,73	0,73
Ziegelsteine	alle Größen		≤ 100mm	0,86	0,86	0,86	0,86	0,73	0,73
		_	> 100mm	0,86	0,43	0,86	0,43	0,73	0,37
Leichtbeton-	d₀ ≤ 12 mm	mit oder ohne	-11-	0,93	0,80	0,87	0,74	0,65	0,56
steine	d₀ ≥ 16 mm	HB-VM-SH	alle	0,93	0,93	0,87	0,87	0,65	0,65

Injektionssystem HB-VMU plus für Mauerwerk	
Leistung β-Faktoren für Baustellenversuche unter Zugbelastung	Anhang C1



Tabelle C2: Charakteristische Stahltragfähigkeit unter Zug- und Querbeanspruchung für Ankerstangen

Ankerstan	Ankerstange				M 10	M 12	M 16	
Stahlversa	gen							
Spannungs	guerschnitt	As	[mm²]	36,6	58,0	84,3	157	
	stischer Widerstand unter Zugbean			100.000.00		,,,,,,		
	Festigkeitsklasse 4.6 und 4.8	N _{Rk,s}	[kN]	15 (13) ¹⁾	23 (21) ¹⁾	34	63	
Stahl,	Festigkeitsklasse 5.6 und 5.8	N _{Rk,s}	[kN]	18 (17) ¹⁾	29 (27) ¹⁾	42	79	
verzinkt	Festigkeitsklasse 8.8	N _{Rk,s}	[kN]	29 (27) ¹⁾	46 (43) ¹⁾	67	126	
Nicht-	Festigkeitsklasse 50 (A2/A4/HCR)	N _{Rk,s}	[kN]	18	29	42	79	
rostender	Festigkeitsklasse 70 (A2/A4/HCR)	N _{Rk,s}	[kN]	26	41	59	110	
Stahl	Festigkeitsklasse 80 (A4/HCR)	N _{Rk,s}	[kN]	29	46	67	126	
Teilsicherh	neitsbeiwert ²⁾							
Stahl,	Festigkeitsklasse 4.6 und 5.6	γMs,N	[-]		2,	0		
verzinkt	Festigkeitsklasse 4.8, 5.8 und 8.8	γMs,N	[-]		1,	5		
Nicht-	Festigkeitsklasse 50 (A2/A4/HCR)	γMs,N	[-]		2,8	36		
rostender	Festigkeitsklasse 70 (A2/A4/HCR)	γMs,N	[-]		1,87 (1,5) ³⁾		
Stahl	Festigkeitsklasse 80 (A4/HCR)	γMs,N	[-]	1,6 (1,5) ³⁾				
Charakteri	stischer Widerstand unter Querbea	nspruchu			540 -	- 10 P		
	gen ohne Hebelarm	•						
	Festigkeitsklasse 4.6 und 4.8	V^0 Rk,s	[kN]	7 (6) ¹⁾	12 (10) ¹⁾	17	31	
Stahl,	Festigkeitsklasse 5.6 und 5.8	V ⁰ Rk,s	[kN]	9 (8)1)	15 (13) ¹⁾	21	39	
verzinkt	Festigkeitsklasse 8.8	V ⁰ Rk,s	[kN]	15 (13) ¹⁾	23 (21) ¹⁾	34	63	
Nicht-	Festigkeitsklasse 50 (A2/A4/HCR)	$V^0_{Rk,s}$	[kN]	9	15	21	39	
rostender	Festigkeitsklasse 70 (A2/A4/HCR)	$V^0_{Rk,s}$	[kN]	13	20	30	55	
Stahl	Festigkeitsklasse 80 (A4/HCR)	V^0 Rk,s	[kN]	15	23	34	63	
Stahlversa	gen <u>mit</u> Hebelarm – Charakteristisc	her Bieg	ewiders	tand				
0/ 11	Festigkeitsklasse 4.6 und 4.8	M^0 Rk,s	[Nm]	15 (13) ¹⁾	30 (27) ¹⁾	52	133	
Stahl,	Festigkeitsklasse 5.6 und 5.8	M^0 Rk,s	[Nm]	19 (16) ¹⁾	37 (33) ¹⁾	65	166	
verzinkt	Festigkeitsklasse 8.8	M^0 Rk,s	[Nm]	30 (26) ¹⁾	60 (53) ¹⁾	105	266	
Nicht-	Festigkeitsklasse 50 (A2/A4/HCR)	M^0 _{Rk,s}	[Nm]	19	37	65	166	
rostender	Festigkeitsklasse 70 (A2/A4/HCR)	M^0 _{Rk,s}	[Nm]	26	52	92	233	
Stahl	Festigkeitsklasse 80 (A4/HCR)	M^0 Rk,s	[Nm]	30	60	105	266	
Teilsicherh	neitsbeiwert ²⁾							
Stahl,	Festigkeitsklasse 4.6 und 5.6	γMs,V	[-]		1,6	67		
verzinkt	Festigkeitsklasse 4.8, 5.8 und 8.8	γMs,V	[-]	1,25				
Nicht-	Festigkeitsklasse 50 (A2/A4/HCR)	γMs,V	[-]		2,3	38		
rostender	Festigkeitsklasse 70 (A2/A4/HCR)	γMs,V	[-]	1,56 (1,25) ³⁾				
Stahl	Festigkeitsklasse 80 (A4/HCR)	γMs,V	[-]	1,33 (1,25) ³⁾				

Die charakteristischen Widerstände gelten für alle Ankerstangen mit dem hier angegebenen Spannungsquerschnitt As: HB-VMU-A, HB-V-A, HB-VM-A. Für handelsübliche Gewindestangen mit geringerem Spannungsquerschnitt (z.B.: feuerverzinkte Gewindestangen M8, M10 gemäß EN ISO 10684:2004 + AC:2009) gilt der Wert in der Klammer.

³⁾ Wert in Klammern gilt nur für Ankerstangen HB-VMU-A oder HB-V-A

Injektionssystem HB-VMU plus für Mauerwerk	
Leistung Charakteristische Stahltragfähigkeit unter Zug- und Querbeanspruchung für Ankerstangen	Anhang C2

²⁾ Sofern andere nationale Regelungen fehlen



Tabelle C3: Charakteristische Stahltragfähigkeit unter Zug- und Querbeanspruchung für Innengewindeankerstangen

Innengewindea	nkerstange		IG-M6	IG-M8	IG-M10		
Stahlversagen ¹⁾							
Charakteristisc	her Widerstand unter Zugbeanspr	uchung					
Stahl,	Festigkeitsklasse 5.8	$N_{Rk,s}$	[kN]	10	17	29	
verzinkt	Festigkeitsklasse 8.8	$N_{Rk,s}$	[kN]	16	27	46	
Nichtrostender Stahl	Festigkeitsklasse 70 (A4/HCR)	$N_{Rk,s}$	[kN]	14	26	41	
Teilsicherheitsl	beiwert ²⁾						
Stahl,	Festigkeitsklasse 5.8	γMs,N	[-]	1,5			
verzinkt	Festigkeitsklasse 8.8	γMs,N	[-]	1,5			
Nichtrostender Stahl	Festigkeitsklasse 70 (A4/HCR)	γMs,N	[-]	1,87			
Charakteristisc	her Widerstand unter Querbeansp	ruchung					
Stahlversagen	<u>ohne</u> Hebelarm						
Stahl,	Festigkeitsklasse 5.8	$V^0_{Rk,s}$	[kN]	5	9	15	
verzinkt	Festigkeitsklasse 8.8	V^0 Rk,s	[kN]	8	14	23	
Nichtrostender Stahl	Festigkeitsklasse 70 (A4/HCR)	V^0 Rk,s	[kN]	7	13	20	
Stahlversagen <u>j</u>	<u>mit</u> Hebelarm – Charakteristischer	Biegewid	erstand				
Stahl,	Festigkeitsklasse 5.8	M^0 _{Rk,s}	[Nm]	8	19	37	
verzinkt	Festigkeitsklasse 8.8	M^0 Rk,s	[Nm]	12	30	60	
Nichtrostender Stahl	Festigkeitsklasse 70 (A4/HCR)	M ⁰ Rk,s	[Nm]	11	26	52	
Teilsicherheitsl	peiwert ²⁾						
Stahl,	Festigkeitsklasse 5.8	γMs,V	[-]		1,25		
verzinkt	Festigkeitsklasse 8.8	γMs,V	[-]		1,25		
Nichtrostender Stahl	Festigkeitsklasse 70 (A4/HCR)	γMs,V	[-]	1,56			

¹⁾ Befestigungsschrauben oder Gewindestangen (inkl. Scheibe und Mutter) müssen mindestens der gewählten Festigkeitsklasse der Innengewindeankerstangen entsprechen. Die charakteristischen Tragfähigkeiten für Stahlversagen gelten für die Innengewindeankerstange und die zugehörigen Befestigungsmittel

Injektionssystem HB-VMU plus für Mauerwerk	
Leistung Charakteristische Stahltragfähigkeit unter Zug- und Querbeanspruchung für Innengewindeankerstangen	Anhang C3

²⁾ Sofern andere nationale Regelungen fehlen



Tabelle C4: Charakteristische Stahltragfähigkeit unter Brandbeanspruchung

Ankerstange				M 8	M 10	M 12	M 16	
Charakteristischer Widerstand unter Zugbeanspruchung								
2. 1. 5	R30	$N_{Rk,s,fi}$	[kN]	1,1	1,7	3,0	5,7	
Stahl, Festigkeitsklasse 5.8 und 8.8;	R60	$N_{Rk,s,fi}$	[kN]	0,9	1,4	2,3	4,2	
Nichtrostender Stahl (A2 / A4 / HCR) Festigkeitsklasse ≥ 50	R90	$N_{Rk,s,fi}$	[kN]	0,7	1,0	1,6	3,0	
	R120	$N_{Rk,s,fi}$	[kN]	0,5	0,8	1,2	2,2	
Charakteristischer Widerstand unter	Querbear	nspruchu	ıng					
Stahlversagen <u>ohne</u> Hebelarm	-30							
	R30	$V^0_{Rk,s,fi}$	[kN]	1,1	1,7	3,0	5,7	
Stahl, Festigkeitsklasse 5.8 und 8.8; Nichtrostender Stahl (A2 / A4 / HCR)	R60	V^0 Rk,s,fi	[kN]	0,9	1,4	2,3	4,2	
Festigkeitsklasse ≥ 50	R90	V^0 Rk,s,fi	[kN]	0,7	1,0	1,6	3,0	
	R120	V^0 Rk,s,fi	[kN]	0,5	0,8	1,2	2,2	
Stahlversagen <u>mit</u> Hebelarm – Chara	kteristisc	her Bieg	ewiders	stand		*		
	R30	M^0 _{Rk,s,fi}	[Nm]	1,1	2,2	4,7	12,0	
Stahl, Festigkeitsklasse 5.8 und 8.8;	R60	M^0 _{Rk,s,fi}	[Nm]	0,9	1,8	3,5	9,0	
Nichtrostender Stahl (A2 / A4/ HCR) Festigkeitsklasse ≥ 50	R90	M ⁰ Rk,s,fi	[Nm]	0,7	1,3	2,5	6,3	
	R120	M^0 _{Rk,s,fi}	[Nm]	0,5	1,0	1,8	4,7	
Teilsicherheitsbeiwert	alle	γMs,fi	[-]	1,0				

Tabelle C5: Charakteristische Stahltragfähigkeit unter Brandbeanspruchung - Innengewindeankerstange

Innengewindeankerstange		IG-M6	IG-M8	IG-M10				
Charakteristischer Widerstand unter Zugbeanspruchung								
Stahl, Festigkeitsklasse 5.8 und 8.8;	R30	$N_{Rk,s,fi}$	[kN]	0,3	1,1	1,7		
	R60	$N_{Rk,s,fi}$	[kN]	0,2	0,9	1,4		
Nichtrostender Stahl (A4 / HCR) Festigkeitsklasse 70	R90	$N_{Rk,s,fi}$	[kN]	0,2	0,7	1,0		
T coughenciacos / c	R120	$N_{Rk,s,fi}$	[kN]	0,1	0,5	0,8		
Charakteristischer Widerstand unter Q	uerbear	nspruchu	ıng					
Stahlversagen <u>ohne</u> Hebelarm								
	R30	V^0 Rk,s,fi	[kN]	0,3	1,1	1,7		
Stahl, Festigkeitsklasse 5.8 und 8.8;	R60	V^0 Rk,s,fi	[kN]	0,2	0,9	1,4		
Nichtrostender Stahl (A4 / HCR) Festigkeitsklasse 70	R90	V^0 Rk,s,fi	[kN]	0,2	0,7	1,0		
T congretionable 70	R120	V^0 Rk,s,fi	[kN]	0,1	0,5	0,8		
Stahlversagen <u>mit</u> Hebelarm – Charakt	eristisc	her Bieg	ewiderst	and				
	R30	M ⁰ Rk,s,fi	[Nm]	0,2	1,1	2,2		
Stahl, Festigkeitsklasse 5.8 und 8.8;	R60	M ⁰ Rk,s,fi	[Nm]	0,2	0,9	1,8		
Nichtrostender Stahl (A4 / HCR) Festigkeitsklasse 70	R90	M^0 Rk,s,fi	[Nm]	0,1	0,7	1,3		
1 ootigiteiteitidees 70	R120	M^0 _{Rk,s,fi}	[Nm]	0,1	0,5	1,0		
Teilsicherheitsbeiwert	alle	γMs,fi	[-]		1,0			

Injektionssystem HB-VMU plus für Mauerwerk	
Leistung Charakteristische Stahltragfähigkeit unter Brandbeanspruchung	Anhang C4



Rand- und Achsabstände

C_{cr,fi}

= Charakteristischer Randabstand Ccr

 Minimaler Randabstand Cmin

Charakteristischer Randabstand bei

Brandbeanspruchung

= Charakteristischer (minimaler) Scr,II Achsabstand für Anker parallel zur (Smin,II)

Lagerfuge angeordnet

= Charakteristischer (minimaler) Scr, L

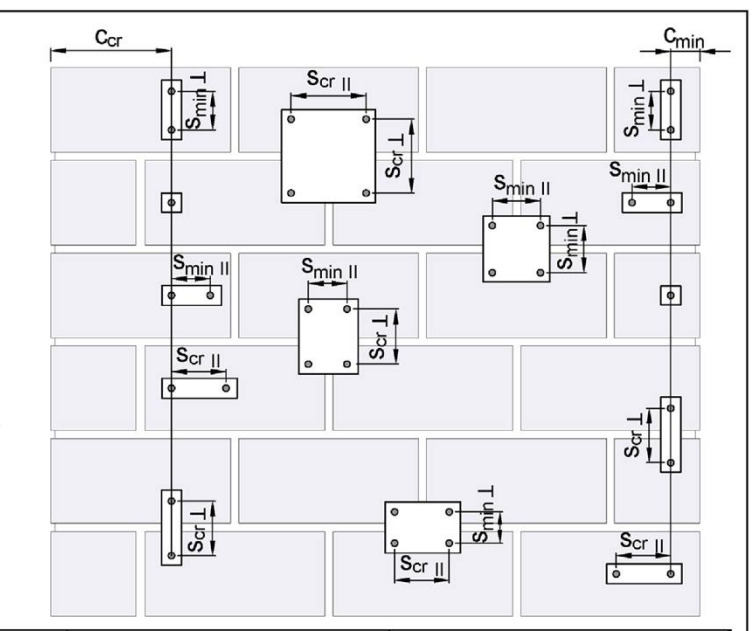
Achsabstand für Anker senkrecht zur $(s_{min,\perp})$

Lagerfuge angeordnet

= Charakteristischer Achsabstand unter Scr,fi,II Brandbeanspruchung für Anker $(S_{cr,fi,\perp})$

parallel (senkrecht) zur Lagerfuge

angeordnet



Definition der Reduktions- und Gruppenfaktoren

=

Lastrichtung Anker- anordnung	Zuglast	Querlast parallel zum freien Rand V ιι	Querlast senkrecht zum freien Rand V ⊥	
Anker parallel zur Lagerfuge s _{cr,II} (s _{min,II})	α _g II,N	α _{g II,} ν _{II}	∨ ••• α _{g II,} ∨⊥	
Anker senkrecht zur Lagerfuge s _{cr,⊥} (s _{min,⊥})	α _{g ⊥,N}	α _{g ⊥,} ν _{II}	∨ • α _{g⊥,∨⊥}	

α edge,N	=	Reduktionsfaktor bei Zuglast am freien Rand (Einzelanker)	$(\text{fur } C_{\min} \leq C < C_{cr})$
$lpha$ edge,V $_{\perp}$	=	Reduktionsfaktor bei Querlast senkrecht zum freien Rand (Einzelanker)	(für $c_{min} \le c < c_{cr}$)
αedge,V II	=	Reduktionsfaktor bei Querlast parallel zum freien Rand (Einzelanker)	(für $c_{min} \le c < c_{cr}$)
αα ιι Ν	=	Gruppenfaktor für Anker parallel zur Lagerfuge unter Zuglast	

Gruppenfaktor für Anker senkrecht zur Lagerfuge unter Zuglast = $\alpha_{g\perp,N}$

Gruppenfaktor für Anker parallel zur Lagerfuge unter Querlast parallel zum freien Rand $\alpha_{g\,II,V\,II}$

Gruppenfaktor für Anker senkrecht zur Lagerfuge unter Querlast parallel zum freien Rand = αg ⊥,V II

Gruppenfaktor für Anker parallel zur Lagerfuge unter Querlast senkrecht zum freien Rand αg II,V⊥ Gruppenfaktor für Anker senkrecht zur Lagerfuge unter Querlast senkrecht zum freien Rand $\alpha_{\text{g}\,\perp,\text{V}\perp}$

	$N_{Rk,b,c}$	= $\alpha_{\text{edge,N}} * \mathbf{N}_{\text{Rk,b}}$	bzw.	$N_{Rk,p,c}$	= $\alpha_{\text{edge,N}} * N_{\text{Rk,p}}$	
Einzelanker am Rand:	V _{Rk,c} II	= $\alpha_{\text{edge,V II}}$ * $V_{\text{Rk,b}}$				
	V _{Rk,c} $_{\perp}$	= $\alpha_{\text{edge,V}} + V_{\text{Rk,b}}$				
	N^{g}_{Rk}	$= \alpha_{g,N} * N_{Rk,b}$				
Gruppe aus 2 Ankern	$V^{g}_{Rk II}$	= $\alpha_{g, V II}$ * $V_{Rk,b}$	bzw.	$V^{g}_{Rk\perp}$	$= \alpha_{g,V_{\perp}} * V_{Rk,b}$	(für $c \ge c_{cr}$)
	V ^g Rk,c II	$= \alpha_{g, VII} * V_{Rk,b}$	bzw.	$V^{g}_{Rk,c\perp}$	$= \alpha_{g,V_{\perp}} * V_{Rk,b}$	(für $c \ge c_{min}$)
	N^{g}_{Rk}	= $\alpha_{g \parallel I,N} * \alpha_{g\perp,N} * N_{Rk,b}$				
Gruppe aus 4 Ankern	$V^{g}_{Rk II}$	= $\alpha_{g \parallel, V \parallel} * \alpha_{g \perp, V \parallel} * V_{Rk,b}$	bzw.	$V^g_{Rk\perp}$	= $\alpha_g II, V_{\perp}^* \alpha_{g_{\perp}}, V_{\perp}^* V_{Rk,b}$	(für c ≥ c _{cr})
	V ^g Rk,c II	= $\alpha_{g \parallel,V \parallel} * \alpha_{g \perp,V \parallel} * V_{Rk,b}$	bzw.	$V^{g}_{Rk,c\perp}$	= $\alpha_g II, V_{\perp}^* \alpha_{g_{\perp}}, V_{\perp}^* V_{Rk,b}$	(für $c \ge c_{min}$)

Formeln abhängig von Ankeranordnung und Lastrichtung (siehe Tabelle oben). Reduktionsfaktoren, Gruppenfaktoren und Widerstände siehe Anhang C. Abminderung für Installation in Fugen siehe Anhang B1.

Injektionssystem HB-VMU plus für Mauerwerk

Leistung

Definition der Rand- und Achsabstände und der Reduktions- und Gruppenfaktoren α

Anhang C5



Steintyp: Porenbetonstein AAC

Tabelle C6: Beschreibung

Steintyp		Porenbetonstein AAC
Rohdichte	ρ [kg/dm ³]	0,35 - 0,60
Normierte mittlere Druckfestigkeit	≥ [N/mm²]	2, 4 oder 6
Norm	[-]	EN 771-4:2011+A1:2015
Hersteller (Länderkennung)	[-]	z.B. Porit (DE)
Steinabmessungen	[mm]	≥ 499 x 240 x 249
Bohrverfahren	[-]	Drehbohren



Tabelle C7: Montagekennwerte

Ankergröße		M8	M10	M12	M16	IG-M6	IG-M8	IG-M10	
Montagedrehmoment T _{inst} [Nm]		≤ 5	≤ 5	≤ 10	≤ 10	≤ 5	≤ 5	≤ 10	
Randabstand	Ccr	[mm]	150 (für Querlasten senkrecht zum freien Rand: ccr =210)						
Minimaler Randabstand	C _{min}	[mm]	50						
Achsabstand	S _{cr,II}	[mm]	300						
Acrisabstand	Scr,⊥	[mm]	250						
Minimaler Achsabstand	S _{min,II}	[mm]	50						
Willimater Achsabstand	S _{min,⊥}	[mm]	50						

Tabelle C8: Reduktionsfaktoren für Einzelanker unter Randeinfluss

Zugl	act		Querlast								
Zugi	ası		Senkrecht zu	m freien l	Rand	Parallel zum freien Rand					
	mit c ≥	αedge,N		mit c ≥	αedge,V⊥		mit c ≥	αedge,VII			
	50	0.05		50	0,12		50	0,70			
	50	50 0,85		125	0,50		125	0,85			
	150	1,00		210	1,00		150	1,00			

Tabelle C9: Faktor für Ankergruppen

	Anordnung parall	el zur Lag	gertuge		Anordnung senk	recht zur	' Lagerfu	ge	
		mit c ≥	mit s ≥	αg II,N		mit c ≥	mit s ≥	αg⊥,N	
Zuglast		50	50	1,10		50	50	0,75	
		150	50	1,25		150	50	0,90	
		150	300	2,00		150	250	2,00	
		mit c ≥	mit s ≥	αg II,V⊥		mit c ≥	mit s ≥	αд⊥,∨⊥	
Querlast		50	50	0,20		50	50	0,25	
senkrecht zum freien Rand		210	50	1,60		210	50	1,80	
Zam noion rana		210	300	2,00		210	250	2,00	
		mit c ≥	mit s ≥	αg II,V II		mit c ≥	mit s ≥	αg⊥,∨ II	
Querlast		50	50	1,15		50	50	0,80	
parallel zum freien Rand		150	50	1,60		150	50	1,10	
		150	300	2,00		150	250	2,00	

Injektionssystem HB-VMU plus für Mauerwerk Leistung - Porenbetonstein AAC Steinbeschreibung, Montagekennwerte, Reduktions- und Gruppenfaktoren Anhang C6



Steintyp: Porenbetonstein AAC - Fortsetzung

Tabelle C10: Charakteristische Widerstände unter Zug- und Querlast

			С	harakteri	stische V	Viderstär	nde bei c	≥ c _{cr} und	s ≥ s _{cr}
					Nutzu	ıngsbedi	ngunger	1	
A misa war # C a	Sieb- hülse	Effektive Veranke- rungstiefe		d/d		w/d w/w			d/d w/d w/w
Ankergröße	HB-	,	24°C / 40°C	50°C / 80°C	72°C / 120°C	24°C / 40°C	50°C / 80°C	72°C / 120°C	alle Temperatur- bereiche
		h _{ef}			$N_{Rk,b} = 1$	V _{Rk,p} 1)			V _{Rk,b} 1)
		[mm]			[kN	J]			[kN]
Normierte mittle	re Druckfe	stigkeit f _b ≥ 2	N/mm²		,l	Rohdich	te ρ ≥ 0,3	5 kg/dm ²	3
M8		80	1,2	0,9	0,9	0,9	0,9	0,9	1,5
M10 / IG-M6	-	90	1,2	0,9	0,9	0,9	0,9	0,9	2,5
M12 / M16 IG-M8 / IG-M10	-	100	2,0	1,5	1,5	1,5	1,5	1,5	2,5
M8	VM-SH 12	80	1,2	0,9	0,9	0,9	0,9	0,9	1,5
M8 / M10 IG-M6	VM-SH 16	≥ 85	1,2	0,9	0,9	0,9	0,9	0,9	2,5
M12 / M16 IG-M8 / IG-M10	VM-SH 20	≥ 85	2,0	1,5	1,5	1,5	1,5	1,5	2,5
Normierte mittle	re Druckfe	stigkeit f _b ≥ 4	N/mm²			Rohdich	te ρ ≥ 0,5	0 kg/dm ³	3
M8		80	3,0	2,5	2,0	2,5	2,0	2,0	4,5
M10 / IG-M6	-	90	3,0	2,5	2,0	2,5	2,0	2,0	7,5
M12 / M16 IG-M8 / IG-M10	_	100	5,0	4,5	4,0	4,5	4,0	4,0	7,5
M8	VM-SH 12	80	3,0	2,5	2,0	2,5	2,0	2,0	4,5
M8 / M10 IG-M6	VM-SH 16	≥ 85	3,0	2,5	2,0	2,5	2,0	2,0	7,5
M12 / M16 IG-M8 / IG-M10	VM-SH 20	≥ 85	5,0	4,5	4,0	4,5	4,0	4,0	7,5

 $^{^{1)}}$ $N_{\text{Rk,b,c}}$ = $N_{\text{Rk,p,c}}$ und $V_{\text{Rk,c II}}$ = $V_{\text{Rk,c}}{}_{\perp}$ gemäß Anhang C5

Injektionssystem HB-VMU plus für Mauerwerk	
Leistungen - Porenbetonstein AAC Charakteristische Widerstände	Anhang C7



Steintyp: Porenbetonstein AAC – Fortsetzung

Charakteristische Widerstände - Fortsetzung:

			С	harakteri	stische V	/iderstär	nde bei c	≥ c _{cr} und	s ≥ s _{cr}		
Ankergröße	Sieb-	Effektive	Nutzungsbedingungen								
	hülse	Veranke- rungstiefe) -			w/d w/w			d/d w/d w/w		
	HB-		24°C / 40°C	50°C / 80°C	72°C / 120°C	24°C / 40°C	50°C / 80°C	72°C / 120°C	alle Temperatur- bereiche		
		h _{ef}	,	$N_{Rk,b} = N_{Rk,p}^{-1}$					V _{Rk,b} 1)		
		[mm]			[kN	I]			[kN]		
Normierte mit	lere Druck	festigkeit fb	≥ 6 N/mm² Rohdichte ρ ≥ 0,60 kg/dm³						3		
M8	-	80	4,0	3,5	3,0	3,5	3,0	3,0	6,0		
M10 / IG-M6	-	90	4,0	3,5	3,0	3,5	3,0	3,0	10,0		
M12 / M16 IG-M8 / IG-M10	-	100	7,0	6,0	5,5	6,5	5,5	5,5	10,0		
M8	VM-SH 12	80	4,0	3,5	3,0	3,5	3,0	3,0	6,0		
M8 / M10 IG-M6	VM-SH 16	≥ 85	4,0	3,5	3,0	3,5	3,0	3,0	10,0		
M12 / M16 IG-M8 / IG-M10	VM-SH 20	≥ 85	7,0	6,0	5,5	6,5	5,5	5,5	10,0		

¹⁾ $N_{Rk,b,c} = N_{Rk,p,c}$ und $V_{Rk,c | II} = V_{Rk,c \perp}$ gemäß Anhang C5

Tabelle C11: Verschiebungen

Ankergröße	h _{ef}	δ _N / N	δινο	δ _{N∞}	δ _V / V	δνο	δν∞	
Alikergrobe	[mm]	[mm/kN]	[mm]	[mm]	[mm/kN]	[mm]	[mm]	
M8 – M12 / IG-M6 – IG-M10	alle	0,1	0,1*N _{Rk} / 2,8	2*δ _{N0}	0,3	0,3*V _{Rk} / 2,8	1,5*δ√ο	
M16			-,	_ 5110	0,1 0,1*V _{Rk} / 2,8			

Injektionssystem HB-VMU plus für Mauerwerk

Leistungen - Porenbetonstein AAC
Charakteristische Widerstände und Verschiebungen

Anhang C8



Steintyp: Kalksandvollstein KS-NF

Tabelle C12: Beschreibung

Steintyp		Kalksandvollstein KS-NF
Rohdichte ρ	[kg/dm³]	≥ 2,0
Normierte mittlere Druckfestigkeit f _b	[N/mm ²]	≥ 28
Umrechnungsfaktor für geringere Druckfestigkeiten		$(f_b / 28)^{0,5} \le 1,0$
Norm	[-]	EN 771-2:2011+A1:2015
Hersteller (Länderkennung)	[-]	z.B. Wemding (DE)
Steinabmessungen	[mm]	≥ 240 x 115 x 71
Bohrverfahren	[-]	Hammerbohren

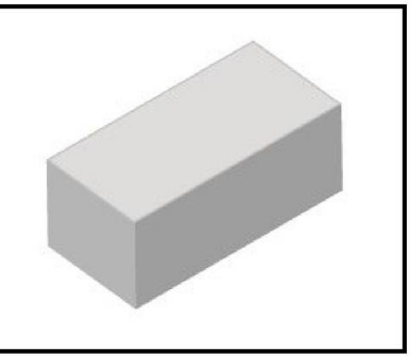


Tabelle C13: Montagekennwerte

Ankergröße			M8	M10	M12	M16	IG-M6	IG-M8	IG-M10
Montagedrehmoment	T_{inst}	[Nm]	≤ 10	≤ 10	≤ 15	≤ 15	≤ 10	≤ 10	≤ 10
Randabstand (unter Brandbeanspruchung)	Ccr (Ccr,fi)	[mm]	150 (2 h _{er}) (für Querlasten senkrecht zum freien Rand: c _{cr} = 240)						
Minimaler Randabstand	Cmin	[mm]				60			
Achsabstand (unter	Scr,II; (Scr,fi,II)	[mm]				240 (4 he	:)		4
Brandbeanspruchung)	$S_{cr,\perp};(S_{cr,fi,\perp})$	[mm]	150 (4 h _{ef})						
Minimaler Achsabstand	Smin,II; Smin,⊥	[mm]	75						

Tabelle C14: Reduktionsfaktoren für Einzelanker unter Randeinfluss

Zual	act		Querlast							
Zuglast			senkrecht zui	m freien F	Rand	parallel zum freien Rand				
	mit c ≥	αedge,N	+	mit c ≥	αedge,V⊥	+	mit c ≥	αedge,V II		
	60 ¹⁾	0,50		60	0,30		60	0,60		
•	100 ¹⁾	0,50	→	100	0,50		100	1,00		
	150 ¹⁾ 180	1,00 1,00		240	1,00		150	1,00		

Alle Anwendungen, außer bei hef = 200mm und ohne Siebhülse

Tabelle C15: Faktor für Ankergruppen

	Anordnung parall	el zur Lag	gerfuge		Anordnung senk	recht zur	Lagerfug	je
		mit c ≥	mit s ≥	αg II, N		mit c ≥	mit s ≥	αg⊥, N
	1	60 ¹⁾	75	0,70		60 ¹⁾	75	1,15
		150 ¹⁾	75	1,40		150 ¹⁾	75	2,00
Zuglast	• •	150 ¹⁾	240	2,00		150 ¹⁾	150	2,00
		180 ²⁾	75	1,00		180 ²⁾	75	1,15
	1	180 ²⁾	240	1,70		180 ²⁾	150	2,00
S		240 ²⁾	240	2,00		100-/	150	2,00
Quarlant		mit c ≥	mit s ≥	αg II,V⊥		mit c ≥	mit s ≥	$\alpha_{\text{g}\perp,\text{V}\perp}$
Querlast senkrecht		60	75	0,75	•	60	75	0,90
zum freien Rand		150	75	2,00		150	75	2,00
Zum reien Kand		150	250	2,00		150	150	2,00
Outerlant		mit c ≥	mit s ≥	αg II,V II		mit c ≥	mit s ≥	α _{g⊥,V} II
Querlast parallel zum freien Rand		60	75	2,00	•	60	75	2,00
		150	75	2,00		150	75	2,00
		150	250	2,00		150	150	2,00

¹⁾ Alle Anwendungen, außer bei hef = 200mm und ohne Siebhülse

Injektionssystem HB-VMU plus für Mauerwerk

Leistungen - Kalksandvollstein KS-NF

Steinbeschreibung, Montagekennwerte, Reduktions- und Gruppenfaktoren

Anhang C9

Nur für Anwendungen mit hef = 200mm und ohne Siebhülse



Steintyp: Kalksandvollstein KS-NF – Fortsetzung

Tabelle C16: Charakteristische Widerstände unter Zug- und Querlast

			С	harakteri	stische V	Viderstär	nde bei c	≥ c _{cr} und	s ≥ s _{cr}		
A mkovavä () o	Ciah	Effolisis	Nutzungsbedingungen								
Ankergröße	Sieb- Hülse HB-	Effektive Veranke- rungstiefe		d/d		w/d w/w			d/d w/d w/w		
	пь-		24°C / 40°C	50°C / 80°C	72°C / 120°C	24°C / 40°C	50°C / 80°C	72°C / 120°C	alle Temperatur- bereiche		
		h _{ef}			$N_{Rk,b} = I$	√ _{Rk,p} 1)			V _{Rk,b} 1)		
		[mm]			[kN	l]			[kN]		
		Normierte m	ittlere Dr	uckfestig	keit f _b ≥ 2	8 N/mm ²	2)		-		
M8	-	80	7,0	6,5	5,0	6,0	5,5	4,0			
M10 / IG-M6	-	≥ 90	7,0	6,5	5,0	6,0	5,5	4,0			
M12 / IG-M8	-	≥ 100	7,0	6,5	5,0	6,0	5,5	4,0			
M16 / IG-M10	-	≥ 100	7,0	6,5	5,0	7,0	6,5	5,0			
M10 - M16 IG-M6 - IG-M10	-	200	9,0	8,5	6,5	5,5	5,0	4,0	7,0		
M8	VM-SH 12	80	7,0	6,5	5,0	6,0	5,5	4,0			
M8 / M10/ IG-M6	VM-SH 16	≥ 85	7,0	6,5	5,0	7,0	6,5	5,0			
M12 / M16 IG-M8 / IG-M10	VM-SH 20	≥ 85	7,0	6,5	5,0	7,0	6,5	5,0			

¹⁾ $N_{Rk,b,c} = N_{Rk,p,c}$ und $V_{Rk,c | II} = V_{Rk,c \perp}$ gemäß Anhang C5

Tabelle C17: Verschiebungen

Ankergröße	h _{ef} [mm]	δ _N / N [mm/kN]	δ _{N0} [mm]	δ _{N∞} [mm]	δ _V / V [mm/kN]	δν ₀ [mm]	δν∞ [mm]
M8 – M12 / IG-M6 – IG-M10	alle	0,1	0,1*N _{Rk} / 3,5	2*δνο	0,3	0,3*V _{Rk} /3,5	1,5*δ√0
M16			on the common of	20 M 100000	0,1	0,1*V _{Rk} /3,5	The state of the s

Tabelle C18: Charakteristische Widerstände unter Brandbeanspruchung

Ankergröße	Sieb- hülse	Effektive Veranke- rungstiefe	Charakteristischer Widerstand $N_{Rk,b,fi} = N_{Rk,p,fi} = V_{Rk,b,fi}$					
	нв-	h _{ef}	R30	R60	R90	R120		
	пь-	[mm]		[k	N]			
M8	-	80						
M10 / IG-M6	=	≥ 90	0,48	0,41	0,34	0,30		
M12 / IG-M8	-	≥ 100	0,46			0,30		
M16 / IG-M10	-	≥ 100						
M8	VM-SH 12	80						
M8 / M10 / IG-M6	VM-SH 16	≥ 85	0,47	0,26	keine Leistung	keine Leistung		
M12 / M16 IG-M8 / IG-M10	VM-SH 20	≥ 85	0,47	0,20	bewertet	bewertet		

Injektionssystem HB-VMU plus für Mauerwerk	
Leistungen – Kalksandvollstein KS-NF Charakteristische Widerstände, Verschiebungen, Brandbeanspruchung	Anhang C10

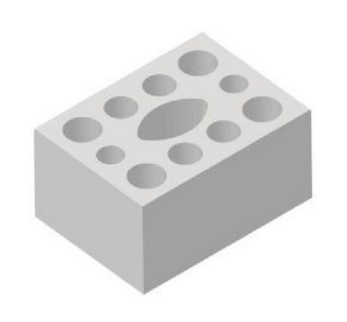
²⁾ Für geringere Druckfestigkeiten müssen die Widerstände mit dem Umrechnungsfaktor nach Tabelle C12 multipliziert werden. Für Steine mit höheren Festigkeiten sind die angegebenen Werte ohne Umrechnung gültig.



Steintyp: Kalksandlochstein KSL-3DF

Tabelle C19: Beschreibung

Steintyp			Kalksandlochstein KSL-3DF
Rohdichte	ρ	[kg/dm ³]	≥ 1,4
Normierte mittlere Druckfestigkeit	f_{b}	[N/mm ²]	≥ 14
Umrechnungsfaktor für gerin Druckfestigkeiten	ger	е	$(f_b / 14)^{0.75} \le 1.0$
Norm		[-]	EN 771-2:2011+A1:2015
Hersteller (Länderkennung)		[-]	z.B. KS-Wemding (DE)
Steinabmessungen		[mm]	≥ 240 x 175 x 113
Bohrverfahren		[-]	Drehbohren



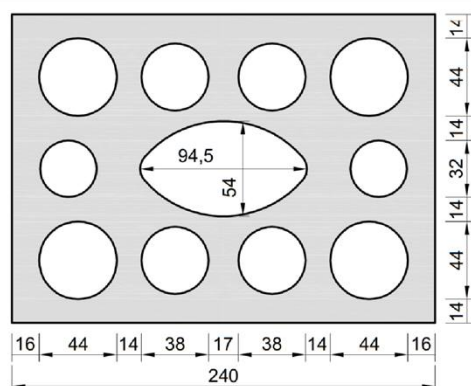


Tabelle C20: Montagekennwerte

Ankergröße	M8	M10	M12	M16	IG-M6	IG-M8	IG-M10			
Montagedrehmoment	T_{inst}	[Nm]	≤ 5	≤ 5	≤ 8	≤ 8	≤ 5	≤ 8	≤ 8	
Randabstand	Ccr	[mm] 120 (für Querlasten senkrecht zum freien Rand: c _{cr} = 240)								
Minimaler Randabstand	Cmin	[mm]	nm] 60							
Achsabstand	Scr, II	[mm]	240							
Acrisabstand	Scr, ⊥	[mm]	120							
Minimaler Achsabstand	S _{min, II;} S _{min, ⊥}	[mm]	[mm] 120							

Tabelle C21: Reduktionsfaktoren für Einzelanker unter Randeinfluss

Zugl	act		Querlast						
Zugi	ası		senkrecht zu	m freien F	Rand	parallel zum freien Rand			
	mit c ≥	αedge,N		mit c ≥	αedge,V⊥		mit c ≥	αedge,V II	
•	60	1,00	→	60	0,30		60	1,00	
	120	1,00		240	1,00		120	1,00	

Injektionssystem HB-VMU plus für Mauerwerk	
Leistungen – Kalksandlochstein KSL-3DF Steinbeschreibung, Montagekennwerte, Reduktionsfaktoren	Anhang C11



Steintyp: Kalksandlochstein KSL-3DF – Fortsetzung

Tabelle C22: Faktor für Ankergruppen

	Anordnung paral	el zur La	gerfuge		Anordnung senkrecht zur Lagerfuge				
Zuglast		mit c ≥	mit s ≥	αg II, N		mit c ≥	mit s ≥	αg⊥, N	
	• •	60	120	1,50		60	120	1,00	
		120	120	2,00		60	120	1,00	
		120	240	2,00		120	120	2,00	
Overdent		mit c ≥	mit s ≥	αg II,V⊥		mit c ≥	mit s ≥	$\alpha_{\text{g}\perp,\text{V}\perp}$	
Querlast senkrecht		60	120	0,30		60	120	0,30	
zum freien Rand		120	120	1,00		60	120	0,30	
Zum melen Kana		120	240	2,00		240	120	2,00	
0 . 1 (mit c ≥	mit s ≥	αg II,V II		mit c ≥	mit s ≥	α _{g⊥,V} II	
Querlast		60	120	1,00	•	60	120	1,00	
parallel zum freien Rand		120	120	1,60		60	120	1,00	
Zam noten Kana		120	240	2,00		120	120	2,00	

Tabelle C23: Charakteristische Widerstände unter Zug- und Querlast

			Charakteristische Widerstände bei c ≥ c _{cr} und s ≥ s _{cr}									
Ankergröße	Sieb-	Effektive		Nutzungsbedingungen								
	hülse HB-	Veranke- rungs- tiefe	d/d			w/d w/w			d/d w/d w/w			
			24°C / 40°C	50°C / 80°C	72°C / 120°C	24°C / 40°C	50°C / 80°C	72°C / 120°C	alle Temperatur- bereiche			
		h _{ef}		N _{Rk,b} =					V _{Rk,b} 1)			
		[mm]			[kN	١]			[kN]			
	1	Normierte ı	mittlere D	ruckfesti	gkeit f₀ ≥	14 N/mm	2 2)					
M8 / M10	VM-SH 16	≥ 85	2,5	2,5	1,5	2,5	2,5	1,5				
IG-M6	VIVI-SIT 10	130	2,5	2,5	2,0	2,5	2,5	2,0	0.0			
M12 / M16 IG-M8 IG-M10	VM-SH 20	≥ 85	6,5	6,0	4,5	6,5	6,0	4,5	6,0			

¹⁾ $N_{Rk,b,c} = N_{Rk,p,c}$ und $V_{Rk,c|I|} = V_{Rk,c} \perp$ gemäß Anhang C5

Tabelle C24: Verschiebungen

Ankergröße	h _{ef}	δ _N / N	δινο	δn∞	δ _V / V	δνο	δν∞
Allkergrobe	[mm]	[mm/kN]	[mm]	[mm]	[mm/kN]	[mm]	[mm]
M8 – M12 / IG-M6 – IG-M10	alle	0,13	0,13*N _{Rk} / 3,5	2*δνο	0,55	0,55*V _{Rk} /3,5	1,5*δ√0
M16	5200 8		· · · · · · · · · · · · · · · · · · ·		0,31	0,31*V _{Rk} /3,5	,,,,,,,,,,,,,,,,,,,,,,,,,,,,,,,,,,,,,,,

Injektionssystem HB-VMU plus für Mauerwerk	
Leistungen – Kalksandlochstein KSL-3DF Gruppenfaktoren und charakteristische Widerstände und Verschiebungen	Anhang C12

²⁾ Für geringere Druckfestigkeiten müssen die Widerstände mit dem Umrechnungsfaktor nach Tabelle C19 multipliziert werden. Für Steine mit höheren Festigkeiten sind die angegebenen Werte ohne Umrechnung gültig.



Steintyp: Kalksandlochstein KSL-8DF

Tabelle C25: Beschreibung

Steintyp		Kalksandlochstein KSL-8DF	
Rohdichte ρ	[kg/dm ³]	≥ 1,4	
Normierte mittlere Druckfestigkeit	[N/mm ²]	≥ 12	100
Umrechnungsfaktor für geringere Druckfestigkeiten	•	$(f_b / 12)^{0.75} \le 1.0$	
Norm	[-]	EN 771-2:2011+A1:2015	to a proper commence of the contract and a second of
Hersteller (Länderkennung)	[-]	z.B. KS-Wemding (DE)	
Steinabmessungen	[mm]	≥ 248 x 240 x 238	
Bohrverfahren	[-]	Drehbohren	
		63 63 64 60 250	

Tabelle C26: Montagekennwerte

Ankergröße			M8	M10	M12	M16	IG-M6	IG-M8	IG-M10
Montagedrehmoment	T_{inst}	[Nm]	≤5 ≤5 ≤8 ≤8 ≤5 ≤8 ≤8						≤ 8
Randabstand	Ccr	[mm]	120	(für Quer	lasten ser	nkrecht zu	ım freien f	Rand: c _{cr} =	= 250)
Minimaler Randabstand	Cmin	[mm]	50						
Achsabstand	Scr, II	[mm]	250						
Acrisabstand	Scr, ⊥	[mm]	120						
Minimaler Achsabstand	S _{min,} II S _{min,} ⊥	[mm]	50						

Tabelle C27: Reduktionsfaktoren für Einzelanker unter Randeinfluss

Zuglast			Querlast							
Zugi	ası		senkrecht zu	parallel zum freien Rand						
	mit c ≥	αedge,N		mit c ≥	αedge,V⊥		mit c ≥	αedge,V II		
•	50	1,00		50	0,30		50	1,00		
	120	1,00		250	1,00		120	1,00		

Injektionssystem HB-VMU plus für Mauerwerk	
Leistungen – Kalksandlochstein KSL-8DF Steinbeschreibung, Montagekennwerte, Reduktionsfaktoren	Anhang C13



Steintyp: Kalksandlochstein KSL-8DF – Fortsetzung

Tabelle C28: Faktor für Ankergruppen

	Anordnung parall	el zur Lag	gerfuge		Anordnung senkrecht zur Lagerfuge				
		mit c ≥	mit s ≥	αg II, N		mit c ≥	mit s ≥	αg⊥, N	
Zuglast	Zuglast ● ●	50	50	1,00		50	50	1,00	
		120	250	2,00		120	120	2,00	
0 1 1		mit c ≥	mit s ≥	αg II,V⊥	Г і	mit c ≥	mit s ≥	αд⊥,∨⊥	
Querlast senkrecht		50	50	0,45	•	50	50	0,45	
zum freien Rand		250	50	1,15		250	50	1,20	
Zam noion rana		250	250	2,00		250	250	2,00	
Querlast		mit c ≥	mit s ≥	αg II,V II		mit c ≥	mit s ≥	αg⊥,∨ II	
parallel	parallel	50	50	1,30		50	50	1,00	
zum freien Rand	120	250	2,00		120	250	2,00		

Tabelle C29: Charakteristische Widerstände unter Zug- und Querlast

			Charakteristische Widerstände bei c ≥ c _{cr} und s ≥ s _{cr} Nutzungsbedingungen							
Ankergröße	Sieb- hülse HB-	Effektive Veranke- rungs- tiefe		d/d	Nutzt	mysbear	w/d w/w		d/d w/d w/w	
			24°C / 40°C	50°C / 80°C	72°C / 120°C	24°C / 40°C	50°C / 80°C	72°C / 120°C	alle Temperatur- bereiche	
		h _{ef}			$N_{Rk,b} = I$	N _{Rk,p} 1)		V _{Rk,b} 1)		
		[mm]			[kN	1]		[kN]		
	7.	Normierte	mittlere D	ruckfesti	gkeit f₀ ≥	12 N/mm	2 2)			
M8 / M10 IG-M6	VM-SH 16	130	5,0	4,5	3,5	5,0	4,5	3,5	3,5	
M12 / M16 IG-M8 IG-M10	VM-SH 20	≥ 130	5,0	4,5	3,5	5,0	4,5	3,5	6,0	

Tabelle C30: Verschiebungen

Ankergröße	h _{ef}	δ _N / N	δινο	δn∞	δ _V / V	δνο	δ∨∞
Alikergrobe	[mm]	[mm/kN]	[mm]	[mm]	[mm/kN]	[mm]	[mm]
M8 – M12 / IG-M6 – IG-M10	alle	0,13	0,13*N _{Rk} / 3,5	2*δ _{N0}	0,55	0,55*V _{Rk} /3,5	1,5*δ√0
M16			o, . o	_ = = = = = = = = = = = = = = = = = = =	0,31	0,31*V _{Rk} /3,5	.,0 010

Injektionssystem HB-VMU plus für Mauerwerk	
Leistungen - Kalksandlochstein KSL-8DF Gruppenfaktoren, charakteristische Widerstände und Verschiebungen	Anhang C14

N_{Rk,b,c} = N_{Rk,p,c} und V_{Rk,c II} = V_{Rk,c ⊥} gemäß Anhang C5
 Für geringere Druckfestigkeiten müssen die Widerstände mit dem Umrechnungsfaktor nach Tabelle C25 multipliziert werden. Für Steine mit höheren Festigkeiten sind die angegebenen Werte ohne Umrechnung gültig.



Steintyp: Kalksandlochstein KSL-12DF

Tabelle C31: Beschreibung

Steintyp		Kalksandlochstein KSL-12DF
Rohdichte p	[kg/dm ³]	≥ 1,4
Normierte mittlere Druckfestigkeit	[N/mm ²]	≥ 12
Umrechnungsfaktor für geringe Druckfestigkeiten	ere	$(f_b / 12)^{0.75} \le 1.0$
Norm	[-]	EN 771-2:2011+A1:2015
Hersteller (Länderkennung)	[-]	z.B. KS-Wemding (DE)
Steinabmessungen	[mm]	≥ 498 x 175 x 238
Bohrverfahren	[-]	Drehbohren



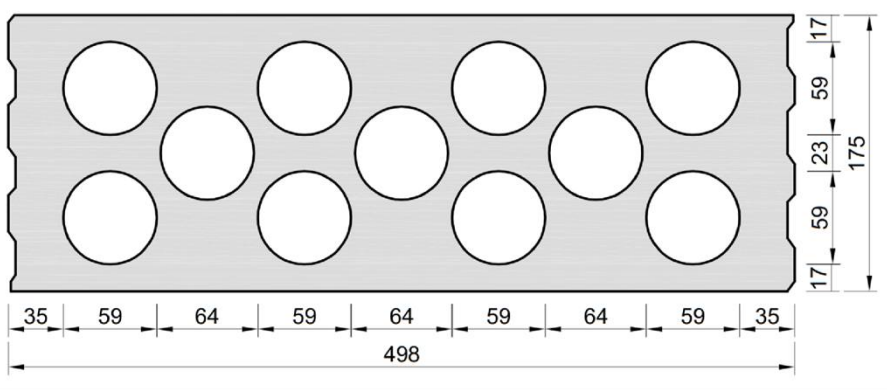


Tabelle C32: Montagekennwerte

Ankergröße	Ankergröße					M16	IG-M6	IG-M8	IG-M10
Montagedrehmoment	T_{inst}	[Nm]	≤ 4	≤ 4	≤ 5	≤ 5	≤ 4	≤ 5	≤ 5
Randabstand (unter Brandbeanspruchung)	C _{cr} (C _{cr,fi})	[mm]	120 (2 h _{ef}) (für Querlasten senkrecht zum freien Rand: c _{cr} = 500)					500)	
Minimaler Randabstand	C _{min}	[mm]							
Achsabstand (unter	Scr,II (Scr,fi,II)	[mm]				500 (4 h∈	ef)		
Brandbeanspruchung)	$\mathbf{S}_{cr,\perp}\left(\mathbf{S}_{cr,fi,\perp}\right)$	[mm]	120 (4 h _{ef})						
Minimaler Achsabstand	S _{min,} II; S _{min,⊥}	[mm]	50						

Tabelle C33: Reduktionsfaktoren für Einzelanker unter Randeinfluss

Zuglast			Querlast					
			senkrecht zum freien Rand			parallel zum freien Rand		
	mit c ≥	αedge,N		mit c ≥	αedge,V⊥		mit c ≥	αedge,VII
•	50	1,00	→	50	0,45		50	1,00
	120	1,00		500	1,00		120	1,00

Injektionssystem HB-VMU plus für Mauerwerk			
Leistung Kalksandlochstein KSL-12DF Steinbeschreibung, Montagekennwerte, Reduktionsfaktoren	Anhang C15		



Steintyp: Kalksandlochstein KSL-12DF – Fortsetzung

Tabelle C34: Faktor für Ankergruppen

	Anordnung parall	el zur La	gerfuge		Anordnung senkrecht zur Lagerfuge				
	mit c ≥	mit s ≥	αg II, N		mit c ≥	mit s ≥	αg⊥, N		
Zuglast	Zuglast ● ●	50	50	1,50		50	50	1,00	
		120	500	2,00		120	240	2,00	
	+	mit c ≥	mit s ≥	αg II,V⊥	1	mit c ≥	mit s ≥	αд⊥,∨⊥	
Querlast		50	50	0,55		50	50	0,50	
senkrecht zum freien Rand		500	50	1,00		500	50	1,00	
Zum melen kana		500	500	2,00		500	250	2,00	
Querlast		mit c ≥	mit s ≥	αg II,V II		mit c ≥	mit s ≥	αg⊥,∨ II	
parallel	parallel ••	50	50	2,00]	50	50	1,30	
zum freien Rand		120	500	2,00		120	250	2,00	

Tabelle C35: Charakteristische Widerstände unter Zug- und Querlast

Ankarasi 0 a Siah	0:1	F66 14:	(Charakte		Widerst			nd s ≥ s _{cr}
Ankergröße	hülse Veranke- rungs-		d/d			w/d w/w	d/d w/d w/w		
	пв-	tiefe	24°C / 40°C	50°C / 80°C	72°C / 120°C	24°C / 40°C	50°C / 80°C	72°C / 120°C	alle Temperatur- bereiche
		h _{ef}	$N_{Rk,b} = N_{Rk,p}^{-1}$						V _{Rk,b} 1)
		[mm]			[k	N]		[kN]	
		Normierte i	mittlere [Druckfes	tigkeit f₀	≥ 12 N/m	nm² ²)		
M8 / M10 IG-M6	VM-SH 16	130	3,5	3,5	2,5	3,5	3,5	2,5	3,5
M12 / M16 IG-M8 /IG-M10	VM-SH 20	≥ 130	3,5	3,5	2,5	3,5	3,5	2,5	7,0

¹⁾ $N_{Rk,b,c} = N_{Rk,p,c}$ und $V_{Rk,c | II} = V_{Rk,c \perp}$ gemäß Anhang C5

Tabelle C36: Verschiebungen

Ankergröße	h _{ef}	δ _N / N	δνο	δ _{N∞}	δ _V / V	δνο	δν∞
Allkergrobe	[mm]	[mm/kN]	[mm]	[mm]	[mm/kN]	[mm]	[mm]
M8 – M12 / IG-M6 – IG-M10	alle	0,13	0,13*N _{Rk} / 3,5	2*δνο	0,55	0,55*V _{Rk} /3,5	1,5*δ _{V0}
M16					0,31	0,31*V _{Rk} /3,5	

Tabelle C37: Charakteristische Widerstände unter Brandbeanspruchung

A . l	Sieb- hülse	Effektive Verankerungstiefe	Charakteristischer Widerstand N _{Rk,b,fi} = N _{Rk,p,fi} = V _{Rk,b,fi}						
Ankergröße	нв-	h _{ef}	R30	R60	R90	R120			
		[mm]	[kN]						
M8/M10/IG-M6	VM-SH 16	130				keine Leistung			
M12/ IG-M8	VM-SH 20	≥ 130	0,37	0,27	0,17	bewertet			
M16/IG-M10	VM-SH 20	≥ 130				0,12			

Injektionssystem HB-VMU plus für Mauerwerk	
Leistungen – Kalksandlochstein KSL-12DF Gruppenfaktoren, charakteristische Widerstände und Verschiebungen	Anhang C16

²⁾ Für geringere Druckfestigkeiten müssen die Widerstände mit dem Umrechnungsfaktor nach Tabelle C31 multipliziert werden. Für Steine mit höheren Festigkeiten sind die angegebenen Werte ohne Umrechnung gültig.



Steintyp: Mauerziegel MZ-1DF Tabelle C38: Beschreibung

Steintyp	Mauerziegel MZ-1DF		
Rohdichte	ρ	[kg/dm ³]	≥ 2,0
Normierte mittlere Druckfestigkeit	f_b	[N/mm ²]	≥ 20
Umrechnungsfaktor für gerin Druckfestigkeiten	ger	е	$(f_b / 20)^{0.5} \le 1.0$
Norm		[-]	EN 771-1:2011+A1:2015
Hersteller (Länderkennung)		[-]	z.B. Wienerberger (DE)
Steinabmessungen		[mm]	≥ 240 x 115 x 55
Bohrverfahren		[-]	Hammerbohren

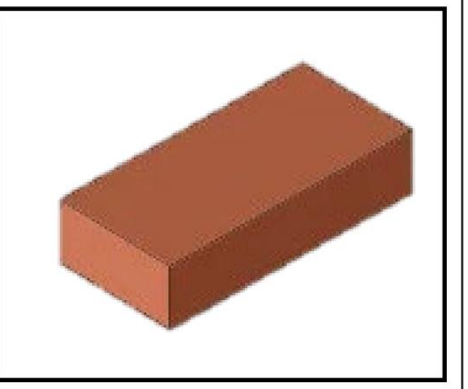


Tabelle C39: Montagekennwerte

Ankergröße	M8	M10	M12	M16	IG-M6	IG-M8	IG-M10			
Montagedrehmoment	T _{inst}	[Nm]	≤ 10	≤ 10	≤ 10	≤ 10	≤ 10	≤ 10	≤ 10	
Randabstand	Ccr	[mm]	150 (für Querlasten senkrecht zum freien Rand: c _{cr} = 240)						= 240)	
Minimaler Randabstand	Cmin	[mm]	60						č.	
Ashashatand	S _{cr,II}	[mm]	240							
Achsabstand ————————————————————————————————————		[mm]	130							
Minimaler Achsabstand	S _{min,II;} S _{min,⊥}	[mm]								

Tabelle C40: Reduktionsfaktoren für Einzelanker unter Randeinfluss

Zuglast				Querlast							
Zugi	ası			senkrecht zu	m freien F	Rand	parallel zum freien Rand				
	mit c ≥	αedge,N	Ħ		mit c ≥	αedge,V⊥		mit c ≥	αedge,V II		
	60	0,75		-	60	0,10		60	0,30		
	150	1,00			100	0,50		100	0,65		
	180	1,00]		240	1,00		150	1,00		

Tabelle C41: Faktor für Ankergruppen

	Anordnung parall	el zur La	gerfuge		Anordnung senk	recht zur	Lagerfu	ge
		mit c ≥	mit s ≥	αg II, N		mit c ≥	mit s ≥	αg⊥, N
7umloot	7last	60	65	0,85	•	60	65	1,00
Zuglast	150	65	1,15		150	65	1,20	
		150	240	2,00		150	130	2,00
		mit c ≥	mit s ≥	αg II,V⊥		mit c ≥	mit s ≥	αд⊥,∨⊥
Querlast senkrecht		60	65	0,40	•	60	65	0,30
zum freien Rand		240	65	2,00		240	65	2,00
Zum molom kuma		240	240	2,00		240	130	2,00
		mit c ≥	mit s ≥	αg II,V II		mit c ≥	mit s ≥	αg⊥,∨ II
	Querlast	60	65	1,75	•	60	65	1,10
parallel zum freien Rand		150	65	2,00		150	65	2,00
Zum molem Kana		150	240	2,00		150	130	2,00

Injektionssystem HB-VMU plus für Mauerwerk

Leistungen – Mauerziegel MZ-1DF
Steinbeschreibung, Montagekennwerte, Reduktionsfaktoren

Anhang C17



Steintyp: Mauerziegel MZ-1DF – Fortsetzung

Tabelle C42: Charakteristische Widerstände unter Zug- und Querlast

			С	s ≥ s _{cr}							
Ankergröße	Sieb-	Effektive			Nutzu	ıngsbedi	ngsbedingungen				
	hülse HB-	Veranke- rungstiefe		d/d			w/d w/w		d/d w/d w/w		
			24°C / 40°C			24°C / 40°C	50°C / 80°C	72°C / 120°C	alle Temperatur- bereiche		
		h _{ef}			$N_{Rk,b} = I$	V Rk,p 1)			V _{Rk,b} 1)		
		[mm]	[kN]						[kN]		
Normierte mittlere Druckfestigkeit f _b ≥ 20 N/mm ^{2 2)}											
M8	-	80	7,0	6,0	6,0	7,0	6,0	6,0	8,0		
M10 / IG-M6	-	≥ 90	7,0	6,0	6,0	7,0	6,0	6,0	8,0		
M12 / IG-M8	-	≥ 100	7,0	6,0	6,0	7,0	6,0	6,0	8,0		
M16 / IG-M10	-	≥ 100	8,0	6,5	6,5	8,0	6,5	6,5	12,0		
M8	VM-SH 12	80	7,0	6,0	6,0	7,0	6,0	6,0	8,0		
M8 / M10 IG-M6	VM-SH 16	≥ 85	7,0	6,0	6,0	7,0	6,0	6,0	8,0		
M12 IG-M8	VM-SH 20	≥ 85	7,0	6,0	6,0	7,0	6,0	6,0	8,0		
M16 IG-M10	VM-SH 20	≥ 85	8,0	6,5	6,5	8,0	6,5	6,5	12,0		

¹⁾ NRk,b,c = NRk,p,c und VRk,c II = VRk,c \perp gemäß Anhang C5

Tabelle C43: Verschiebungen

Ankergröße	h _{ef}	δ _N / N	δινο	δn∞	δ _V / V	δνο	δν∞
Allkergrobe	[mm]	[mm/kN]	[mm]	[mm]	[mm/kN]	[mm]	[mm]
M8 – M12 / IG-M6 – IG-M10	alle	0,1	0,1*N _{Rk} / 3,5	2*δ _{N0}	0,3	0,3*V _{Rk} /3,5	1,5*δ√0
M16				3500	0,1	0,1*V _{Rk} /3,5	and the second second

Injektionssystem HB-VMU plus für Mauerwerk

Leistungen – Mauerziegel MZ-1DF
Charakteristische Widerstände und Verschiebungen

Anhang C18

²⁾ Für geringere Druckfestigkeiten müssen die Widerstände mit dem Umrechnungsfaktor nach Tabelle C38 multipliziert werden. Für Steine mit höheren Festigkeiten sind die angegebenen Werte ohne Umrechnung gültig.



Steintyp: Mauerziegel MZ-2DF

Tabelle C44: Beschreibung

Steintyp			Mauerziegel MZ-2DF
Rohdichte	ρ	[kg/dm ³]	≥ 2,0
Normierte mittlere Druckfestigkeit	f _b	[N/mm ²]	≥ 28
Umrechnungsfaktor für geri Druckfestigkeiten	nger	е	$(f_b / 28)^{0.5} \le 1.0$
Norm		[-]	EN 771-1:2011+A1:2015
Hersteller (Länderkennung)		[-]	z.B. Wienerberger (DE)
Steinabmessungen		[mm]	≥ 240 x 115 x 113
Bohrverfahren		[-]	Hammerbohren

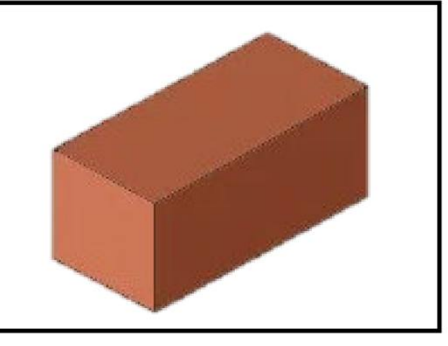


Tabelle C45: Montagekennwerte

Ankergröße			M8	M10	M12	M16	IG-M6	IG-M8	IG-M10
Montagedrehmoment	T _{inst}	[Nm]	≤ 10	≤ 10	≤ 10	≤ 10	≤ 10	≤ 10	≤ 10
Randabstand (unter Brandbeanspruchung)	Ccr (Ccr,fi)	[mm]	(fi	ir Querlas	sten senkr	150 (2 h		and: c _{cr} = :	240)
Minimaler Randabstand	Cmin	[mm]				50			
Achsabstand (unter	Scr,II (Scr,fi,II)	[mm]				240 (4 h	ef)		
Brandbeanspruchung)	$S_{cr,\perp}$ ($S_{cr,fi,\perp}$)	[mm]				240 (4 h	ef)		
Minimaler Achsabstand	S _{min,II} ; S _{min,⊥}	[mm]							

Tabelle C46: Reduktionsfaktoren für Einzelanker unter Randeinfluss

Zual	oot				Quer	last		Š	
Zugl	ası		senkrecht zum freien Rand			parallel zum freien Rand			
	mit c ≥	αedge,N		mit c ≥	αedge,V⊥		mit c ≥	αedge,V II	
	50 ¹⁾	1,00		50	0,20		50	1,00	
	150 ¹⁾	1,00		125	0,50		50	1,00	
	150	1,00		240	1,00		150	1,00	

¹⁾ Alle Anwendungen, außer bei hef = 200mm und ohne Siebhülse

Tabelle C47: Faktor für Ankergruppen

	Anordnung parall	el zur La	gerfuge		Anordnung senk	recht zur	Lagerfu	ge
		mit c ≥	mit s ≥	αg II, N		mit c ≥	mit s ≥	αg⊥, N
	<u> </u>	50 ¹⁾	50	1,50	1	50 ¹⁾	50	0,80
7alaat		150 ¹⁾	240	2,00		150 ¹⁾	240	2,00
Zuglast		180 ²⁾	60	1,00		180 ²⁾	60	1,00
		180 ²⁾	240	1,55		180 ²⁾	120	2,00
		240 ²⁾	240	2,00		180 ²⁾	120	2,00
		mit c ≥	mit s ≥	αg II,V⊥		mit c ≥	mit s ≥	αд⊥,∨⊥
Querlast		50	50	0,40		50	50	0,20
senkrecht		240	50	1,20] 😛	240	50	0,60
zum freien Rand		240	240	2,00		240	125	1,00
		240	240	2,00	 	240	240	2,00
Querlast		mit c ≥	mit s ≥	αg II,V II		mit c ≥	mit s ≥	αg⊥,∨II
		50	50	1,20]	50	50	1,00
parallel zum freien Rand		150	240	2,00		50	125	1,00
		130	240	2,00		150	240	2,00

¹⁾ Alle Anwendungen, außer bei hef = 200mm und ohne Siebhülse

Injektionssystem HB-VMU plus für Mauerwerk

Leistungen - Mauerziegel MZ-2DF

Steinbeschreibung, Montagekennwerte, Reduktions- und Gruppenfaktoren

Anhang C19

²⁾ Nur für Anwendungen mit hef = 200mm und ohne Siebhülse



Steintyp: Mauerziegel MZ-2DF - Fortsetzung

Tabelle C48: Charakteristische Widerstände unter Zug- und Querlast

			С	harakteri	stische V	Viderstär	nde bei c	≥ c _{cr} und	s ≥ s _{cr}			
Ankergröße	Sieb-	Effektive	Nutzungsbedingungen									
•	hülse HB-	Veranker ungs- tiefe	d/d				w/d w/w		d/d w/d w/w			
			24°C / 40°C	50°C / 80°C	72°C / 120°C	24°C / 40°C	50°C / 80°C	72°C / 120°C	alle Temperatur- bereiche			
		h _{ef}			N _{Rk,b} =	N _{Rk,p} 1)			V _{Rk,b} 1)			
		[mm]			[kN	٧]			[kN]			
Normierte mittlere Druckfestigkeit f _b ≥ 28 N/mm ^{2 2)}												
M8	_	80	9,0	9,0	7,5	9,0	9,0	7,5	9,5			
M10 / IG-M6	-	≥ 90	9,0	9,0	7,5	9,0	9,0	7,5	9,5			
M12 / IG-M8	-	≥ 100	9,0	9,0	7,5	9,0	9,0	7,5	12,0			
M16 / IG-M10	-	≥ 100	9,0	9,0	7,5	9,0	9,0	7,5	12,0 ³⁾			
M10 / M12 IG-M6 / IG-M8	-	200	11,5	11,5	10,0	6,0	6,0	5,0	8,0			
M16 / IG-M10	-	200	11,5	11,5	10,0	6,0	6,0	5,0	12,0			
M8	VM-SH 12	80	9,0	9,0	7,5	9,0	9,0	7,5	9,5			
M8 / M10 IG-M6	VM-SH 16	≥ 85	9,0	9,0	7,5	9,0	9,0	7,5	9,5			
M12 / IG-M8	VM-SH 20	≥ 85	9,0	9,0	7,5	9,0	9,0	7,5	12,0			
M16 / IG-M10	VM-SH 20	≥ 85	9,0	9,0	7,5	9,0	9,0	7,5	12,0 ³⁾			

¹⁾ $N_{Rk,b,c} = N_{Rk,p,c}$ und $V_{Rk,c | II} = V_{Rk,c \perp}$ gemäß Anhang C5

Tabelle C49: Verschiebungen

Ankergröße	h _{ef}	δ _N / N	διο	δn∞	δ _V / V	δνο	δν∞
Allkergrobe	[mm]	[mm/kN]	[mm]	[mm]	[mm/kN]	[mm]	[mm]
M8 – M12 / IG-M6 – IG-M10	alle	0,1	0,1*N _{Rk} / 3,5	2*δνο	0,3	0,3*V _{Rk} /3,5	1,5*δνο
M16			389 5033 8		0,1	0,1*V _{Rk} /3,5	1.60 353358

Injektionssystem HB-VMU plus für Mauerwerk

Leistung - Mauerziegel MZ-2DF
Charakteristische Widerstände und Verschiebungen

Anhang C20

²⁾ Für geringere Druckfestigkeiten müssen die Widerstände mit dem Umrechnungsfaktor nach Tabelle C44 multipliziert werden. Für Steine mit höheren Festigkeiten sind die angegebenen Werte ohne Umrechnung gültig.

³⁾ Gültig für alle Steinfestigkeitsklassen bis min. 10 N/mm²



Tabelle C50: Charakteristische Widerstände unter Brandbeanspruchung

Ankergröße	Sieb- hülse HB-	Effektive Veranke- rungstiefe	Charakteristischer Widerstand $N_{Rk,b,fi} = N_{Rk,p,fi} = V_{Rk,b,fi}$					
	HD-	h _{ef}	R30	R120				
		[mm]		[k				
M8	-	80						
M10 / IG-M6	-	≥ 90	0.51	0.44	0.30	0.22		
M12 / IG-M8	-	≥ 100	0,51	0,44	0,36	0,33		
M16 / IG-M10	-	≥ 100						
M8	VM-SH 12	80	0,36	0,26	0,15	0,10		
NAO / NAAO / I.O. NAO	\/\A_C _4C	≥ 85	0,36	0,26	0,15	0,10		
M8 / M10 / IG-M6	VIVI-5H 16	130	0,92	0,74	0,57	0,49		
M12 / M16	//// CH 30	≥ 85	0,36	0,26	0,15	0,10		
IG-M8 / IG-M10	1////_SH 201	≥ 130	0,92	0,74	0,57	0,49		

Injektionssystem HB-VMU plus für Mauerwerk

Leistungen - Mauerziegel MZ-2DF

Charakteristische Widerstände unter Brandbeanspruchung

Anhang C21



Steintyp: Hochlochziegel Hlz-10 DF

Tabelle C51: Beschreibung

Steintyp			Hochlochziegel Hlz-10 DF
Rohdichte	ρ	[kg/dm ³]	≥ 1,25
Normierte mittlere Druckfestigkeit	f _b	[N/mm ²]	≥ 20
Umrechnungsfaktor für gerin Druckfestigkeiten	nger	е	$(f_b / 20)^{0.5} \le 1.0$
Norm		[-]	EN 771-1:2011+A1:2015
Hersteller (Länderkennung)		[-]	z.B. Wienerberger (DE)
Steinabmessungen		[mm]	300 x 240 x 249
Bohrverfahren		[-]	Drehbohren



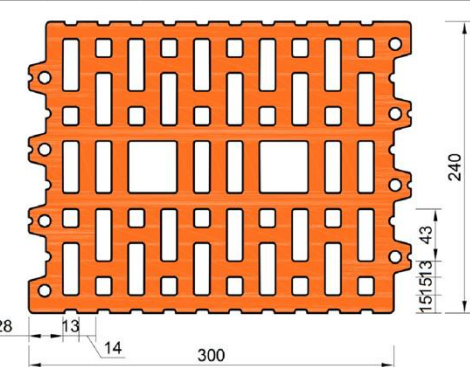


Tabelle C52: Montagekennwerte

Ankergröße			M8	M10	M12	M16	IG-M6	IG-M8	IG-M10	
Montagedrehmoment	T _{inst}	[Nm]	≤ 5	≤ 10	≤ 10	≤ 10	≤ 5	≤ 5	≤ 10	
Randabstand (unter Brandbeanspruchung)	Ccr; (Ccr,fi)	[mm]	m] 120 (2 h _{ef}) (für Querlasten senkrecht zum freie					Rand: c _{cr} = 300)		
Minimaler Randabstand c _{min} [mm]			50							
Achsabstand (unter	Scr,II (Scr,fi,II)	[mm]				300 (4 h	ef)			
Brandbeanspruchung)	Scr,⊥ (Scr,fi,⊥)	[mm]				250 (4 h	ef)			
Minimaler Achsabstand	Smin,II; Smin,⊥	[mm]	-			50				

Tabelle C53: Reduktionsfaktoren für Einzelanker unter Randeinfluss

Zugl	act			Querlast								
Zugi	สรเ		senkrecht zum freien Rand			parallel zum freien Rand						
	mit c ≥	αedge,N		mit c ≥	αedge,V⊥		mit c ≥	αedge,V II				
•	50	1,00	│	50	0,20		50	1,00				
	120	1,00		300	1,00		120	1,00				

Injektionssystem HB-VMU plus für Mauerwerk

Leistungen - Hochlochziegel Hlz-10 DF

 $Steinbeschreibung,\,Montagekennwerte,\,Reduktionsfaktoren$

Anhang C22



Steintyp: Hochlochziegel Hlz-10 – Fortsetzung

Tabelle C54: Faktor für Ankergruppen

	Anordnung parall	el zur La	gerfuge		Anordnung senk	recht zur	^r Lagerfu	ge
		mit c ≥	mit s ≥	αg II,N		mit c ≥	mit s ≥	αg⊥,N
Zuglast	• •	50	50	1,55		50	50	1,00
		120	300	2,00		120	250	2,00
Ouerleet		mit c ≥	mit s ≥	αg II,V⊥	+	mit c ≥	mit s ≥	α _{g⊥,} ∨⊥
Querlast senkrecht		50	50	0,30		50	50	0,20
zum freien Rand	•••	300	50	1,40		300	50	1,00
Zuili lieleli Kallu	 	300	300	2,00		300	250	2,00
Querlast		mit c ≥	mit s ≥	αg II,V II		mit c ≥	mit s ≥	αg⊥,∨ II
parallel	•••	50	50	1,85		50	50	1,00
zum freien Rand		120	300	2,00		120	250	2,00

Tabelle C55: Charakteristische Widerstände unter Zug- und Querlast

A	0:-1-	F.C. 1.4	Charakteristische Widerstände bei c ≥ c _{cr} und s ≥ s _{cr} Nutzungsbedingungen									
Ankergröße	Sieb- hülse HB-	Effektive Veranke- rungstiefe		d/d		w/d w/w			d/d w/d w/w			
			24°C / 50°C / 72°C / 40°C 80°C 120°C			24°C / 40°C	50°C / 80°C	72°C / 120°C	alle Temperatur- bereiche			
		h _{ef}			$N_{Rk,b} = I$	V _{Rk,p} 1)	<i>y</i>	V _{Rk,b} 1)				
		[mm]			[kN	J]			[kN]			
	j	Normierte m	ittlere Dr	uckfestig	keit f _b ≥ 2	0 N/mm ²	2)					
M8	VM-SH 12	80	2,5	2,5	2,0	2,5	2,5	2,0	8,0			
M8 / M10 /IG-M6	VM-SH 16	≥ 85	2,5	2,5	2,0	2,5	2,5	2,0	8,0			
M12 / IG-M8	VM-SH 20	≥ 85	5,0 5,0 4,5 5,0 5,0 4,5						8,0			
M16 / IG-M10	VM-SH 20	≥ 85	5,0	5,0	4,5	5,0	5,0	4,5	11,5			

¹⁾ $N_{Rk,b,c} = N_{Rk,p,c}$ und $V_{Rk,c|l} = V_{Rk,c\perp}$ gemäß Anhang C5

Tabelle C56: Verschiebungen

Ankergröße	h _{ef}	δ _N / N	δνο	δ _{N∞}	δ _V / V	δ∨0	δν∞
Allkergrobe	[mm]	[mm/kN]	[mm]	[mm]	[mm/kN]	[mm]	[mm]
M8 – M12 / IG-M6 – IG-M10	alle	0,13	0,13*N _{Rk} / 3,5	2*δνο	0,55	0,55*V _{Rk} /3,5	1,5*δ√0
M16		20	10 parties 10	N 965500 1	0,31	0,31*V _{Rk} /3,5	

Tabelle C57: Charakteristische Widerstände unter Brandbeanspruchung

Ankergröße	Sieb- hülse HB-	Effektive Veranke- rungstiefe								
3	пр-	h _{ef}	R30	R60	R90	R120				
		[mm]	\(\frac{1}{2}\)	[k	N]					
M8 / M10 / IG-M6	VM-SH 16	130								
M12 / M16 IG-M8 / IG-M10	VM-SH 20	≥ 130	0,57	0,39	0,21	0,12				

Injektionssystem HB-VMU plus für Mauerwerk	
Leistungen – Hochlochziegel Hlz-10 DF Gruppenfaktoren, charakteristische Widerstände und Verschiebungen	Anhang C23

²⁾ Für geringere Druckfestigkeiten müssen die Widerstände mit dem Umrechnungsfaktor nach Tabelle C51 multipliziert werden. Für Steine mit höheren Festigkeiten sind die angegebenen Werte ohne Umrechnung gültig.



Steintyp: Hochlochziegel Porotherm Homebric

Tabelle C58: Beschreibung

$\begin{array}{c ccccccccccccccccccccccccccccccccccc$	
$ \begin{array}{c ccccccccccccccccccccccccccccccccccc$	
Druckfestigkeiten(16 / 10) · 1 ≤ 1,0Norm[-]EN 771-1:2011+A1:2015Hersteller (Länderkennung)[-]z.B. Wienerberger (FR)Steinabmessungen[mm]500 x 200 x 299	
Hersteller (Länderkennung) [-] z.B. Wienerberger (FR) Steinabmessungen [mm] 500 x 200 x 299	
Steinabmessungen [mm] 500 x 200 x 299	
·	
Bohrverfahren [-] Drehbohren	
7,9 25 4,5 494	

Tabelle C59: Montagekennwerte

Ankergröße		M8	M10	M12	M16	IG-M6	IG-M8	IG-M10		
Montagedrehmoment	T_{inst}	[Nm]	≤ 2	≤ 2	≤ 2	≤ 2	≤ 2	≤ 2	≤ 2	
Randabstand	Ccr	[mm]								
Minimaler Randabstand	Cmin	[mm]	120							
Achsabstand	s _{cr,II} [mm] 500									
Achsabstand	S _{cr,⊥}	[mm]				300				
Minimaler Achsabstand	S _{min,II} S _{min,⊥}	[mm]				120				

Tabelle C60: Reduktionsfaktoren für Einzelanker unter Randeinfluss

Zuglast					Querlast								
				senkrecht zum freien Rand				parallel zum freien Rand					
		mit c ≥	αedge,N	+		mit c ≥	αedge,V⊥		mit c ≥	αedge,V II			
	_	120	1,00	l		120	0,30		120	0.60			
	•	120	1,00			250	0,60		120	0,60			
		120	1,00			500	1,00		200	1,00			

Injektionssystem HB-VMU plus für Mauerwerk	
Leistungen – Hochlochziegel Porotherm Homebric Steinbeschreibung, Montagekennwerte, Reduktionsfaktoren	Anhang C24



Steintyp: Hochlochziegel Porotherm Homebric – Fortsetzung

Tabelle C61: Faktor für Ankergruppen

	Anordnung parall	el zur La	gerfuge		Anordnung senkrecht zur Lagerfuge					
		mit c ≥	mit s ≥	αg II,N		mit c ≥	mit s ≥	$lpha_{ t g oldsymbol{\perp}, N}$		
Zuglast		120	100	1,00		120	100	1,00		
Zugiast		200	100	2,00		200	100	1,20		
		120	500	2,00		120	300	2,00		
		mit c ≥	mit s ≥	αg II,V⊥	Н	mit c ≥	mit s ≥	αд⊥,∨⊥		
Querlast		120	100	0,30	•	120	100	0,30		
senkrecht		250	100	0,60		250	100	0,60		
zum freien Rand		500	100	1,00		120	300	2,00		
		120	500	2,00		120	000	2,00		
Quarlast		mit c ≥	mit s ≥	αg II,V II		mit c ≥	mit s ≥	αg⊥,∨II		
Querlast parallel	•	120	100	1,00		120	100	1,00		
zum freien Rand		120	500	2,00		120	300	2,00		

Tabelle C62: Charakteristische Widerstände unter Zug- und Querlast

			С	Charakteristische Widerstände bei c≥ c _{cr} und s							
Ankergröße	Sieb-	Effektive			Nutzu	ıngsbedi	ingunger	1	3		
	hülse HB-	Veranke- rungstiefe		d/d			w/d w/w		d/d w/d w/w		
			24°C / 40°C	50°C / 80°C	72°C / 120°C	24°C / 40°C	50°C / 80°C	72°C / 120°C	alle Temperatur- bereiche		
		h _{ef}			$N_{Rk,b} = I$		V _{Rk,b} 1)				
		[mm]		[kN]					[kN]		
		Normierte m	ittlere Dr	uckfestig	keit f _b ≥ 1	0 N/mm ²	2 2)				
M8	VM-SH 12	80			1,2	2			3,0		
M8 / M10/	\/M CII 40	≥ 85			1,2	2			3,0		
IG-M6	VM-SH 16	130		1,5							
M12 / M16/	V/M CH 20	≥ 85		1,2							
IG-M8 / IG-M10	VM-SH 20	≥ 130			1,	5			4,0		

 $^{^{1)}}$ $N_{\text{Rk,b,c}}$ = $N_{\text{Rk,p,c}}$ und $V_{\text{Rk,c II}}$ = $V_{\text{Rk,c }\perp}$ gemäß Anhang C5

Tabelle C63: Verschiebungen

Ankergröße	keraröße h _{ef}		δινο	δn∞	δ _V / V	δνο	δν∞
Alikergroße	[mm]	[mm/kN]	[mm]	[mm]	[mm/kN]	[mm]	[mm]
M8 – M12 / IG-M6 – IG-M10	alle	0,13	0,13*N _{Rk} / 3,5	2*δνο	0,55	0,55*V _{Rk} /3,5	1,5*δ√0
M16		.,	-,	_ = =	0,31	0,31*V _{Rk} /3,5	,,,,,,,,,,,,,,,,,,,,,,,,,,,,,,,,,,,,,,,

Injektionssystem HB-VMU plus für Mauerwerk	Anhang C25
Leistungen – Hochlochziegel Porotherm Homebric Gruppenfaktoren und charakteristische Widerstände und Verschiebungen	3

²⁾ Für geringere Druckfestigkeiten müssen die Widerstände mit dem Umrechnungsfaktor nach Tabelle C58 multipliziert werden. Für Steine mit höheren Festigkeiten sind die angegebenen Werte ohne Umrechnung gültig.



Steintyp: Hochlochziegel BGV Thermo

Tabelle C64: Beschreibung

Steintyp	Hochlochziegel BGV Thermo	<i>51110</i> 000
Rohdichte ρ [kg/dm ³]	≥ 0,60	
Normierte mittlere Druckfestigkeit f _b [N/mm ²]	≥ 10	
Umrechnungsfaktor für geringere Druckfestigkeiten	$(f_b / 10)^{0.5} \le 1.0$	
Norm [-]	EN 771-1:2011+A1:2015	
Hersteller (Länderkennung) [-]	z.B. Leroux (FR)	
Steinabmessungen [mm]	500 x 200 x 314	
Bohrverfahren [-]	Drehbohren	
-42 <u>28</u>	500	200 2

Tabelle C65: Montagekennwerte

Ankergröße		M8	M10	M12	M16	IG-M6	IG-M8	IG-M10		
Montagedrehmoment	T _{inst}	[Nm]	≤ 2	≤ 2	≤ 2	≤ 2	≤ 2	≤ 2	≤ 2	
Randabstand	Ccr	[mm]								
Minimaler Randabstand	C _{min}	[mm]	120							
Achsabstand	Scr,II	[mm]	mm] 500							
Achsabstand	Scr,⊥	[mm]				315				
Minimaler Achsabstand	S _{min,II} S _{min,⊥}	[mm]	120							

Tabelle C66: Reduktionsfaktoren für Einzelanker unter Randeinfluss

Zugi	loot		Querlast							
Zugi	iasi		senkrecht zum freien Rand parallel zum freien Rand					and		
	mit c ≥	αedge,N		mit c ≥	αedge,V⊥		mit c ≥	αedge,V II		
	120	1.00	-	120	0,30		120	0.60		
	120	1,00		250	0,60	 	120	0,60		
	120	1,00		500	1,00		250	1,00		

Injektionssystem HB-VMU plus für Mauerwerk	
Leistung – Hochlochziegel BGV Thermo Beschreibung, Montagekennwerte und Reduktionsfaktoren	Anhang C26



Steintyp: Hochlochziegel BGV Thermo – Fortsetzung

Tabelle C67: Faktor für Ankergruppen

	Anordnung parall	el zur Lag	gerfuge		Anordnung senk	recht zur	^r Lagerfu	ge
Zuglast		mit c ≥	mit s ≥	αg II,N		mit c ≥	mit s ≥	$lpha_{ t gL,N}$
		120	100	1,00		120	100	1,00
		200	100	1,70		200	100	1,10
		120	500	2,00		120	315	2,00
Querlast senkrecht		mit c ≥	mit s ≥	α _g II,∨⊥		mit c ≥	mit s ≥	αд⊥,∨⊥
	•••	120	100	1,00	-	120	100	1,00
zum freien Rand		120	500	2,00		120	315	2,00
Quarlant		mit c ≥	mit s ≥	αg II,V II		mit c ≥	mit s ≥	αg⊥,∨ II
Querlast senkrecht zur Lagerfuge	•	120	100	1,00		120	100	1,00
		120	500	2,00		120	315	2,00

Tabelle C68: Charakteristische Widerstände unter Zug- und Querlast

			С	harakteri	stische V	Viderstä	nde bei c	≥ c _{cr} und	s ≥ s _{cr}		
Ankergröße	Sieb-	Effektive		Nutzungsbedingungen							
	hülse HB-	Veranke- rungstiefe		d/d			w/d w/w		d/d w/d w/w		
			24°C / 40°C	50°C / 80°C	72°C / 120°C	24°C / 40°C	50°C / 80°C	72°C / 120°C	alle Temperatur- bereiche		
		h _{ef}		$N_{Rk,b} = N_{Rk,p}$ 1)					V _{Rk,b} 1)		
		[mm]		[kN]					[kN]		
		Normierte m	ittlere Dr	uckfestig	keit f _b ≥ 1	l0 N/mm²	2 2)				
M8	VM-SH 12	80			0,	9			3,5		
M8 / M10/	VM-SH 16	≥ 85			0,	9			3,5		
IG-M6	VIVI-OF 16	130	2,0	2,0	1,5	2,0	2,0	1,5	4,0		
M12 / M16/	VM-SH 20	≥ 85	≥ 85 0,9						4,0		
IG-M8 / IG-M10	VIVI-SH ZU	≥ 130	2,0	2,0	1,5	2,0	2,0	1,5	4,0		

¹⁾ $N_{Rk,b,c} = N_{Rk,p,c}$ und $V_{Rk,c|I|} = V_{Rk,c\perp}$ gemäß Anhang C5

Tabelle C69: Verschiebungen

Ankergröße	h _{ef}	δ _N / N	διο	δn∞	δ _V / V	δνο	δν∞
Allkergrobe	[mm]	[mm/kN]	[mm]	[mm]	[mm/kN]	[mm]	[mm]
M8 – M12 / IG-M6 – IG-M10	alle 0,13		0,13*N _{Rk} / 3,5	2*δνο	0,55	0,55*V _{Rk} /3,5	1,5*δ√0
M16	7.555		est of the establishment of the second		0,31	0,31*V _{Rk} /3,5	, , , , , , ,

Injektionssystem HB-VMU plus für Mauerwerk	
Leistungen – Hochlochziegel BGV Thermo Gruppenfaktoren, charakteristische Widerstände und Verschiebungen	Anhang C27

²⁾ Für geringere Druckfestigkeiten müssen die Widerstände mit dem Umrechnungsfaktor nach Tabelle C64 multipliziert werden. Für Steine mit höheren Festigkeiten sind die angegebenen Werte ohne Umrechnung gültig.



Steintyp: Hochlochziegel Calibric R+

Tabelle C70: Beschreibung

Steintyp		Hochlochziegel Calibric R+	
Rohdichte ρ	[kg/dm ³]	≥ 0,60	
Normierte mittlere Druckfestigkeit	[N/mm ²]	≥ 12	
Umrechnungsfaktor für geringe Druckfestigkeiten	ere	$(f_b / 12)^{0.5} \le 1.0$	
Norm	[-]	EN 771-1:2011+A1:2015	
Hersteller (Länderkennung)	[-]	z.B. Leroux (FR)	
Steinabmessungen			
Bohrverfahren	[-]	Drehbohren	
			200 5 200
E	40		200

Tabelle C71: Montagekennwerte

Ankergröße	Ankergröße				M12	M16	IG-M6	IG-M8	IG-M10	
Montagedrehmoment	T_{inst}	[Nm]	≤2 ≤2 ≤2 ≤2 ≤2 ≤2						≤ 2	
Randabstand	Ccr	[mm]	120 (für Querlasten senkrecht zum freien Rand: c _{cr} = 500)							
Minimaler Randabstand	Cmin	[mm]	120							
Achsabstand	Scr, II	[mm]	500							
Acrisabstand	Scr, ⊥	[mm]	315							
Minimaler Achsabstand	S _{min,} II S _{min,} ⊥	[mm]	120							

Tabelle C72: Reduktionsfaktoren für Einzelanker unter Randeinfluss

Zugl	act		Querlast							
Zugi	ası		senkrecht zu	m freien F	Rand	parallel zum	freien Rand			
	mit c ≥	αedge,N		mit c ≥	αedge,V⊥		mit c ≥	αedge,V II		
	120	1,00	-	120	0,15		120	0,30		
	120	1,00		250	0,30] []	120	0,30		
	120	1,00		500	1,00		250	1,00		

Injektionssystem HB-VMU plus für Mauerwerk	
Leistungen – Hochlochziegel Calibric R+ Steinbeschreibung, Montagekennwerte, Reduktionsfaktoren	Anhang C28



Steintyp: Hochlochziegel Calibric R+ – Fortsetzung

Tabelle C73: Faktor für Ankergruppen

	Anordnung parall	el zur La	gerfuge		Anordnung senk	recht zur	^r Lagerfu	ge
Zuglast		mit c ≥	mit s ≥	αg II,N		mit c ≥	mit s ≥	$lpha_{ t gL,N}$
		120	100	1,00		120	100	1,00
		175	100	1,70		175	100	1,10
		120	500	2,00		120	315	2,00
Querlast senkrecht		mit c ≥	mit s ≥	α _g II,∨⊥		mit c ≥	mit s ≥	αд⊥,∨⊥
	•••	120	100	1,00	-	120	100	1,00
zum freien Rand		120	500	2,00		120	315	2,00
Quarlast		mit c ≥	mit s ≥	αg II,V II		mit c ≥	mit s ≥	αg⊥,∨II
Querlast parallel zum freien Rand	•	120	100	1,00		120	100	α _{g⊥,N} 1,00 1,10 2,00 α _{g⊥,V⊥} 1,00 2,00
		120	500	2,00		120	315	2,00

Tabelle C74: Charakteristische Widerstände unter Zug- und Querlast

						**						
			С	harakteri	stische V	Viderstäi	nde bei c	≥ c _{cr} und	s ≥ s _{cr}			
Ankergröße	Sieb-	Effektive		Nutzungsbedingungen								
	hülse HB-	Veranke- rungs- tiefe	d/d				w/d w/w	d/d w/d w/w				
			24°C / 40°C	50°C / 80°C	72°C / 120°C	24°C / 40°C	50°C / 80°C	72°C / 120°C	alle Temperatur- bereiche			
		h _{ef}	$N_{Rk,b} = N_{Rk,p}^{-1}$					V _{Rk,b} 1)				
		[mm]			[kN	1]		[kN]				
		Normierte m	ittlere Dr	uckfestig	keit f₀ ≥ 1	2 N/mm ²	2 2)					
M8	VM-SH 12	80	1,2	1,2	0,9	1,2	1,2	0,9	4,0			
M8 / M10/	VM CH4C	≥ 85	1,2	1,2	0,9	1,2	1,2	0,9	5,5			
IG-M6 VM-SH16	VIVI-SH 16	130	1,5	1,5	1,2	1,5	1,5	1,2	5,5			
M12 / M16	V/M CHOO	≥ 85	1,2	1,2	0,9	1,2	1,2	0,9	8,5			
IG-M8 /IG-M10	VM-SH20	≥ 130	1,5	1,5	1,2	1,5	1,5	1,2	8,5			

¹⁾ $N_{Rk,b,c} = N_{Rk,p,c}$ und $V_{Rk,c|l} = V_{Rk,c\perp}$ gemäß Anhang C5

Tabelle C75: Verschiebungen

Ankergröße	h _{ef}	δ _N / N	δινο	δn∞	δ _V / V	δνο	δν∞
Alikergrobe	[mm]	[mm/kN]	[mm]	[mm]	[mm/kN]	[mm]	[mm]
M8 – M12 / IG-M6 – IG-M10	alle	0,13	0,13*N _{Rk} / 3,5	2*δ _{N0}	0,55	0,55*V _{Rk} /3,5	1,5*δ√0
M16	3,550,000,000	,			0,31	0,31*V _{Rk} /3,5	,

Injektionssystem HB-VMU plus für Mauerwerk	
Leistungen – Hochlochziegel Calibric R+ Gruppenfaktoren und charakteristische Widerstände und Verschiebungen	Anhang C29

²⁾ Für geringere Druckfestigkeiten müssen die Widerstände mit dem Umrechnungsfaktor nach Tabelle C70 multipliziert werden. Für Steine mit höheren Festigkeiten sind die angegebenen Werte ohne Umrechnung gültig.



Steintyp: Hochlochziegel Urbanbric

Tabelle C76: Beschreibung

Steintyp	Hochlochziegel Urbanbric	
Rohdichte ρ [kg/dm ³]	≥ 0,70	
Normierte mittlere Druckfestigkeit f _b [N/mm ²]	≥ 12	
Umrechnungsfaktor für geringere Druckfestigkeiten	$(f_b / 12)^{0,5} \le 1,0$	
Norm [-]	EN 771-1:2011+A1:2015	
Hersteller (Länderkennung) [-]	z.B. Imerys (FR)	
Steinabmessungen [mm]	560 x 200 x 274	
Bohrverfahren [-]	Drehbohren	
		20 6,5 200
9 -40 6	560	2,6

Tabelle C77: Montagekennwerte

Ankergröße			M8	M10	M12	M16	IG-M6	IG-M8	IG-M10
Montagedrehmoment	T _{inst}	[Nm]	≤ 2	≤ 2	≤ 2	≤ 2	≤ 2	≤ 2	≤ 2
Randabstand	Ccr	[mm]	120	(für Quer	lasten ser	nkrecht zu	m freien F	Rand: c _{cr} =	500)
Minimaler Randabstand	C _{min}	[mm]				120			
Achsabstand	Scr, II	[mm]				560			
Achsabstand	Scr, ⊥	[mm]				275			
Minimaler Achsabstand	S _{min, II;} S _{min, ⊥}	[mm]	100						

Tabelle C78: Reduktionsfaktoren für Einzelanker unter Randeinfluss

Zuglaet				Querlast								
Zuglast				senkrecht zu	senkrecht zum freien Rand parallel zum fre							
		mit c ≥	αedge,N		mit c ≥	αedge,V⊥		mit c ≥	αedge,V II			
		120	1.00	-	120	0,25		120	0.50			
		120	1,00		250	0,50	 	120	0,50			
		120	1,00		500	1,00		250	1,00			

Injektionssystem HB-VMU plus für Mauerwerk	
Leistungen – Hochlochziegel Urbanbric Steinbeschreibung, Montagekennwerte, Reduktionsfaktoren	Anhang C30



Steintyp: Hochlochziegel Urbanbric – Fortsetzung

Tabelle C79: Faktor für Ankergruppen

	Anordnung parall	el zur La	gerfuge		Anordnung senkrecht zur Lagerfuge					
		mit c ≥	mit s ≥	αg II,N		mit c ≥	mit s ≥	αg⊥,N		
Zuglast		120	100	1,00		120	100	1,00		
Zuglast		185	100	1,90		185	100	1,10		
		120	560	2,00		120	275	2,00		
Querlast		mit c ≥	mit s ≥	α _g II,∨⊥		mit c ≥	mit s ≥	αд⊥,∨⊥		
senkrecht	•••	120	100	1,00	-	120	100	1,00		
zum freien Rand		120	560	2,00		120	275	2,00		
Querlast		mit c ≥	mit s ≥	αg II,V II		mit c ≥	mit s ≥	α _{g⊥,} ∨ II		
parallel		120	100	1,00		120	100	1,00		
zum freien Rand		120	560	2,00		120	275	2,00		

Tabelle C80: Charakteristische Widerstände unter Zug- und Querlast

			С	harakteri	stische V	Viderstär	nde bei c	≥ c _{cr} und	s ≥ s _{cr}			
Ankergröße	Sieb-	Effektive		Nutzungsbedingungen								
	hülse HB-	Veranke- rungs- tiefe		d/d			w/d w/w		d/d w/d w/w			
			24°C / 50°C / 72°C / 40°C 80°C 120°C		24°C / 40°C	50°C / 80°C	72°C / 120°C	alle Temperatur- bereiche				
		h _{ef}			$N_{Rk,b} = 1$	V Rk,p 1)			V _{Rk,b} 1)			
		[mm]			[kN	I]		[kN]				
		Normierte m	ittlere Dr	uckfestig	keit f₀ ≥ 1	2 N/mm ²	2)					
M8	VM-SH 12	80	1,2	1,2	0,9	1,2	1,2	0,9	4,5			
M8 / M10/	VM CH 4C	≥ 85	1,2	1,2	0,9	1,2	1,2	0,9	4,5			
IG-M6	VM-SH 16	130	3,0	3,0	2,5	3,0	3,0	2,5	4,5			
M12 / M16	V/M CH 20	≥ 85	1,2	1,2	0,9	1,2	1,2	0,9	5,0			
IG-M8 / IG-M10	VM-SH 20	≥ 130	3,0	3,0	2,5	3,0	3,0	2,5	5,0			

¹⁾ $N_{Rk,b,c} = N_{Rk,p,c}$ und $V_{Rk,c|II} = V_{Rk,c\perp}$ gemäß Anhang C5

Tabelle C81: Verschiebungen

Ankergröße	h _{ef}	δ _N / N	δινο	δn∞	δ _V / V	δνο	δ∨∞
Allkergrobe	[mm]	[mm/kN]	[mm]	[mm]	[mm/kN]	[mm]	[mm]
M8 – M12 / IG-M6 – IG-M10	alle	0,13	0,13*N _{Rk} / 3,5	2*δνο	0,55	0,55*V _{Rk} /3,5	1,5*δ√0
M16		,			0,31	0,31*V _{Rk} /3,5	. ,

Injektionssystem HB-VMU plus für Mauerwerk	
Leistungen – Hochlochziegel Urbanbric Gruppenfaktoren, charakteristische Widerstände und Verschiebungen	Anhang C31

²⁾ Für geringere Druckfestigkeiten müssen die Widerstände mit dem Umrechnungsfaktor nach Tabelle C76 multipliziert werden. Für Steine mit höheren Festigkeiten sind die angegebenen Werte ohne Umrechnung gültig.



Steintyp: Lochziegel Brique Creuse C40

Tabelle C82: Beschreibung

Steintyp	Lochziegel Brique Creuse C40
Rohdichte ρ [kg/dm ³]] ≥ 0,70
$\label{eq:norm_entropy} \mbox{Normierte mittlere} \\ \mbox{Druckfestigkeit} \qquad \qquad \mbox{f_b} \qquad \mbox{[N/mm^2]}$	≥ 12
Umrechnungsfaktor für geringere Druckfestigkeiten	$(f_b / 12)^{0.5} \le 1.0$
Norm [-]	EN 771-1:2011+A1:2015
Hersteller (Länderkennung) [-]	z.B. Terreal (FR)
Steinabmessungen [mm]	500 x 200 x 200
Bohrverfahren [-]	Drehbohren
	000 200

Tabelle C83: Montagekennwerte

Ankergröße			M8	M10	M12	M16	IG-M6	IG-M8	IG-M10
Montagedrehmoment	Tinst	[Nm]	≤ 2	≤ 2	≤ 2	≤ 2	≤ 2	≤ 2	≤ 2
Randabstand	Ccr	[mm]	120	(für Quer	lasten ser	nkrecht zu	ım freien F	Rand: c _{cr} =	500)
Minimaler Randabstand	Cmin	[mm]				120			
Achsabstand	Scr, II	[mm]	500						
Achsabstand	Scr, ⊥	[mm]				200			
Minimaler Achsabstand	S _{min, II} S _{min, ⊥}	[mm]	200						

Tabelle C84: Reduktionsfaktoren für Einzelanker unter Randeinfluss

Zugl	act		Querlast							
Zugi	สธเ		senkrecht zu	enkrecht zum freien Rand parallel zum freien Rand						
	mit c ≥	αedge,N		mit c ≥	αedge,V⊥		mit c ≥	αedge,V II		
•	120	1,00	│	120	0,83		120	1,00		
	120	1,00		500	1,00		250	1,00		

Injektionssystem HB-VMU plus für Mauerwerk	
Leistungen – Lochziegel Brique Creuse C40 Steinbeschreibung, Montagekennwerte, Reduktionsfaktoren	Anhang C32



Steintyp: Lochziegel Brique Creuse C40 – Fortsetzung

Tabelle C85: Faktor für Ankergruppen

	Anordnung parall	el zur Lag	gerfuge		Anordnung senk	recht zui	^r Lagerfu	ge
		mit c ≥	mit s ≥	αg II,N		mit c ≥	mit s ≥	αg⊥,N
Zuglast		120	500	2,00		120	200	2,00
Overdent		mit c ≥	mit s ≥	αg II,V⊥		mit c ≥	mit s ≥	αд⊥,∨⊥
Querlast senkrecht zum freien Rand		120	500	2,00		120	200	2,00
Overdent		mit c ≥	mit s ≥	αg II,V II		mit c ≥	mit s ≥	αg⊥,∨ II
Querlast parallel zum freien Rand		120	500	2,00		120	200	2,00

Tabelle C86: Charakteristische Widerstände unter Zug- und Querlast

				Charakteristische Widerstände bei c ≥ c _{cr} und s ≥ s _{cr}							
Ankergröße	Sieb-	Effektive	Nutzungsbedingungen								
	hülse HB-	Veranke- rungs- tiefe	d/d			w/d w/w			d/d w/d w/w		
			24°C / 40°C	50°C / 80°C	72°C / 120°C	24°C / 40°C	50°C / 80°C	72°C / 120°C	alle Temperatur- bereiche		
		h _{ef}			$N_{Rk,b} = I$	V Rk,p 1)			V _{Rk,b} 1)		
		[mm]			[kN	1]			[kN]		
		Normierte m	ittlere Dr	uckfestig	keit f _b ≥ 1	2 N/mm ²	2)				
M8	VM-SH 12	80									
M8 / M10/ IG-M6	VM-SH 16	≥ 85	1,2	1,2	0,9	1,2	1,2	0,9	1,5		
M12 / M16 / IG-M8 / IG-M10	VM-SH 20	≥ 85									

¹⁾ $N_{Rk,b,c} = N_{Rk,p,c}$ und $V_{Rk,c | II} = V_{Rk,c \perp}$ gemäß Anhang C5

Tabelle C87: Verschiebungen

Ankergröße	h _{ef}	δ _N / N	διο	δn∞	δ _V / V	δνο	δν∞	
Allkergroße	[mm]	[mm/kN]	[mm]	[mm]	[mm/kN]	[mm]	[mm]	
M8 – M12 / IG-M6 – IG-M10	alle	0,13	0,13*N _{Rk} / 3,5	2*δνο	0,55	0,55*V _{Rk} /3,5	1,5*δ√0	
M16		,	.,	_ = 5110	0,31	0,31*V _{Rk} /3,5	.,	

Injektionssystem HB-VMU plus für Mauerwerk	
Leistungen – Lochziegel Brique Creuse C40 Gruppenfaktoren, charakteristische Widerstände und Verschiebungen	Anhang C33

²⁾ Für geringere Druckfestigkeiten müssen die Widerstände mit dem Umrechnungsfaktor nach Tabelle C82 multipliziert werden. Für Steine mit höheren Festigkeiten sind die angegebenen Werte ohne Umrechnung gültig.



Steintyp: Lochziegel Blocchi Leggeri

Tabelle C88: Beschreibung

Steintyp	Lochziegel Blocchi Leggeri	
Rohdichte ρ [kg/dm ³]	≥ 0,60	
Normierte mittlere Druckfestigkeit f _b [N/mm ²]	≥ 12	
Umrechnungsfaktor für geringere Druckfestigkeiten	$(f_b / 12)^{0.5} \le 1.0$	
Norm [-]	EN 771-1:2011+A1:2015	
Hersteller (Länderkennung) [-]	z.B. Wienerberger (IT)	
Steinabmessungen [mm]	250 x 120 x 250	
Bohrverfahren [-]	Drehbohren	
43 6	250	32 6

Tabelle C89: Montagekennwerte

Ankergröße		M8	M10	M12	M16	IG-M6	IG-M8	IG-M10	
Montagedrehmoment	Tinst	[Nm]	≤ 2	≤ 2	≤ 2	≤ 2	≤ 2	≤ 2	≤ 2
Randabstand	Ccr	[mm]	120 (für Querlasten senkrecht zum freien Rand: c _{cr} = 250)						
Minimaler Randabstand	Cmin	[mm]	60						
Achsabstand	Scr, II	[mm]				250			
Achsabstand	Scr, ⊥	[mm]	250						
Minimaler Achsabstand	S _{min, II} S _{min, ⊥}	[mm]	100						

Tabelle C90: Reduktionsfaktoren für Einzelanker unter Randeinfluss

Zugl	act		Querlast							
Zugi	สธเ		senkrecht zum freien Rand parallel zum freien Rand					and		
	mit c ≥	αedge,N		mit c ≥	αedge,V⊥		mit c ≥	αedge,V II		
•	60	1,00	—	60	0,40		60	0,40		
	120	1,00		250	1,00		120	1,00		

Injektionssystem HB-VMU plus für Mauerwerk	
Leistungen – Lochziegel Blocchi Leggeri Steinbeschreibung, Montagekennwerte, Reduktionsfaktoren	Anhang C34



Steintyp: Lochziegel Blocchi Leggeri – Fortsetzung

Tabelle C91: Faktor für Ankergruppen

	Anordnung parall	el zur La	gerfuge		Anordnung senk	recht zui	r Lagerfu	ge
		mit c ≥	mit s ≥	αg II, N		mit c ≥	mit s ≥	αg⊥, N
Zuglast	• •	60	100	1,00		60	100	2,00
		120	250	2,00		120	250	2,00
0		mit c ≥	mit s ≥	αg II,V⊥		mit c ≥	mit s ≥	αд⊥,∨⊥
Querlast senkrecht		60	100	0,40		60	100	0,40
zum freien Rand		250	100	1,00		250	100	1,00
Zum melen Kana		250	250	2,00		250	250	2,00
Quarlant		mit c ≥	mit s ≥	αg II,V II		mit c ≥	mit s ≥	αg⊥,∨ II
Querlast		60	100	0,40		60	100	0,40
parallel zum freien Rand		120	100	1,00		120	100	1,00
Zaili lieleli Kalla		120	250	2,00		120	250	2,00

Tabelle C92: Charakteristische Widerstände unter Zug- und Querlast

			С	harakteri	nde bei c	≥ c _{cr} und	s ≥ s _{cr}				
Ankergröße	Sieb- Effektive		Nutzungsbedingungen								
	hülse HB-	Veranke- rungs- tiefe		d/d		w/d w/w			d/d w/d w/w		
			24°C / 40°C	50°C / 80°C	72°C / 120°C	24°C / 40°C	50°C / 80°C	72°C / 120°C	alle Temperatur- bereiche		
		h _{ef}			$N_{Rk,b} = 1$	V Rk,p 1)			V _{Rk,b} 1)		
		[mm]			[kN	1]		[kN]			
		Normierte m	ittlere Dr	uckfestig	keit f _b ≥ 1	2 N/mm ²	2)				
M8	VM-SH 12	80									
M8 / M10/ IG-M6	VM-SH 16	≥ 85	0,6	0,6	0,6	0,6	0,6	0,6	3,5		
M12 / M16 / IG-M8 / IG-M10	VM-SH 20	≥ 85									

 $^{^{1)}}$ $N_{\text{Rk,b,c}}$ = $N_{\text{Rk,p,c}}$ und $V_{\text{Rk,c II}}$ = $V_{\text{Rk,c }\perp}$ gemäß Anhang C5

Tabelle C93: Verschiebungen

Ankararößa	Ankergröße h _{ef}		δινο	δn∞	δ _V / V	δνο	δν∞
Alikelglobe	[mm]	[mm/kN]	[mm]	[mm]	[mm/kN]	[mm]	[mm]
M8 – M12 / IG-M6 – IG-M10	alle	0,13	0,13*N _{Rk} / 3,5	2 *δ _{N0}	0,55	0,55*V _{Rk} /3,5	1,5*δ√0
M16			,		0,31	0,31*V _{Rk} /3,5	,

Injektionssystem HB-VMU plus für Mauerwerk	
Leistungen – Lochziegel Blocchi Leggeri Gruppenfaktoren, charakteristische Widerstände und Verschiebungen	Anhang C35

²⁾ Für geringere Druckfestigkeiten müssen die Widerstände mit dem Umrechnungsfaktor nach Tabelle C88 multipliziert werden. Für Steine mit höheren Festigkeiten sind die angegebenen Werte ohne Umrechnung gültig.



Steintyp: Hochlochziegel Doppio Uni

Tabelle C94: Beschreibung

Steintyp		Hochlochziegel Doppio Uni	
Rohdichte ρ	[kg/dm³]	≥ 0,90	
Normierte mittlere Druckfestigkeit	[N/mm ²]	≥ 28	
Jmrechnungsfaktor für geringe Druckfestigkeiten	ere	$(f_b / 28)^{0.5} \le 1.0$	
Norm	[-]	EN 771-1:2011+A1:2015	
Hersteller (Länderkennung)	[-]	z.B. Wienerberger (IT)	
Steinabmessungen	[mm]	250 x 120 x 120	
Bohrverfahren	[-]	Drehbohren	
			11 31 120

Tabelle C95: Montagekennwerte

Ankergröße		M8	M10	M12	M16	IG-M6	IG-M8	IG-M10	
Montagedrehmoment	T_{inst}	[Nm]	≤ 2	≤ 2	≤ 2	≤ 2	≤ 2	≤ 2	≤ 2
Randabstand	Ccr	[mm]	120	(für Quer	lasten ser	nkrecht zu	ım freien F	Rand: c _{cr} =	250)
Minimaler Randabstand	C _{min}	[mm]	100						
Achsabstand	Scr, II	[mm]				250			
Acrisabstand	Scr, ⊥	[mm]				120			
Minimaler Achsabstand	S _{min, II} S _{min, ⊥}	[mm]	100						

Tabelle C96: Reduktionsfaktoren für Einzelanker unter Randeinfluss

Zual	Zuglast				Querlast								
Zugi	Zugiast			senkrecht zu	m freien F	reien Rand parallel zum freien Rand							
	mit c ≥	αedge,N	T		mit c ≥	αedge,V⊥		mit c ≥	αedge,VII				
•	100	1,00			100	0,50		100	1,00				
	120	1,00	F		250	1,00	1	120	1,00				

Injektionssystem HB-VMU plus für Mauerwerk	
Leistungen – Hochlochziegel Doppio Uni Steinbeschreibung, Montagekennwerte, Reduktionsfaktoren	Anhang C36



Steintyp: Hochlochziegel Doppio Uni- Fortsetzung

Tabelle C97: Faktor für Ankergruppen

	Anordnung parall	el zur La	gerfuge		Anordnung senkrecht zur Lagerfuge					
		mit c ≥	mit s ≥	αg II,N		mit c ≥	mit s ≥	αg⊥,N		
Zuglast	• •	100	100	1,00		100	120	2,00		
		120	250	2,00		120	120	2,00		
Querlast		mit c ≥	mit s ≥	α _g II,∨⊥		mit c ≥	mit s ≥	αд⊥,∨⊥		
senkrecht	•••	100	100	1,00	-	100	100	1,00		
zum freien Rand		250	250	2,00		250	120	2,00		
Quarlant		mit c ≥	mit s ≥	αg II,V II		mit c ≥	mit s ≥	αg⊥,∨ II		
Querlast parallel		100	100	1,00		100	100	1,00		
zum freien Rand		120	250	2,00		120	120	2,00		

Tabelle C98: Charakteristische Widerstände unter Zug- und Querlast

			С	harakteri	stische V	Viderstäi	nde bei c	≥ c _{cr} und	s ≥ s _{cr}					
Ankergröße	Sieb-	Effektive			Nutzu	ıngsbedi	ngunger	1						
	hülse HB-	Veranke- rungstiefe		d/d			w/d w/w		d/d w/d w/w					
			24°C / 40°C	50°C / 80°C	72°C / 120°C	24°C / 40°C	50°C / 80°C	72°C / 120°C	alle Temperatur- bereiche					
		h _{ef}			N _{Rk,b} = I	N _{Rk,p} 1)			V _{Rk,b} 1)					
		[mm]		[kN]					[kN]					
	1	Normierte m	ittlere Dr	uckfestig	keit f₀ ≥ 2	28 N/mm ²	2)							
M8	VM-SH 12	80												
M8 / M10/ IG-M6	VM-SH 16	≥ 85	1,2	1,2	0,9	1,2	1,2	0,9	2,5					
M12 / M16 / IG-M8 / IG-M10	VM-SH 20	≥ 85												

 $^{^{1)}}$ $N_{\text{Rk,b,c}}$ = $N_{\text{Rk,p,c}}$ und $V_{\text{Rk,c II}}$ = $V_{\text{Rk,c }\perp}$ gemäß Anhang C5

Tabelle C99: Verschiebungen

Ankergröße	h _{ef}	δ _N / N	δινο	δn∞	δ _V / V	δνο	δν∞
Allkergrobe	[mm]	[mm/kN]	[mm]	[mm]	[mm/kN]	[mm]	[mm]
M8 – M12 / IG-M6 – IG-M10	alle	0,13	0,13*N _{Rk} / 3,5	2*δ _{N0}	0,55	0,55*V _{Rk} /3,5	1,5*δνο
M16	5000 5		.,		0,31	0,31*V _{Rk} /3,5	

Injektionssystem HB-VMU plus für Mauerwerk	
Leistungen – Hochlochziegel Doppio Uni Gruppenfaktoren, charakteristische Widerstände und Verschiebungen	Anhang C37

²⁾ Für geringere Druckfestigkeiten müssen die Widerstände mit dem Umrechnungsfaktor nach Tabelle C94 multipliziert werden. Für Steine mit höheren Festigkeiten sind die angegebenen Werte ohne Umrechnung gültig.



Steintyp: Hochlochziegel Coriso WS07 mit integrierter Wärmedämmung

Tabelle C100: Beschreibung

Steintyp		Hochlochziegel Coriso WS07	
Füllung		Mineralwolle	
Rohdichte ρ	[kg/dm³]	≥ 0,55	
Normierte mittlere Druckfestigkeit f _b	[N/mm ²]	≥ 6	
Umrechnungsfaktor für geringere Druckfestigkeiten		$(f_b / 6)^{0,5} \le 1,0$	
Norm	[-]	EN 771-1:2011+A1:2015	
Hersteller (Länderkennung)	[-]	z.B. Unipor (DE)	
Steinabmessungen	[mm]	248 x 365 x 249	
Bohrverfahren	[-]	Drehbohren	
14		365 8	

Tabelle C101: Montagekennwerte

Ankergröße		M8	M10	M12	M16	IG-M6	IG-M8	IG-M10		
Montagedrehmoment	T_{inst}	[Nm]	≤ 5	≤ 5	≤ 10	≤ 10	≤ 5	≤ 5	≤ 5	
Randabstand	Ccr	[mm]	120	(für Quer	lasten ser	nkrecht zu	ım freien F	Rand: c _{cr} =	250)	
Minimaler Randabstand	C _{min}	[mm]	50							
Achsabstand	Scr, II	[mm]	250							
Acrisabstand	Scr, ⊥	[mm]				250				
Minimaler Achsabstand	S _{min, II} S _{min, ⊥}	[mm]				50				

Tabelle C102: Reduktionsfaktoren für Einzelanker unter Randeinfluss

Zugl	laat		Querlast							
Zugi	ası		senkrecht zu	m freien F	Rand	parallel zum freien Rand				
	mit c ≥	αedge,N		mit c ≥	αedge,V⊥		mit c ≥	αedge,V II		
 •	50	1,00	│	50	0,30		50	1,00		
	120	1,00		250	1,00	V	120	1,00		

Injektionssystem HB-VMU plus für Mauerwerk	
Leistungen – Hochlochziegel Coriso WS07 Steinbeschreibung, Montagekennwerte, Reduktionsfaktoren	Anhang C38



Steintyp: Hochlochziegel Coriso WS07- Fortsetzung

Tabelle C103: Faktor für Ankergruppen

	Anordnung parall	el zur La	gerfuge		Anordnung senk	recht zur	Lagerfug	e
Zuglast		mit c ≥	mit s ≥	αg II,N		mit c ≥	mit s ≥	αg⊥,N
	• •	50	50	1,50		50	50	1,00
		120	250	2,00		120	250	2,00
2	Н	mit c ≥	mit s ≥	αg II,V⊥		mit c ≥	mit s ≥	lphag⊥,V⊥
Querlast		50	50	0,40		50	50	0,40
senkrecht zum freien Rand		250	50	1,00		250	50	1,20
		250	250	2,00		250	250	2,00
Querlast		mit c ≥	mit s ≥	αg II,V II		mit c ≥	mit s ≥	α _{g⊥,} ∨ II
parallel		50	50	1,65		50	50	1,00
zum freien Rand		120	250	2,00		120	250	2,00

Tabelle C104: Charakteristische Widerstände unter Zug- und Querlast

			С	harakteri	stische V	Viderstäi	nde bei c	≥ c _{cr} und	s ≥ s _{cr}
Ankergröße	Sieb-	Effektive			Nutzu	ıngsbedi	ngunger	1	
	hülse HB-	Veranke- rungs- tiefe	Veranke- rungs- d/d				w/d w/w	d/d w/d w/w	
			24°C / 40°C	50°C / 80°C	72°C / 120°C	24°C / 40°C	50°C / 80°C	72°C / 120°C	alle Temperatur- bereiche
		h _{ef}			$N_{Rk,b} = 1$	V _{Rk,p} 1)			V _{Rk,b} 1)
		[mm]			[kN	1]			[kN]
		Normierte m	nittlere Dr	uckfestig	ykeit f₀ ≥ (6 N/mm²	2)		
M8	VM-SH 12	80							
M8 / M10/ IG-M6	VM-SH 16	≥ 85	1,5	1,5	1,5	1,5	1,5	1,5	5,0
M12 / M16 / IG-M8 / IG-M10	VM-SH 20	≥ 85							

¹⁾ $N_{Rk,b,c} = N_{Rk,p,c}$ und $V_{Rk,c | II} = V_{Rk,c \perp}$ gemäß Anhang C5

Tabelle C105: Verschiebungen

Ankergröße	h _{ef}	δ _N / N	δινο	δn∞	δ _V / V	δνο	δν∞	
Alikergrobe	[mm]	[mm/kN]	[mm]	[mm]	[mm/kN]	[mm]	[mm]	
M8 – M12 / IG-M6 – IG-M10	alle	0,13	0,13*N _{Rk} / 3,5	2*δ _{N0}	0,55	0,55*V _{Rk} /3,5	. 1,5*δνο	
M16		,	,	- 3.112	0,31	0,31*V _{Rk} /3,5		

Injektionssystem HB-VMU plus für Mauerwerk	
Leistungen – Hochlochziegel Coriso WS07 Gruppenfaktoren, charakteristische Widerstände und Verschiebungen	Anhang C39

²⁾ Für geringere Druckfestigkeiten müssen die Widerstände mit dem Umrechnungsfaktor nach Tabelle C100 multipliziert werden. Für Steine mit höheren Festigkeiten sind die angegebenen Werte ohne Umrechnung gültig.



Steintyp: Hochlochziegel T7 MW mit integrierter Wärmedämmung

Tabelle C106: Beschreibung

Steintyp		Hochlochziegel T7 MW
Füllung		Mineralwolle
Rohdichte ρ	[kg/dm³]	≥ 0,59
Normierte mittlere Druckfestigkeit f _b	[N/mm ²]	≥ 8
Umrechnungsfaktor für geringe Druckfestigkeiten	ere	$(f_b / 8)^{0,5} \le 1,0$
Norm	[-]	EN 771-1:2011+A1:2015
Hersteller (Länderkennung)	[-]	e.g. Wienerberger (DE)
Steinabmessungen	[mm]	248 x 365 x 249
Bohrverfahren	[-]	Drehbohren



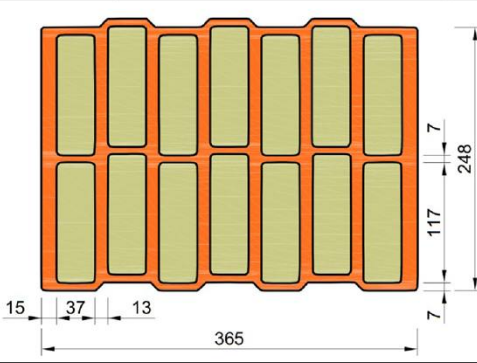


Tabelle C107: Montagekennwerte

Ankergröße			M8	M10	M12	M16	IG-M6	IG-M8	IG- M10
Montagedrehmoment	T_{inst}	[Nm]	≤ 5	≤ 5	≤ 10	≤ 10	≤ 5	≤ 5	≤5
Randabstand (unter Brandbeanspruchung)	Ccr; (Ccr,fi)	[mm]	120 (2 h _{ef}) (für Querlasten senkrecht zum freien Rand: c _{cr} = 250)						50)
Minimaler Randabstan	50								
Achsabstand (unter	Scr, II (Scr,fi, II)	[mm]	250 (4 h _{ef})						
Brandbeanspruchung)	$S_{cr, \perp}(S_{cr,fi, \perp})$	[mm]	250 (4 h _{ef})						
Minimaler Achsabstand	S _{min,} II; S _{min,} ⊥	[mm]	50						

Tabelle C108: Reduktionsfaktoren für Einzelanker unter Randeinfluss

Zuglast			Querlast							
Zugi	ası		senkrecht zu	m freien F	Rand	parallel zum freien Rand				
	mit c ≥	αedge,N		mit c ≥	αedge,V⊥		mit c ≥	αedge,V II		
 •	50	1,00	│	50	0,35		50	1,00		
	120	1,00		250	1,00		120	1,00		

Injektionssystem HB-VMU plus für Mauerwerk	
Leistungen – Hochlochziegel T7 MW Steinbeschreibung, Montagekennwerte, Reduktionsfaktoren	Anhang C40



Steintyp: Hochlochziegel T7 MW – Fortsetzung

Tabelle C109: Faktor für Ankergruppen

	Anordnung parall	el zur La	gerfuge		Anordnung senk	recht zur	^r Lagerfu	ge
Zuglast		mit c ≥	mit s ≥	αg II,N		mit c ≥	mit s ≥	αg⊥,N
	• •	50	50	1,40		50	50	1,15
		120	250	2,00		120	250	2,00
Querlast		mit c ≥	mit s ≥	αg II,V⊥		mit c ≥	mit s ≥	αд⊥,∨⊥
		50	50	0,60		50	50	0,40
senkrecht zum freien Rand		250	50	1,55		250	50	1,00
Zam noion rama		250	250	2,00	ļL	250	250	2,00
Querlast		mit c ≥	mit s ≥	αg II,V II		mit c ≥	mit s ≥	α _g ⊥,∨ II
parallel		50	50	2,00		50	50	1,20
zum freien Rand		120	250	2,00		120	250	2,00

Tabelle C110: Charakteristische Widerstände unter Zug- und Querlast

Ankergröße	Sieb-	Charakteristische Widerstände bei c ≥ c _{cr} und s ≥ s _{cr} Nutzungsbedingungen							
7e.g. 6.60	hülse HB-	Veranke- rungstiefe		d/d			w/d w/w	d/d w/d w/w	
			24°C / 40°C	50°C / 80°C	72°C / 120°C	24°C / 40°C	50°C / 80°C	72°C / 120°C	alle Temperatur- bereiche
		h _{ef}			$N_{Rk,b} = 1$	V Rk,p 1)			V _{Rk,b} 1)
		[mm]			[kN	1]		[kN]	
		Normierte m	nittlere Dr	uckfestig	jkeit f₀ ≥ 8	8 N/mm²	2)		
M8	VM-SH 12	80							
M8 / M10/ IG-M6	VM-SH 16	≥ 85	2.0	2.0	1 5	2.0	2,0	1 5	3,0
M12 / IG-M8	VM-SH 20	≥ 85	2,0	2,0	1,5	2,0		1,5	
M16 / IG-M10	VM-SH 20	≥ 85							4,5

¹⁾ $N_{Rk,b,c} = N_{Rk,p,c}$ und $V_{Rk,c\,II} = V_{Rk,c\,\perp}$ gemäß Anhang C5

Tabelle C111: Verschiebungen

Ankergröße	h _{ef}	δ _N / N	δινο	δn∞	δ _V / V	δνο	δν∞
Allkergrobe	[mm]	[mm/kN]	[mm]	[mm]	[mm/kN]	[mm]	[mm]
M8 – M12 / IG-M6 – IG-M10	alle	0,13	0,13*N _{Rk} / 3,5	2*δνο	0,55	0,55*V _{Rk} /3,5	1,5*δνο
M16	2000		.,		0,31	0,31*V _{Rk} /3,5	.,

Injektionssystem HB-VMU plus für Mauerwerk	
Leistungen – Hochlochziegel T7 MW Gruppenfaktoren, charakteristische Widerstände und Verschiebungen	Anhang C41

²⁾ Für geringere Druckfestigkeiten müssen die Widerstände mit dem Umrechnungsfaktor nach Tabelle C106 multipliziert werden. Für Steine mit höheren Festigkeiten sind die angegebenen Werte ohne Umrechnung gültig.



Tabelle C112: Charakteristische Widerstände unter Brandbeanspruchung

Ankergröße	Sieb- hülse	Effektive Veranke- rungstiefe					
Alikeigiose	нв-	h _{ef}					
		[mm]					
M8 / M10 / IG-M6	VM-SH 16	130				kojno Loistung	
M12 / M16 IG-M8 / IG-M10	VM-SH 20	≥ 130	0,64	0,37	0,11	keine Leistung bewertet	

Injektionssystem HB-VMU plus für Mauerwerk

Leistungen – Hochlochziegel T7 MW
Charakteristische Widerstände unter Brandbeanspruchung

Anhang C42



Steintyp: Hochlochziegel T8 P mit integrierter Wärmedämmung

Tabelle C113: Beschreibung

Steintyp			Hochlochziegel T8 P	
Füllung			Perlite	Wille.
Rohdichte	ρ	[kg/dm ³]	≥ 0,56	
Normierte mittlere Druckfestigkeit	f _b	[N/mm ²]	≥ 6	相關高級
Umrechnungsfaktor für gerir Druckfestigkeiten	nger	9	$(f_b / 6)^{0,5} \le 1,0$	
Norm		[-]	EN 771-1:2011+A1:2015	
Hersteller (Länderkennung)		[-]	z.B. Wienerberger (DE)	
Steinabmessungen		[mm]	248 x 365 x 249	
Bohrverfahren		[-]	Drehbohren	
			113 8 113 6	

365

Tabelle C114: Montagekennwerte

Ankergröße			M8	M10	M12	M16	IG-M6	IG-M8	IG-M10
Montagedrehmoment	T_{inst}	[Nm]	≤ 4	≤ 4	≤ 10	≤ 10	≤ 4	≤ 4	≤ 4
Randabstand	Ccr	[mm]	120	(für Quer	lasten ser	nkrecht zu	ım freien F	Rand: c _{cr} =	250)
Minimaler Randabstand	C _{min}	[mm]				50			
Achsabstand	Scr, II	[mm]	250						
Acrisabstand	Scr, ⊥	[mm]	250						
Minimaler Achsabstand	Smin, II Smin, ⊥	[mm]	50						

Tabelle C115: Reduktionsfaktoren für Einzelanker unter Randeinfluss

36 14

Zuglast			Querlast								
Zugi	ası		senkrecht zu	m freien F	Rand	parallel zum freien Rand					
	mit c ≥	αedge,N		mit c ≥	αedge,V⊥		mit c ≥	αedge,V II			
•	50	1,00		50	0,25		50	1,00			
	120	1,00		250	1,00		120	1,00			

Injektionssystem HB-VMU plus für Mauerwerk	
Leistungen – Hochlochziegel T8 P Steinbeschreibung, Montagekennwerte, Reduktionsfaktoren	Anhang C43



Steintyp: Hochlochziegel T8 P – Fortsetzung

Tabelle C116: Faktor für Ankergruppen

	Anordnung parall	el zur Lag	gerfuge		Anordnung senk	recht zur	^r Lagerfu	ge
		mit c ≥	mit s ≥	αg II,N		mit c ≥	mit s ≥	αg⊥,N
Zuglast	• •	50	50	1,30		50	50	1,10
		120	250	2,00		120	250	2,00
_		mit c ≥	mit s ≥	αg II,V⊥	Т	mit c ≥	mit s ≥	αд⊥,∨⊥
Querlast		50	50	0,40		50	50	0,30
senkrecht zum freien Rand		250	50	1,35		250	50	1,20
Zam noion rama		250	250	2,00		250	250	2,00
Querlast		mit c ≥	mit s ≥	αg II,V II		mit c ≥	mit s ≥	αg⊥,∨ II
parallel	• •	50	50	1,70		50	50	1,00
zum freien Rand		120	250	2,00		120	250	2,00

Tabelle C117: Charakteristische Widerstände unter Zug- und Querlast

			С	harakteri	stische V	Viderstär	nde bei c	≥ c _{cr} und	s ≥ s _{cr}		
Ankergröße	Sieb-	Effektive	Effektive Nutzungsbedingu						ngen		
	hülse HB-	Veranke- rungs- tiefe		d/d			w/d w/w		d/d w/d w/w		
					24°C / 40°C	50°C / 80°C	72°C / 120°C	alle Temperatur- bereiche			
		h _{ef}			N _{Rk,b} =	V _{Rk,p} 1)			V _{Rk,b} 1)		
		[mm]			[kN	1]			[kN]		
		Normierte m	nittlere Dr	uckfestig	gkeit f₀ ≥	6 N/mm²	2)	-			
M8	VM-SH 12	80									
M8 / M10/ IG-M6	VM-SH 16	≥ 85	1,5	1,5	1,5	1,5	1,5	1,5	4,5		
M12 / IG-M8	VM-SH 20	≥ 85									
M16 / IG-M10	VM-SH 20	≥ 85	2,5	2,5	2,0	2,5	2,5	2,0	7,0		

¹⁾ $N_{Rk,b,c} = N_{Rk,p,c}$ und $V_{Rk,c | II} = V_{Rk,c \perp}$ gemäß Anhang C5

Tabelle C118: Verschiebungen

Ankergröße	h _{ef}	δ _N / N	διο	δn∞	δ _V / V	δνο	δ∨∞
Alikergrobe	[mm]	[mm/kN]	[mm]	[mm]	[mm/kN]	[mm]	[mm]
M8 – M12 / IG-M6 – IG-M10	alle	0,13	0,13*N _{Rk} / 3,5	2*δνο	0,55	0,55*V _{Rk} /3,5	1,5*δ√0
M16		,	,	3110	0,31	0,31*V _{Rk} /3,5	,

Injektionssystem HB-VMU plus für Mauerwerk	
Leistungen – Hochlochziegel T8 P Gruppenfaktoren, charakteristische Widerstände und Verschiebungen	Anhang C44

²⁾ Für geringere Druckfestigkeiten müssen die Widerstände mit dem Umrechnungsfaktor nach Tabelle C113 multipliziert werden. Für Steine mit höheren Festigkeiten sind die angegebenen Werte ohne Umrechnung gültig.



Steintyp: Hochlochziegel Thermoplan MZ90-G mit integrierter Wärmedämmung Tabelle C119: Beschreibung

Steintyp		Hochlochziegel Thermoplan MZ90-G	
Füllung		Mineralwolle	
Rohdichte	[kg/dm³]	≥ 0,68	and the same
Normierte mittlere Druckfestigkeit	_b [N/mm ²]	≥ 12	Call fill war
Umrechnungsfaktor für gering Druckfestigkeiten	ere	$(f_b / 12)^{0.5} \le 1.0$	
Norm	[-]	EN 771-1:2011+A1:2015	
Hersteller (Länderkennung)	[-]	z.B. Mein Ziegelhaus (DE)	
Steinabmessungen	[mm]	248 x 365 x 249	
Bohrverfahren	[-]	Drehbohren	
	13	13 10 365	13 13 13

Tabelle C120: Montagekennwerte

Ankergröße	Ankergröße					M16	IG-M6	IG-M8	IG-M10	
Montagedrehmoment	T _{inst}	[Nm]	≤4 ≤4 ≤10 ≤10 ≤4 ≤4 ≤						≤ 4	
Randabstand	Ccr	[mm]	120 (für Querlasten senkrecht zum freien Rand: c _{cr} = 250)							
Minimaler Randabstand	Cmin	[mm]	50							
Achsabstand	Scr, II	[mm]	250							
Acrisabstand	Scr, ⊥	[mm]	250							
Minimaler Achsabstand	S _{min,} II S _{min,} ⊥	[mm]	50							

Tabelle C121: Reduktionsfaktoren für Einzelanker unter Randeinfluss

Zual	oot		Querlast							
Zugl	สรเ		senkrecht zu	senkrecht zum freien Rand			parallel zum freien Rand			
	mit c ≥	αedge,N		mit c ≥	αedge,V⊥		mit c ≥	αedge,VII		
•	50	1,00	│	50	0,25		50	1,00		
	120	1,00		250	1,00		120	1,00		

Injektionssystem HB-VMU plus für Mauerwerk

Leistungen – Hochlochziegel Thermoplan MZ90-G
Steinbeschreibung, Montagekennwerte, Reduktionsfaktoren

Anhang C45



Steintyp: Hochlochziegel Thermoplan MZ90-G – Fortsetzung

Tabelle C122: Faktor für Ankergruppen

	Anordnung parall	el zur Lag	gerfuge		Anordnung senk	recht zur	^r Lagerfu	ge
		mit c ≥	mit s ≥	αg II,N		mit c ≥	mit s ≥	αg⊥,N
Zuglast	• •	50	50	1,00		50	50	1,00
		120	250	2,00		120	250	2,00
Overdent.		mit c ≥	mit s ≥	αg II,V⊥		mit c ≥	mit s ≥	αд⊥,∨⊥
	Querlast senkrecht zum freien Rand	50	50	0,75		50	50	0,50
		250	50	2,00		250	50	1,70
Zum moiem rama		250	250	2,00		250	250	2,00
Quarlant		mit c ≥	mit s ≥	αg II,V II		mit c ≥	mit s ≥	αg⊥,∨ II
Querlast parallel zum freien Rand	• •	50	50	1,65		50	50	1,15
		120	250	2,00		120	250	2,00

Tabelle C123: Charakteristische Widerstände unter Zug- und Querlast

Tabelle C125.	Silarante	I I JUI JUI LE VIII	aciotana	c differ z	-ug und	Quena	31		
			С	harakteri	stische V	Viderstär	nde bei c	≥ c _{cr} und	s ≥ s _{cr}
Ankergröße	Sieb-	Effektive			Nutzu	ıngsbedi	ngunger	1	·
	hülse HB-	Veranke- rungs- tiefe	d/d				w/d w/w	d/d w/d w/w	
			24°C / 40°C	50°C / 80°C	72°C / 120°C	24°C / 40°C	50°C / 80°C	72°C / 120°C	alle Temperatur- bereiche
		h _{ef}		V _{Rk,b} 1)					
		[mm]			[kN	1]			[kN]
	-	Normierte m	ittlere Dr	uckfestig	keit f₀ ≥ 1	2 N/mm ²	2)		
M8	VM-SH 12	80							
M8 / M10/ IG-M6	VM-SH 16	≥ 85	3,0	3,0	2,5	3,0	3,0	2,5	4,0
M12 / IG-M8	VM-SH 20	≥ 85							
M16 / IG-M10	VM-SH 20	≥ 85	3,5	3,5	3,0	3,5	3,5	3,0	7,5

 $^{^{1)}}$ $N_{\text{Rk,b,c}}$ = $N_{\text{Rk,p,c}}$ und $V_{\text{Rk,c\,II}}$ = $V_{\text{Rk,c\,\perp}}$ gemäß Anhang C5

Tabelle C124: Verschiebungen

Ankergröße	h _{ef}	δη / Ν	δινο	δn∞	δ _V / V	δνο	δν∞	
Allkergrobe [I	[mm]	[mm/kN]	[mm]	[mm]	[mm/kN]	[mm]	[mm]	
M8 – M12 / IG-M6 – IG-M10	alle	0,13	0,13*N _{Rk} / 3,5	2 *δ _{N0}	0,55	0,55*V _{Rk} /3,5	1,5*δ√0	
M16	8				0,31	0,31*V _{Rk} /3,5	5 9995	

Injektionssystem HB-VMU plus für Mauerwerk	
Leistungen – Hochlochziegel Thermoplan MZ90-G Gruppenfaktoren, charakteristische Widerstände und Verschiebungen	Anhang C46

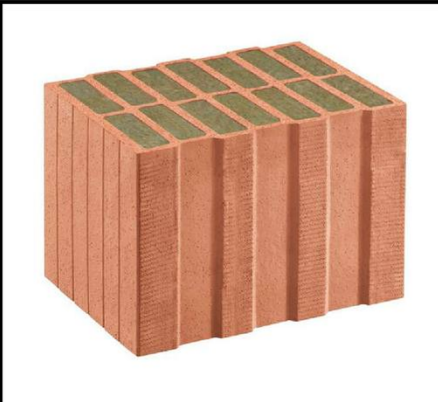
²⁾ Für geringere Druckfestigkeiten müssen die Widerstände mit dem Umrechnungsfaktor nach Tabelle C119 multipliziert werden. Für Steine mit höheren Festigkeiten sind die angegebenen Werte ohne Umrechnung gültig.



Steintyp: Hochlochziegel Poroton FZ7,5 mit Wärmedämmung

Tabelle C125: Beschreibung

Steintyp			Hochlochziegel Poroton FZ7,5
Füllung			Mineralwolle
Rohdichte	ρ	[kg/dm ³]	≥ 0,70
Normierte mittlere Druckfestigkeit	f_b	[N/mm ²]	≥ 8
Umrechnungsfaktor für gerin Druckfestigkeiten	gere	Э	$(f_b / 8)^{0.5} \le 1.0$
Norm		[-]	EN 771-1:2011+A1:2015
Hersteller (Länderkennung)		[-]	z.B.: Schlagmann (DE)
Steinabmessungen		[mm]	248 x 365 x 249
Bohrverfahren		[-]	Drehbohren
		V 13	



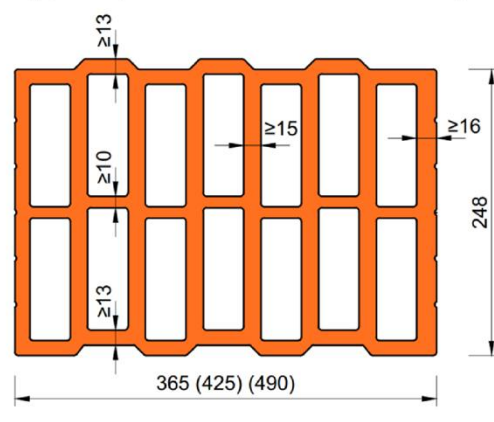


Tabelle C126: Montagekennwerte

Ankergröße	Ankergröße					M16	IG-M6	IG-M8	IG-M10
Montagedrehmoment	T_{inst}	[Nm]	≤ 5	≤ 5	≤ 10	≤ 10	≤ 5	≤ 5	≤ 5
Randabstand (unter Brandbeanspruchung)	C _{cr;} (C _{cr,fi})	[mm]	120 (2 h_{ef}) (für Querlasten senkrecht zum freien Rand: c_{cr} = 250)					250)	
Minimaler Randabstand	d c _{min}	[mm]							
Achsabstand (unter	Scr, II (Scr,fi, II)	[mm]	250 (4 h _{ef})						
Brandbeanspruchung)	Scr, \(\) (Scr,fi, \(\))	[mm]							
Minimaler Achsabstand	Smin, II; Smin, ⊥	[mm]							

Tabelle C127: Reduktionsfaktoren für Einzelanker unter Randeinfluss

Zual	oot		Querlast								
Zugl	สรเ		senkrecht zum freien Rand parallel zum freien					Rand			
	mit c ≥	αedge,N		mit c ≥	αedge,V⊥		mit c ≥	αedge,V II			
•	50	1,00		50	0,35		50	1,00			
	120	1,00		250	1,00		120	1,00			

Injektionssystem HB-VMU plus für Mauerwerk	
Leistungen – Hochlochziegel Poroton FZ7,5 Steinbeschreibung, Montagekennwerte, Reduktionsfaktoren	Anhang C47



Steintyp: Hochlochziegel Poroton FZ7,5 mit Wärmedämmung – Fortsetzung Tabelle C128: Faktor für Ankergruppen

	Anordnung parall	el zur La	gerfuge		Anordnung senk	recht zui	· Lagerfu	ge
		mit c ≥	mit s ≥	αg II,N		mit c ≥	mit s ≥	αg⊥,N
Zuglast	• •	50	50	1,40		50	50	1,15
		120	250	2,00		120	250	2,00
Quarlant	Querlast senkrecht zum freien Rand	mit c ≥	mit s ≥	αg II,V⊥		mit c ≥	mit s ≥	$\alpha_{\text{g}\perp,\text{V}\perp}$
		50	50	0,60	-	50	50	0,40
		250	50	1,55		250	50	1,00
Zuili li eleli Kallu		250	250	2,00		250	250	2,00
Querlast		mit c ≥	mit s ≥	αg II,V II		mit c ≥	mit s ≥	αg ⊥,V II
Parallel	••	50	50	2,00		50	50	1,20
zum freien Rand		120	250	2,00		120	250	2,00

Tabelle C129: Charakteristische Widerstände unter Zug- und Querlast

Al. a	Oi-h	F. G. L. L. L.	С	harakteri		Viderstär ıngsbedi			s ≥ s _{cr}
Ankergröße	Sieb- hülse HB-	Effektive Veranke- rungstiefe	d/d			w/d w/w			d/d w/d w/w
	110-		24°C / 40°C	50°C / 80°C	72°C / 120°C	24°C / 40°C	50°C / 80°C	72°C / 120°C	alle Temperatur- bereiche
		h _{ef}			$N_{Rk,b} = I$	V _{Rk,p} 1)	V _{Rk,b} 1)		
		[mm]			[kN	١]	[kN]		
		Normierte m	ittlere Dr	uckfestig	keit f₀ ≥ 8	8 N/mm ²	2)	-	
M8	VM-SH 12	80							,
M8 / M10 /IG-M6	VM-SH 16	≥ 85	2,0	2.0	1.5	2.0	2.0	1.5	3,0
M12 / IG-M8	VM-SH 20	≥ 85	2,0	2,0	1,5	2,0	2,0	1,5	10000
M16 / IG-M10	VM-SH 20	≥ 85							4,5

Tabelle C130: Verschiebungen

Ankergröße	h _{ef}	δ _N / N	δνο	δ _{N∞}	δ _V / V	δ∨0	δν∞
Allkergrobe	[mm]	[mm/kN]	[mm]	[mm]	[mm/kN]	[mm]	[mm]
M8 – M12 / IG-M6 – IG-M10	alle	0,13	0,13*N _{Rk} / 3,5	2*δ _{N0}	0,55	0,55*V _{Rk} /3,5	1,5*δ√0
M16		80	55 SS	01000	0,31	0,31*V _{Rk} /3,5	

Tabelle C131: Charakteristische Widerstände unter Brandbeanspruchung

Ankergröße	Sieb- hülse	Effektive Veranke- rungstiefe	Charakteristischer Widerstand $N_{Rk,b,fi} = N_{Rk,p,fi} = V_{Rk,b,fi}$				
J	нв-	h _{ef}	R30 R60 R90 R120				
	пр-	[mm]	[kN]				
M8 / M10 /IG-M6	VM-SH 16	130				kojno Lojetuna	
M12 / M16 / IG-M8 – IG-M10	VM-SH 20	≥ 130	0,64 0,37		0,11	keine Leistung bewertet	

Injektionssystem HB-VMU plus für Mauerwerk	
Leistungen – Hochlochziegel Poroton FZ7,5 Gruppenfaktoren und charakteristische Widerstände und Verschiebungen	Anhang C48

8.06.04-163/25 Z208593.25

¹⁾ N_{Rk,b,c} = N_{Rk,p,c} und V_{Rk,c ||} = V_{Rk,c \preceded} gemäß Anhang C5
2) Für geringere Druckfestigkeiten müssen die Widerstände mit dem Umrechnungsfaktor nach Tabelle C125 multipliziert werden. Für Steine mit höheren Festigkeiten sind die angegebenen Werte ohne Umrechnung gültig.



Steintyp: Hochlochziegel Poroton FZ9 mit Wärmedämmung

Tabelle C132: Beschreibung

	_	, 	Hashlash-isral Daratan	
Steintyp			Hochlochziegel Poroton FZ9	
Füllung			Mineralwolle	TO TO TO THE OWNER.
Rohdichte	ρ	[kg/dm ³]	≥ 0,90	
Normierte mittlere Druckfestigkeit	f _b	[N/mm ²]	≥ 10	200
Umrechnungsfaktor für gerir Druckfestigkeiten	ngere	Э	$(f_b / 10)^{0.5} \le 1.0$	
Norm		[-]	EN 771-1:2011+A1:2015	
Hersteller (Länderkennung)		[-]	z.B. Wienerberger (DE)	
Steinabmessungen		[mm]	248 x 365 x 249	
Bohrverfahren		[-]	Drehbohren	
		0,8%		9,61

Tabelle C133: Montagekennwerte

Ankergröße		M8	M10	M12	M16	IG-M6	IG-M8	IG-M10	
Montagedrehmoment	T _{inst}	[Nm]	≤ 5	≤ 5	≤ 10	≤ 10	≤ 5	≤ 5	≤ 5
Randabstand (unter Brandbeanspruchung)	C _{cr;} (C _{cr,fi})	[mm]	120 (2 h _{ef}) (für Querlasten senkrecht zum freien Rand: c _{cr} = 250)						
Minimaler Randabstar	nd c _{min}	[mm]	50						
Achsabstand (unter	Scr, II (Scr,fi, II)	[mm]	250 (4 h _{ef})						
Brandbeanspruchung) $s_{cr, \perp} (s_{cr,fi, \perp})$ [mm]			250 (4 h _{ef})						
Minimaler Achsabstand	S _{min,II;} S _{min,⊥}	[mm]							

365

Tabelle C134: Reduktionsfaktoren für Einzelanker unter Randeinfluss

Zual	oot		Querlast							
Zugl	สรเ		senkrecht zum freien Rand parallel zum freien Rand				and			
	mit c ≥	αedge,N		mit c ≥	αedge,V ⊥		mit c ≥	αedge,V II		
•	50	1,00		50	0,35		50	1,00		
	120	1,00		250	1,00		120	1,00		

Injektionssystem HB-VMU plus für Mauerwerk	
Leistungen – Hochlochziegel Poroton FZ9 mit Wärmedämmung Steinbeschreibung, Montagekennwerte, Reduktionsfaktoren	Anhang C49



Steintyp: Hochlochziegel Poroton FZ9 mit Wärmedämmung – Fortsetzung

Tabelle C135: Faktor für Ankergruppen

	Anordnung parallel zur Lagerfuge					Anordnung senkrecht zur Lagerfuge				
		mit c ≥	mit s ≥	αg II,N		mit c ≥	mit s ≥	αg⊥,N		
Zuglast	••	50	50	1,40		50	50	1,15		
		120	250	2,00		120	250	2,00		
Quarlant	+	mit c ≥	mit s ≥	αg II,V⊥	1 т	mit c ≥	mit s ≥	$\alpha_{\text{g}\perp,\text{V}\perp}$		
Querlast senkrecht		50	50	0,60	-	50	50	0,40		
zum freien Rand		250	50	1,55		250	50	1,00		
Zuili li eleli Kallu	 	250	250	2,00	 	250	250	2,00		
Querlast		mit c ≥	mit s ≥	αg II,V II		mit c ≥	mit s ≥	αg ⊥,V II		
parallel	•••	50	50	2,00		50	50	1,20		
zum freien Rand		120	250	2,00		120	250	2,00		

Tabelle C136: Charakteristische Widerstände unter Zug- und Querlast

			С	harakteri	stische V	Viderstär	nde bei c	≥ c _{cr} und	s ≥ s _{cr}
Ankergröße	Sieb-	Effektive		Nutzungsbedingungen					
Allkergrose	hülse	Veranke- rungs- tiefe	d/d			w/d w/w			d/d w/d w/w
		tiere	24°C / 40°C	50°C / 80°C	72°C / 120°C	24°C / 40°C	50°C / 80°C	72°C / 120°C	alle Temperatur- bereiche
		h _{ef}			$N_{Rk,b} = I$	N _{Rk,p} 1)			V _{Rk,b} 1)
		[mm]			[kN	1]			[kN]
	l	Normierte m	ittlere Dr	uckfestig	keit f _b ≥ 1	0 N/mm ²	. 2)		
M8	VM-SH 12	80							
M8 / M10 /IG-M6	VM-SH 16	≥ 85	2.0	2.0	1 5	20	0.0	1 5	3,0
M12 / IG-M8	VM-SH 20	≥ 85	2,0	2,0	1,5	2,0	2,0	1,5	
M16 / IG-M10	VM-SH 20	≥ 85							4,5

¹⁾ $N_{Rk,b,c} = N_{Rk,p,c}$ und $V_{Rk,c|l|} = V_{Rk,c\perp}$ gemäß Anhang C5

Tabelle C137: Verschiebungen

Ankergröße	h _{ef}	δ _N / N [mm/kN]	δ № [mm]	δ _{N∞}	δv / V [mm/kN]	δ v₀ [mm]	δ ν∞ [mm]
M8 – M12 / IG-M6 – IG-M10	alle	0,13	0,13*N _{Rk} / 3,5	2*δνο	0,55	0,55*V _{Rk} /3,5	1,5*δνο
M16			2,722 23.00.7 2,72	_ = = = = = = = = = = = = = = = = = = =	0,31	0,31*V _{Rk} /3,5	.,,.

Tabelle C138: Charakteristische Werte unter Brandbeanspruchung

Ankergröße	Sieb- hülse	Effektive Veranke- rungstiefe	Charakteristischer Widerstand N _{Rk,b,fi} = N _{Rk,p,fi} = V _{Rk,b,fi}				
9	нв-	h _{ef}	R30 R60 R90 R120				
	пь-	[mm]	[kN]				
M8 / M10 /IG-M6	VM-SH 16	130				keine Leistung	
M12 / M16 / IG-M8 IG-M10	VM-SH 20	≥ 130	0,64	0,37	0,11	bewertet	

Injektionssystem HB-VMU plus für Mauerwerk	
Leistungen – Hochlochziegel Poroton FZ9 Gruppenfaktoren und charakteristische Widerstände und Verschiebungen	Anhang C50

²⁾ Für geringere Druckfestigkeiten müssen die Widerstände mit dem Umrechnungsfaktor nach Tabelle C132 multipliziert werden. Für Steine mit höheren Festigkeiten sind die angegebenen Werte ohne Umrechnung gültig.



Steintyp: Hochlochziegel Poroton S9 mit integrierter Wärmedämmung

Tabelle C139: Beschreibung

Steintyp	Hochlochziegel Poroton S9	Property of the Control of the Contr
Füllung	Perlite	
Rohdichte ρ [kg/dm ³]	≥ 0,85	
Normierte mittlere Druckfestigkeit f _b [N/mm²]	≥ 12	
Umrechnungsfaktor für geringere Druckfestigkeiten	$(f_b / 12)^{0.5} \le 1.0$	
Norm [-]	EN 771-1:2011+A1:2015	
Hersteller (Länderkennung) [-]	e.g. Schlagmann (DE)	
Steinabmessungen [mm]	248 x 365 x 249	
Bohrverfahren [-]	Drehbohren	
11.5 × 22.1		248

Tabelle C140: Montagekennwerte

Ankergröße			M8	M10	M12	M16	IG-M6	IG-M8	IG-M10
Montagedrehmoment	T_{inst}	[Nm]	≤ 5	≤ 5	≤ 10	≤ 10	≤ 5	≤ 5	≤ 5
Randabstand	Ccr	[mm]	120 (für Querlasten senkrecht zum freien Rand: c _{cr} = 250)						
Minimaler Randabstand	Cmin	[mm]	50						
Achsabstand	Scr, II	[mm]	250						
Achsabstand	Scr, ⊥	[mm]				250			
Minimaler Achsabstand	Smin, II Smin, ⊥	[mm]	50						

Tabelle C141: Reduktionsfaktoren für Einzelanker unter Randeinfluss

Zugl	lact		Querlast							
Zugi	ası		senkrecht zum freien Rand parallel zum freien l			senkrecht zum freien Rand parallel zum freien Ran				
	mit c ≥	αedge,N		mit c ≥	αedge,V⊥		mit c ≥	αedge,VII		
•	50	1,00		50	0,30		50	1,00		
	120	1,00		250	1,00	*	120	1,00		

Injektionssystem HB-VMU plus für Mauerwerk		
Leistungen – Hochlochziegel Poroton S9 Steinbeschreibung, Montagekennwerte, Reduktionsfaktoren	Anhang C51	



Steintyp: Hochlochziegel Poroton S9 – Fortsetzung

Tabelle C142: Faktor für Ankergruppen

	Anordnung parall	Anordnung senkrecht zur Lagerfuge						
		mit c ≥	mit s ≥	αg II,N		mit c ≥	mit s ≥	αg⊥,N
Zuglast	• •	50	50	1,50		50	50	1,00
		120	250	2,00		120	250	2,00
		mit c ≥	mit s ≥	αg II,V⊥		mit c ≥	mit s ≥	$\alpha_{\text{g}\perp,\text{V}\perp}$
Querlast		50	50	0,40		50	50	0,40
senkrecht zum freien Rand		250	50	1,00		250	50	1,20
Zam noion rama		250	250	2,00		250	250	2,00
Overlant		mit c ≥	mit s ≥	αg II,V II		mit c ≥	mit s ≥	αg ⊥,V II
Querlast parallel zum freien Rand		50	50	1,65		50	50	1,00
		120	250	2,00		120	250	2,00

Tabelle C143: Charakteristische Widerstände unter Zug- und Querlast

			Charakteristische Widerstände bei $c \ge c_{cr}$ und $s \ge s_{cr}$									
Ankergröße	Sieb-	Effektive	Nutzungsbedingungen									
	hülse HB-	Veranke- rungstiefe	d/d				w/d w/w	d/d w/d w/w				
			24°C / 40°C	50°C / 80°C	72°C / 120°C	24°C / 40°C	50°C / 80°C	72°C / 120°C	alle Temperatur- bereiche			
		h _{ef}	$N_{Rk,b} = N$			V Rk,p 1)		V _{Rk,b} 1)				
		[mm]			[kN	1]		[kN]				
	ı	Normierte m	ittlere Dr	uckfestig	keit f₀ ≥ 1	2 N/mm ²	2)					
M8	VM-SH 12	80										
M8 / M10/ IG-M6	VM-SH 16	≥ 85	1,5	1,5	1,5	1,5	1,5	1,5	5,0			
M12 / M16 IG-M8 / IG-M10	VM-SH 20	≥ 85										

¹⁾ $N_{Rk,b,c} = N_{Rk,p,c}$ und $V_{Rk,c|I} = V_{Rk,c\perp}$ gemäß Anhang C5

Tabelle C144: Verschiebungen

Ankergröße	h _{ef}	δ _N / N	δινο	δn∞	δ _V / V	δνο	δ∨∞
Alikergrobe	[mm]	[mm/kN]	[mm]	[mm]	[mm/kN]	[mm]	[mm]
M8 – M12 / IG-M6 – IG-M10	alle	0,13	0,13*N _{Rk} / 3,5	2*δνο	0,55	0,55*V _{Rk} /3,5	1,5*δνο
M16			, ,		0,31	0,31*V _{Rk} /3,5	.,

Injektionssystem HB-VMU plus für Mauerwerk	
Leistungen – Hochlochziegel Poroton S9 Gruppenfaktoren, charakteristische Widerstände und Verschiebungen	Anhang C52

²⁾ Für geringere Druckfestigkeiten müssen die Widerstände mit dem Umrechnungsfaktor nach Tabelle C139 multipliziert werden. Für Steine mit höheren Festigkeiten sind die angegebenen Werte ohne Umrechnung gültig.



Steintyp: Hochlochziegel Thermopor TV8+ mit integrierter Wärmedämmung

Tabelle C145: Beschreibung

Steintyp	Hochlochziegel Thermopor TV8+	
Füllung	Mineralwolle	
Rohdichte ρ [kg/dm ³]	≥ 0,70	
Normierte mittlere Druckfestigkeit f _b [N/mm²]		
Umrechnungsfaktor für geringere Druckfestigkeiten	$(f_b / 10)^{0.5} \le 1.0$	
Norm [-]	EN 771-1:2011+A1:2015	
Hersteller (Länderkennung) [-]	e.g. THERMOPOR GmbH (DE)	
Steinabmessungen [mm]	247 x 365 x 249	
Bohrverfahren [-]	Drehbohren	
13 10 14	8 18 18 18 18	247
-	365	-

Tabelle C146: Montagekennwerte

Ankergröße			M8	M10	M12	M16	IG-M6	IG-M8	IG-M10
Montagedrehmoment	T_{inst}	[Nm]	≤ 4	≤ 4	≤ 10	≤ 10	≤ 4	≤ 4	≤ 4
Randabstand	Ccr	[mm]	120 (für Querlasten senkrecht zum freien Rand: c _{cr} = 250)						
Minimaler Randabstand	C _{min}	[mm]	50						
Achsabstand	Scr, II	[mm]	250						
Achsabstand	S _{cr, ⊥}	[mm]				250			
Minimaler Achsabstand	Smin, II Smin, ⊥	[mm]	50						

Tabelle C147: Reduktionsfaktoren für Einzelanker unter Randeinfluss

Zuglast				Querlast									
Zugi	ası		senkrecht zum freien Rand parallel zum freie					senkrecht zum freien Rand parallel zum freien F			senkrecht zum freien Rand parallel zum freien Rand		and
	mit c ≥	αedge,N	 -11		mit c ≥	αedge,V⊥			mit c ≥	αedge,V II			
•	50	1,00			50	0,25			50	1,00			
	120	1,00	F		250	1,00	E	<u> </u>	120	1,00			

Injektionssystem HB-VMU plus für Mauerwerk	
Leistungen – Hochlochziegel Thermopor TV8+ Steinbeschreibung, Montagekennwerte, Reduktionsfaktoren	Anhang C53



Steintyp: Hochlochziegel Thermopor TV8+ – Fortsetzung

Tabelle C148: Faktor für Ankergruppen

	Anordnung parall	el zur La	gerfuge		Anordnung senk	recht zui	^r Lagerfu	ge
Zuglast		mit c ≥	mit s ≥	αg II,N		mit c ≥	mit s ≥	$lpha_{ t gL,N}$
	• •	50	50	1,00		50	50	1,00
		120	250	2,00		120	250	2,00
		mit c ≥	mit s ≥	αg II,∨⊥		mit c ≥	mit s ≥	$\alpha_{\text{g}\perp,\text{V}\perp}$
Querlast senkrecht	•••	50	50	0,75	•	50	50	0,50
zum freien Rand		250	50	2,00		250	50	1,70
Zam noion rana		250	250	2,00		250	250	2,00
Querlast		mit c ≥	mit s ≥	αg II,V II		mit c ≥	mit s ≥	α _{g ⊥,} γ II
parallel zum freien Rand	•	50	50	1,65		50	50	1,15
		120	250	2,00		120	250	2,00

Tabelle C149: Charakteristische Widerstände unter Zug- und Querlast

			С	Charakteristische Widerstände bei c ≥ c _{cr} und s ≥ s _{cr}								
Ankergröße	Sieb-	Effektive		Nutzungsbedingungen								
	hülse HB-	Veranke- rungstiefe		d/d			w/d w/w	d/d w/d w/w				
			24°C / 40°C	50°C / 80°C	72°C / 120°C	24°C / 40°C	50°C / 80°C	72°C / 120°C	alle Temperatur- bereiche			
		h _{ef}		,	$N_{Rk,b} = I$	V _{Rk,p} 1)			V _{Rk,b} 1)			
		[mm]		[kN]					[kN]			
		Normierte m	ittlere Dr	uckfestig	keit f _b ≥ 1	0 N/mm ²	? 2)		7			
M8	VM-SH 12	80										
M8 / M10/ IG-M6	VM-SH 16	≥ 85	3,0	3,0	2,5	3,0	3,0	2,5	3,5			
M12 / IG-M8	VM-SH 20	≥ 85										
M16 / IG-M10	VM-SH 20	≥ 85	3,5	3,5	3,0	3,5	3,5	3,0	7,0			

¹⁾ $N_{Rk,b,c} = N_{Rk,p,c}$ und $V_{Rk,c \, II} = V_{Rk,c \, \perp}$ gemäß Anhang C5

Tabelle C150: Verschiebungen

Ankergröße	h _{ef}	δ _N / N	δινο	δn∞	δ _V / V	δνο	δν∞	
Alikergrobe	[mm]	[mm/kN]	[mm]	[mm]	[mm/kN]	[mm]	[mm]	
M8 – M12 / IG-M6 – IG-M10	alle	0,13	0,13*N _{Rk} / 3,5	2*δ _{N0}	0,55	0,55*V _{Rk} /3,5	1,5*δ√0	
M16	3,550,750,000	,,,,,,,,,,,,,,,,,,,,,,,,,,,,,,,,,,,,,,,			0,31	0,31*V _{Rk} /3,5	.,,.	

Injektionssystem HB-VMU plus für Mauerwerk	
Leistungen – Hochlochziegel Thermopor TV8+ Gruppenfaktoren, charakteristische Widerstände und Verschiebungen	Anhang C54

²⁾ Für geringere Druckfestigkeiten müssen die Widerstände mit dem Umrechnungsfaktor nach Tabelle C145 multipliziert werden. Für Steine mit höheren Festigkeiten sind die angegebenen Werte ohne Umrechnung gültig.



Steintyp: Leichtbetonlochstein HBL 16DF

Tabelle C151: Beschreibung

Steintyp	Leichtbetonlochstein HBL 16DF								
Rohdichte ρ [kg/dm³]	≥ 1,0	and the same of th							
Normierte mittlere Druckfestigkeit f _b [N/mm²]	≥ 3,1								
Umrechnungsfaktor für geringere Druckfestigkeiten	$(f_b / 3,1)^{0,5} \le 1,0$								
Norm [-]	EN 771-3:2011+A1:2015								
Hersteller (Länderkennung) [-]	z.B. KLB Klimaleichtblock (DE)								
Steinabmessungen [mm]	500 x 250 x 240								
Bohrverfahren [-]	Drehbohren								
25 30 185 30 185 30 25									

Tabelle C152: Montagekennwerte

Ankergröße	M8	M10	M12	M16	IG-M6	IG-M8	IG- M10		
Montagedrehmoment	T _{inst}	[Nm]	≤ 2	≤ 2	≤ 5	≤ 5	≤ 2	≤ 5	≤ 5
Randabstand (unter Brandbeanspruchung)	Ccr; (Ccr,fi)	[mm]	120 (2 h _{ef}) (für Querlasten senkrecht zum freien Rand: c _{cr} = 250)					50)	
Minimaler Randabstan	Minimaler Randabstand c _{min} [mm]			50					
Achsabstand (unter	Scr, II (Scr,fi, II)	[mm]		500 (4 h _{ef})					
Brandbeanspruchung)	$S_{cr, \perp} (S_{cr,fi, \perp})$	[mm]	250 (4 h _{ef})						
Minimaler Achsabstand $\frac{s_{min, \ II;}}{s_{min, \ \perp}}$ [mm]		50							

497

Tabelle C153: Reduktionsfaktoren für Einzelanker unter Randeinfluss

Zugl			Querlast						
Zugi	สรเ		senkrecht zu	m freien F	Rand	parallel zum freien Rand			
	mit c ≥	αedge,N		mit c ≥	αedge,V⊥		mit c ≥	αedge,VII	
•	50	1,00		50	0,30		50	1,00	
	120	1,00		250	1,00		120	1,00	

Injektionssystem HB-VMU plus für Mauerwerk	
Leistungen – Leichtbetonlochstein HBL 16DF Steinbeschreibung, Montagekennwerte, Reduktionsfaktoren	Anhang C55



Steintyp: Leichtbetonlochstein HBL 16DF – Fortsetzung

Tabelle C154: Faktor für Ankergruppen

	Anordnung parall	el zur La	gerfuge		Anordnung senk	recht zur	^r Lagerfu	ge
		mit c ≥	mit s ≥	αg II,N		mit c ≥	mit s ≥	αg⊥,N
Zuglast	• •	50	50	2,00		50	50	1,55
		120	500	2,00		120	250	2,00
Querlast	+	mit c ≥	mit s ≥	αg II,V⊥	1	mit c ≥	mit s ≥	α _{g⊥,} ∨⊥
		50	50	0,60		50	50	0,35
senkrecht zum freien Rand		120	50	2,00		120	50	1,15
Zuili lieleli Kallu		120	500	2,00		120	250	2,00
Querlast	+	mit c ≥	mit s ≥	αg II,V II	t	mit c ≥	mit s ≥	αg⊥,∨ II
parallel		50	50	1,30		50	50	1,00
zum freien Rand		120	250	2,00		50	50	1,00
		120	500	2,00		120	250	2,00

Tabelle C155: Charakteristische Widerstände unter Zug- und Querlast

Tabelle & Too. C.	ia anterio				- 5. 5	, -, -, -, -, -, -, -, -, -, -, -, -,						
			С	harakteri	stische V	Viderstär	nde bei c	≥ c _{cr} und	s ≥ s _{cr}			
A nkoraröß o	Sich	- Fffalstive	Nutzungsbedingungen									
Ankergröße	Sieb- hülse HB-	Effektive Veranke- rungs- tiefe	d/d			w/d w/w			d/d w/d w/w			
	пъ-	цете	24°C / 40°C	50°C / 80°C	72°C / 120°C	24°C / 40°C	50°C / 80°C	72°C / 120°C	alle Temperatur- bereiche			
		h _{ef}		N _{Rk,b} =				V _{Rk,b} 1)				
		[mm]			[kN	l]		[kN]				
	No	ormierte mi	ttlere Dru	ıckfestigl	keit f _b ≥ 3	,1 N/mm ²	2 2)					
M8 / M10/IG-M6	VM-SH 16	≥ 85	1,2	1,2	0,9	1,2	1,2	0,9	2,0			
M12 / IG-M8	VM-SH 20	≥ 85	1 5	1 5	1.0	1 5	1 5	1.0	3,0			
M16 / IG-M10	VM-SH 20	≥ 85	1,5	1,5	1,2	1,5	1,5	1,2	5,0			

¹⁾ $N_{Rk,b,c} = N_{Rk,p,c}$ und $V_{Rk,c|I|} = V_{Rk,c\perp}$ gemäß Anhang C5

Tabelle C156: Verschiebungen

Ankergröße	h ef [mm]	δ _N / N [mm/kN]	δ _{N0} [mm]	δ _{N∞} [mm]	δv / V [mm/kN]	δ ν₀ [mm]	δ _{V∞}
M8 – M12 / IG-M6 – IG-M10	alle	0,13	0,13*N _{Rk} / 3,5	2*δνο	0,55	0,55*V _{Rk} /3,5	1,5*δνο
M16	Se 2008/184	000 4 00 000000	100 10 10 10 10 10 10 10 10 10 10 10 10		0,31	0,31*V _{Rk} /3,5	

Tabelle C157: Charakteristische Widerstände unter Brandbeanspruchung

Ankergröße	Sieb- hülse	Effektive Veranke- rungstiefe	Charakteristischer Widerstand $N_{Rk,b,fi} = N_{Rk,p,fi} = V_{Rk,b,fi}$					
	HB-	h _{ef}	R30	R60	R90	R120		
	1,0	[mm]	[kN]					
M8 / M10 /IG-M6	VM-SH 16	130	0,29	0.21	keine Leistung	Iraina I aistuus		
M12 / IG-M8	VM-SH 20	≥ 130	0,29	0,21	bewertet	keine Leistung bewertet		
M16 / IG-M10	VM-SH 20	≥ 130	0,29	0,21	0,12	Deweilet		

Injektionssystem HB-VMU plus für Mauerwerk	
Leistung – Leichtbetonlochstein HBL 16DF Gruppenfaktoren, charakteristische Widerstände und Verschiebungen	Anhang C56

²⁾ Für geringere Druckfestigkeiten müssen die Widerstände mit dem Umrechnungsfaktor nach Tabelle C151 multipliziert werden. Für Steine mit höheren Festigkeiten sind die angegebenen Werte ohne Umrechnung gültig.



Steintyp: Betonlochstein Bloc Creux B40

Tabelle C158: Beschreibung

Steintyp		Betonlochstein Bloc Creux B40	
Rohdichte ρ [kg.	/dm³]	≥ 0,8	
Normierte mittlere Druckfestigkeit f _b [N/	mm²]	≥ 5,2	
Umrechnungsfaktor für geringere Druckfestigkeiten		$(f_b / 5,2)^{0,5} \le 1,0$	
Norm	[-]	EN 771-3:2011+A1:2015	
Hersteller (Länderkennung)	[-]	z.B. Leroux (FR)	
Steinabmessungen [n	nm]	500 x 200 x 200	
Bohrverfahren	[-]	Drehbohren	
			17 72 17 72 17 195
17 130	_1	7 130 17 130	
-		495	-

Tabelle C159: Montagekennwerte

Ankergröße		M8	M10	M12	M16	IG-M6	IG-M8	IG-M10	
Montagedrehmoment	T_{inst}	st [Nm]						≤ 4	≤ 4
Randabstand	Ccr	[mm]	120 (für Querlasten senkrecht zum freien Rand: ccr = 170)						
Minimaler Randabstand	Cmin	[mm]	50						
Ashashatand	Scr, II	[mm]	170						
Achsabstand	S _{cr, ⊥}	[mm]	200						
Minimaler Achsabstand	S _{min, II} S _{min, ⊥}	[mm]	50						

Tabelle C160: Reduktionsfaktoren für Einzelanker unter Randeinfluss

Zuglast				Querlast							
Zugi	Zugiast			senkrecht zum freien Rand			parallel zum freien Rand				
	mit c ≥	αedge,N		mit c ≥	αedge,V⊥		mit c ≥	αedge,VII			
•	50	1,00		50	0,35		50	1,00			
	120	1,00		170	1,00		120	1,00			

Injektionssystem HB-VMU plus für Mauerwerk	
Leistung – Betonlochstein Bloc Creux B40 Steinbeschreibung, Montagekennwerte, Reduktionsfaktoren	Anhang C57



Steintyp: Betonlochstein Bloc Creux B40 – Fortsetzung

Tabelle C161: Faktor für Ankergruppen

	Anordnung parall	el zur Lag	gerfuge		Anordnung senkrecht zur Lagerfuge				
	†	mit c ≥	mit s ≥	αg II,N		mit c ≥	mit s ≥	$lpha_{ t gL,N}$	
Zuglast		50	50	1,50		50	50	1,40	
		50	170	2,00		50	200	2,00	
		120	170	2,00		120	200	2,00	
	mit c ≥	mit s ≥	αg II,V⊥		mit c ≥	mit s ≥	αg⊥,∨⊥		
Querlast senkrecht		50	50	0,55		50	50	0,35	
zum freien Rand		120	50	1,30		120	50	0,85	
Zam noion rana		120	170	2,00		120	200	2,00	
0		mit c ≥	mit s ≥	αg II,V II		mit c ≥	mit s ≥	αg⊥,∨ II	
Querlast parallel zum freien Rand		50	50	1,10	•	50	50	1,00	
		50	30	1,10		50	200	2,00	
Zam noion rana		120	170	2,00		120	200	2,00	

Tabelle C162: Charakteristische Widerstände unter Zug- und Querlast

			С	harakteri			derstände bei c ≥ c _{cr} und s ≥ s _{cr}			
Ankergröße	Sieb- hülse HB-	Effektive Veranke- rungs- tiefe	d/d			mysbear	w/d w/w	d/d w/d w/w		
			24°C / 40°C	50°C / 80°C	72°C / 120°C	24°C / 40°C	50°C / 80°C	72°C / 120°C	alle Temperatur- bereiche	
		h _{ef}	N _{Rk,b} =			N _{Rk,p} 1)	9		V _{Rk,b} 1)	
		[mm]			[kN	١]		[kN]		
	No	ormierte mi	ttlere Dru	ıckfestigl	keit f₀ ≥ 5	,2 N/mm	2 2)			
M8 / M10 IG-M6	VM-SH 16	130	2.0	1.5	1.2	2.0	1 5	1.2	6.0	
M12 / M16 IG-M8 /IG-M10	VM-SH 20	≥ 130	2,0	1,5	1,2	2,0	1,5	1,2	6,0	

¹⁾ $N_{Rk,b,c} = N_{Rk,p,c}$ und $V_{Rk,c | l} = V_{Rk,c \perp}$ gemäß Anhang C5

Tabelle C163: Verschiebungen

Ankergröße	h _{ef}	δ _N / N	δινο	δn∞	δ _V / V	δνο	δν∞
[mm]	[mm]	[mm/kN]	[mm]	[mm]	[mm/kN]	[mm]	[mm]
M8 – M12 / IG-M6 – IG-M10	alle	0,13	0,13*N _{Rk} / 3,5	2*δ _{N0}	0,55	0,55*V _{Rk} /3,5	1, 5 *δνο
M16		,	,	- 3.112	0,31	0,31*V _{Rk} /3,5	3.00

Injektionssystem HB-VMU plus für Mauerwerk	
Leistungen – Betonlochstein Bloc Creux B40 Gruppenfaktoren, charakteristische Widerstände und Verschiebungen	Anhang C58

²⁾ Für geringere Druckfestigkeiten müssen die Widerstände mit dem Umrechnungsfaktor nach Tabelle C158 multipliziert werden. Für Steine mit höheren Festigkeiten sind die angegebenen Werte ohne Umrechnung gültig.



Steintyp: Leichtbetonvollstein VBL

Tabelle C164: Beschreibung

Steintyp			Leichtbetonvollstein VBL
Rohdichte	ρ	[kg/dm ³]	≥ 0,6
Normierte mittlere Druckfestigkeit	f_{b}	[N/mm ²]	≥ 2
Umrechnungsfaktor für gerir Druckfestigkeiten	nger	е	$(f_b / 2)^{0,5} \le 1,0$
Norm		[-]	EN 771-3:2011+A1:2015
Hersteller (Länderkennung)		[-]	z.B. Bisotherm (DE)
Steinabmessungen		[mm]	≥ 240 x 300 x 113
Bohrverfahren		[-]	Drehbohren



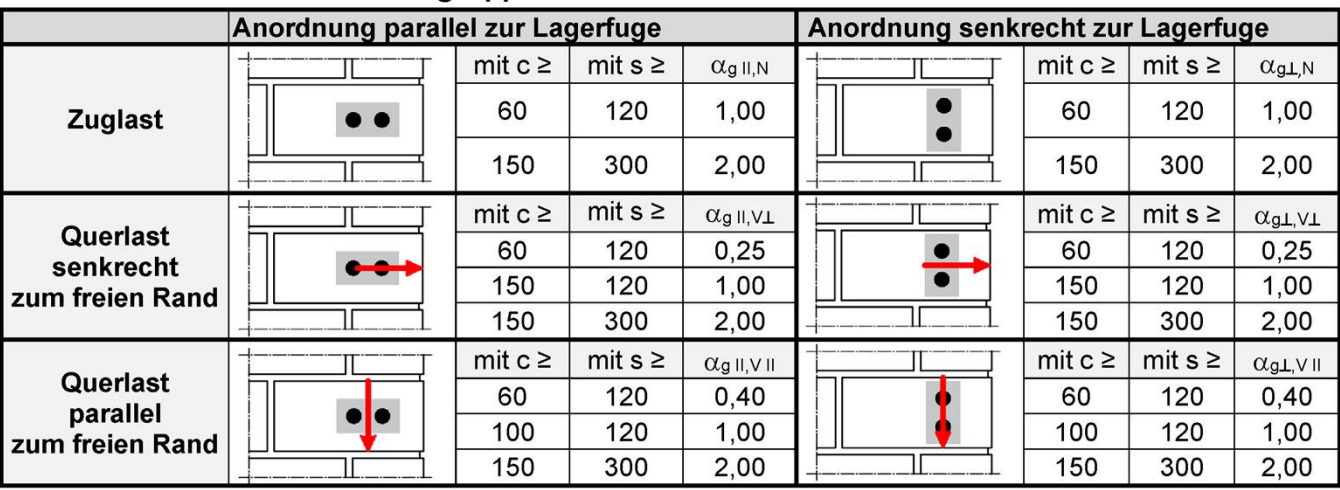
Tabelle C165: Montagekennwerte

Ankergröße			M8	M10	M12	M16	IG-M6	IG-M8	IG-M10
Montagedrehmoment	T _{inst}	[Nm]	≤ 2	≤ 2	≤ 2	≤ 2	≤ 2	≤ 2	≤ 2
Randabstand	Ccr	[mm]	150						
Minimaler Randabstand	C _{min}	[mm]	60						
Achsabstand	Scr, II	[mm]				300			
Acrisabstand	Scr, ⊥	[mm]				300			
Minimaler Achsabstand	S _{min, I} S _{min, ⊥}	[mm]	120						

Tabelle C166: Reduktionsfaktoren für Einzelanker unter Randeinfluss

Zual	Zuglast			Querlast							
Zugi	ası		senkrecht zu	parallel zum freien Rand							
	mit c ≥	αedge,N		mit c ≥	αedge,V⊥		mit c ≥	αedge,VII			
•	60	1,00		60	0,25		60	0,40			
	150	1,00		150	1,00		100	1,00			

Tabelle C167: Faktor für Ankergruppen



Injektionssystem HB-VMU plus für Mauerwerk Leistungen – Leichtbetonvollstein VBL Steinbeschreibung, Montagekennwerte, Reduktions- und Gruppenfaktoren Anhang C59



Steintyp: Leichtbetonvollstein VBL – Fortsetzung

Tabelle C168: Charakteristische Widerstände unter Zug- und Querlast

	Sieb-	Effektive	Charakteristische Widerstände bei c ≥ c _{cr} und s ≥ s _{cr}								
Ankergröße			Nutzungsbedingungen								
	hülse HB-	Veranke- rungstiefe	d/d			w/d w/w			d/d w/d w/w		
			24°C / 40°C	50°C / 80°C	72°C / 120°C	24°C / 40°C	50°C / 80°C	72°C / 120°C	alle Temperatur- bereiche		
		h _{ef}	$N_{Rk,b} = N_{Rk,p}^{-1}$						V _{Rk,b} 1)		
		[mm]			[kN	1]			[kN]		
Normierte mittlere Druckfestigkeit f _b ≥ 2 N/mm² ²)											
M8	_	80	3,0	2,5	2,0	2,5	2,0	1,5	3,0		
M10 / IG-M6	-	90									
M12 / M16 / IG-M8 / IG-M10	-	100									
M8	VM-SH 12	80		2,5	2,0	2,5	2,0	1,5			
M8 / M10 / IG-M6	VM-SH 16	≥ 85	2,5								
M12 / M16 / IG-M8 / IG-M10	VM-SH 20	≥ 85									

¹⁾ $N_{Rk,b,c} = N_{Rk,p,c}$ und $V_{Rk,c|I} = V_{Rk,c\perp}$ gemäß Anhang C5

Tabelle C169: Verschiebungen

Ankergröße	h _{ef} δ _N / N		δινο	δn∞	δ _V / V	δνο	δν∞	
Alikelglobe	[mm]	[mm/kN]	[mm]	[mm]	[mm/kN]	[mm]	[mm]	
M8 – M12 / IG-M6 – IG-M10	alle	0,10	0,10*N _{Rk} / 3,5	2*δνο	0,30	0,30*V _{Rk} /3,5	1,5*δ√ο	
M16					0,10	0,10*V _{Rk} /3,5	, , , , , , , , , , , , , , , , , , , ,	

Injektionssystem HB-VMU plus für Mauerwerk

Leistungen – Leichtbetonvollstein VBL
Charakteristische Widerstände und Verschiebungen

Anhang C60

²⁾ Für geringere Druckfestigkeiten müssen die Widerstände mit dem Umrechnungsfaktor nach Tabelle C164 multipliziert werden. Für Steine mit höheren Festigkeiten sind die angegebenen Werte ohne Umrechnung gültig.